



**Institute for Advanced Studies
in Basic Sciences**
Gava Zang, Zanjan, Iran

A Survey on Patch-based Synthesis: GPU Implementation and Optimization

Bachelor Thesis
Hadi Abdi Khojasteh

Supervisor: Dr. Ebrahim Ansari

August 2016

Abstract

This thesis surveys the research in patch-based synthesis and algorithms for finding correspondences between small local regions of images. We additionally explore a large kind of applications of this new fast randomized matching technique.

One of the algorithms we have studied in particular is PatchMatch, can find similar regions or "patches" of an image one to two orders of magnitude faster than previous techniques. The algorithmic program is driven by applying mathematical properties of nearest neighbors in natural images. It is observed that neighboring correspondences tend to be similar or "coherent" and use this observation in algorithm in order to quickly converge to an approximate solution. The algorithm in the most general form can find k-nearest neighbor matching, using patches that translate, rotate, or scale, using arbitrary descriptors, and between two or more images. Speed-ups are obtained over various techniques in an exceedingly range of those areas. We have explored many applications of PatchMatch matching algorithm. In computer graphics, we have explored removing unwanted objects from images, seamlessly moving objects in images, changing image aspect ratios, and video summarization. In computer vision we have explored denoising images, object detection, detecting image forgeries, and detecting symmetries. We conclude by discussing the restrictions of our algorithmic program, GPU implementation and areas for future analysis.

وزارت علوم، تحقیقات و فناوری
دانشگاه تحصیلات تکمیلی علوم پایه
گاوزنگ - زنجان



بررسی روش های آمایش بر پایه تکه: پیاده سازی و بهینه سازی با واحد پردازش گرافیکی

پایان نامه کارشناسی
هادی عبدی خجسته

استاد راهنما: دکتر ابراهیم انصاری

شهریور ۱۳۹۵

چکیده

در این پایان نامه یک الگوریتم تطابق تصادفی سریع نوین برای یافتن تناظرات بین ناحیه‌های مختلف تصویر بررسی می‌شود. همچنین انواع مختلفی از اپلیکیشن‌های این شیوه تطابق تصادفی سریع مورد بررسی قرار می‌گیرد.

هسته اصلی الگوریتم که ما آن را PatchMatch می‌نامیم؛ می‌تواند ناحیه‌ها یا patchهای مشابه از یک تصویر اول با تصویر دوم را بر اساس اندازه تشابه با سرعت بیشتری نسبت به الگوریتم‌های مشابه، پیدا کند. این الگوریتم از خواص آماری نزدیکترین همسایه در تصویر بهره می‌برد. مشاهده شده است که نزدیکترین همسایه به رابطه وابستگی تمایل دارد و از این مشاهده در الگوریتم برای همگرایی سریع به جواب تقریبی استفاده شده است. این الگوریتم در عمومی ترین شکل می‌تواند k -نزدیکترین همسایه مطابق را با استفاده از patchهایی که انتقال، چرخش یا مقیاس داده شده است، در بین یک یا چند تصویر پیدا کند. افزایش سرعت در اینجا با شیوه‌های جایگزین با تغییر بخش‌هایی از شیوه‌های قبلی مشابه امکان پذیر شده است که در این شیوه‌ها همگرایی به صورت تجربی و تئوری به اثبات رسیده است.

ما همچنین بسیاری از برنامه‌ها و کاربردهای الگوریتم PatchMatch را بررسی کرده‌ایم. حذف اشیاء ناخواسته از تصویر، جابجایی اشیاء در تصویر به صورت یکپارچه، تغییر نسبت تصویر و خلاصه سازی ویدیو در گرافیک کامپیوتری را مورد بررسی قرار داده‌ایم. این الگوریتم همچنین در بینایی کامپیوتر برای حذف نویز از تصویر، تشخیص اشیاء، تشخیص تصویر جعلی یا Symmetries Detection, Forgery Detection کاربرد دارد.

در آخر این پایان نامه با بحث در مورد محدودیت‌های الگوریتم، پیاده‌سازی و بهینه‌سازی با واحد پردازش گرافیکی و زمینه‌های تحقیقاتی آینده به پایان می‌رسد.

فهرست

۵	فصل اول
۵	۱. مقدمه
۵	۱.۱ نگاه کلی
۷	۲.۱ چرا روشهای Accelerate Patch-Based ؟
۸	۱،۳،۱ الگوریتم PatchMatch
۹	۲،۳،۱ برنامه‌های کاربردی ویرایش تصاویر
۱۰	۳،۳،۱ ویدیو در یک تصویر
۱۰	۴،۳،۱ برنامه‌های کاربردی بینایی کامپیوتر
۱۱	فصل دوم
۱۱	۲. بررسی آماری نزدیکترین همسایه
۱۸	فصل سوم
۱۸	۳. الگوریتم PatchMatch
۱۹	۱.۳ ایده سطح بالا
۱۹	۲.۳ مقدمه
۲۲	۳.۳ کارهای مرتبط
۲۴	۴.۳ یافتن تطابق در انتقال
۲۵	۱،۴،۳ مقداردهی اولیه
۲۵	۲،۴،۳ تکرار
۲۷	۵.۳ یافتن تطابق در چرخش و مقیاس‌های مختلف
۳۰	۶.۳ تطابق توصیف گرهای دلخواه
۳۰	۷.۳ تطبیق k نزدیکترین همسایه
۳۴	۸.۳ تحلیل همگرایی
۳۴	۱،۸،۳ تحلیل یک نمونه ترکیبی
۳۶	۲،۸،۳ تحلیل برای تصاویر دنیای واقعی

۳۹	تشریح مطالب	۹.۳
۴۰	فصل چهارم	
۴۰	استراتژی‌های موازی سازی و جستجو	۴.۴
۴۰	موازی سازی	۱.۴
۴۲	عملیات جستوی Binning و Enrichment	۲.۴
۴۲	Enrichment	۱,۲,۴
۴۵	Binning	۲,۲,۴
۴۵	PatchWeb: تطابق در مجموعه‌های تصویر بزرگ	۳.۴
۴۶	مقدمه	۱,۳,۴
۴۹	پژوهش‌های مرتبط	۲,۳,۴
۵۲	الگوریتم PatchWeb	۳,۳,۴
۵۳	ساخت وب با آرمیدگی	۴,۳,۴
۵۴	انتخاب مجموعه کاری	۵,۳,۴
۵۵	موازی سازی	۶,۳,۴
۵۵	صف بندی یک وب با آرمیدگی	۷,۳,۴
۵۶	تحلیل همگرایی	۸,۳,۴
۵۷	برنامه‌های کاربردی	۹,۳,۴
۵۸	خلاصه	۱۰,۳,۴
۵۹	فصل پنجم	
۵۹	برنامه‌های کاربردی و ویرایش تصویر	۵.۵
۵۹	مقدمه	۱.۵
۶۰	پژوهش‌های مرتبط	۲.۵
۶۳	ابزارهای ویرایش	۳.۵
۶۵	محدودیت‌های فضای جستجو	۱,۳,۵
۶۷	محدودیت‌های تغییر شکل	۲,۳,۵
۷۳	بررسی پیاده سازی	۳,۳,۵

۷۵	نتایج، تشریح و پژوهش آینده	۴.۵
۷۸	فصل ششم	
۷۸	پرده‌های فیلم	۶.۶
۷۸	مقدمه	۱.۶
۸۰	معیارها	۱,۱,۶
۸۲	پرده‌های تک مقیاسی	۲.۶
۸۴	پرده‌های چند مقیاسی	۳.۶
۸۴	خوشه‌بندی فریم کلیدی	۱,۳,۶
۸۶	پرده‌های مجزا	۲,۳,۶
۸۸	بزرگنمایی پیوسته	۳,۳,۶
۸۹	پیاده سازی و نتایج	۴.۶
۹۱	تشریح و پژوهش آینده	۵.۶
۹۳	فصل هفتم	
۹۳	کاربردهای بینایی کامپیوتری	۷.۷
۹۳	مقدمه	۱.۷
۹۴	حذف نویز میانگین غیر محلی	۲.۷
۹۶	تشخیص کپی	۳.۷
۹۷	تشخیص تقارن	۴.۷
۹۸	تشخیص شی	۵.۷
۱۰۱	فصل هشتم	
۱۰۱	جمع بندی	۸

فصل اول

مقدمه

۱.۱ نگاه کلی

از آنجایی که عکاسی دیجیتال به لوغ کامل رسیده است، محققان شیوه‌هایی را برای درک بیشتر از تصویر و ویدیو در سطح بالا توسعه داده اند. به طور مثال در الگوریتم‌های اخیر برای بازسازی تصویر^۱، ماشین به صورت خودکار بهترین تشابه را از تصویر اصلی اما با یک نسبت متفاوت محاسبه می‌کند [94,116]. الگوریتم‌های دیگر تکمیل تصویر^۲ به کاربر اجازه می‌دهد که به آسانی ناحیه‌های ناخواسته از تصویر را حذف کند و باقیمانده ی نواحی تصویر به طرز قابل قبولی به صورت خودکار پر می‌شوند [29,60].

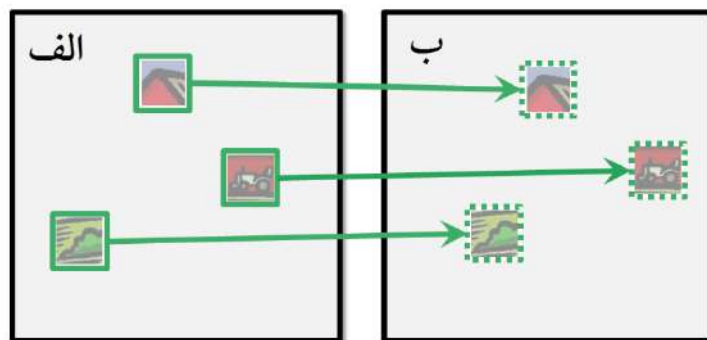
بیشتر این الگوریتم‌ها از این واقعیت که می‌توان تصویر را به بخش‌های کوچک مربع شکل با اندازه ثابت تقسیم کرد، بهره می‌برند (مثلا بخش‌های ۷ در ۷). تصویر می‌تواند با یک رویکرد بر پایه patch با مرتب کردن بخش‌های مختلف (مشابه آنچه انسان یک پازل را تکمیل می‌کند). در این الگوریتم مجددا ایجاد شود. به صورت عمومی قبلا ایجاد تصاویر با patchها، مقدار قابل توجهی زمان و حافظه برای یافتن بخش‌های مشابه در تصاویر نیاز داشت.

در این پایان نامه الگوریتم PatchMatch [8] و الگوریتم‌های تعمیم یافته [10] از آن بررسی می‌شوند که تا حد زیادی به الگوریتم‌های جستجو برای بخش‌های مختلف تصویر سرعت بخشیده است. برای

۱. image retargeting ؛ در این الگوریتم‌ها از روش‌هایی برای تغییر نسبت تصویر مثلا از ۳:۴ به ۱۶:۹ استفاده می‌شود.

۲. image completion

مسئله یافتن تطابق ساده، این الگوریتم ۲۰ تا ۱۰۰ برابر سرعت بیشتری نسبت به کارهای قبلی دارد و به اندازه قابل ملاحظه‌ای حافظه کمتری نیاز دارد.



شکل ۱.۱ - مسئله یافتن تطابق؛ به ازای هر patch در تصویر (الف)، نزدیکترین همسایه در تصویر (ب) را پیدا می‌کنیم.



(الف) تصویر ورودی (ب) ناحیه انتخاب شده (ج) تصویر خروجی

شکل ۱.۲ - تکمیل تصویر؛ تصویر (الف) در اختیار است. کاربر یک ناحیه را برای حذف انتخاب می‌کند (ب). سپس تصویر خروجی (ج) با استفاده از تطبیق الگوهای بافتی مشابه در الگوریتم ایجاد میشود. بدین ترتیب شی انتخاب شده حذف می‌شود.

هدف در این الگوریتم یافتن ناحیه نزدیکترین همسایه^۳ در یک تصویر برای تمام ناحیه‌های دارای اشتراک در تصویر دیگر می‌باشد که در شکل ۱.۱ نمایش داده شده است. دقت کنیم در اینجا مسئله برای تصاویری مطرح می‌شود که به شکل زیادی با هم اشتراک دارند و هر patch برای پیکسل‌های اطرافش

۳. ناحیه نزدیکترین همسایه یا nearest neighbors patch در اینجا به معنای ناحیه است که بیشترین شباهت را از لحاظ تفاوت رنگی یا میانگین تفاضلات رنگ ها برای آن ناحیه در یک تصویر در مقایسه با تصویر دیگر داشته باشد.

تعریف شده است^۴. بنابراین الگوریتم با توجه به فرض 'نتایج آماری تصاویر واقعی' همگرا می‌شود که در آن به طور خاص گفته شده است patchها در این تصاویر بسیار با هم همبستگی دارند. این الگوریتم سرعت یافته به نوبه خود برنامه‌های جدیدی برای تغییر تصاویر، خلاصه سازی ویدیو و حوزه بینایی کامپیوتر ارائه کرده است که در اینجا بررسی خواهند شد.

۲.۱ چرا روش‌های **Accelerate Patch-Based** ؟

برای درک بهتر نیاز استفاده از الگوریتم‌های جستجوی سریع برای patchهای تصویر، مسئله تکمیل تصویر که در شکل ۲.۱ نمایش داده شده است را در نظر بگیرید. کاربر یک شی ناخواسته را برای حذف از عکس انتخاب می‌کند. با استفاده از الگوریتم Wexler et al. [119]، ابتدا این بخش با یک حدس اولیه درون یابی شده از مرزها مقداره می‌شود. تصویر به patchهای دارای اشتراکی تقسیم می‌شوند. سپس الگوریتم به صورت تکراری تناظرات بین patchهای داخل بخش انتخاب شده و خارج بخش را در نتیجه نیمه کامل تا به هر مرحله می‌یابد. در مرحله بعد ویژگی ۵های مطابق شده خارج از بخش انتخاب شده، در محل تناظر در این بخش چسبانده می‌شود و یک میانگین گیری یا رای گیری برای patchهای مشترک با آن در نظر گرفته می‌شود. حلقه داخلی در این الگوریتم برای مقیاس‌های مختلف از وضوح کم (درشت) تا وضوح زیاد (ریز) تا رسیدن به یک نتیجه با بیشترین وضوح ادامه می‌یابد؛ یعنی ابتدا اندازه patchها بزرگ در نظر گرفته شده و در مراحل بعدی این اندازه برای رسیدن به وضوح بیشتر و یافتن مقادیر مشابه بهتر، کوچکتر می‌شود.

در این فرآیند bottleneck یافتن بهترین تطابق برای patchهای داخل به خارج بخش انتخاب شده است. با استفاده از یک رویکرد مشابه بالا، می‌توان نسبت ابعاد یک تصویر را به صورت خودکار تغییر داد. همین رویکرد را می‌توان برای کاربردهای دیگر بیان شده نیز در پیش گرفت. برای این برنامه نشان خواهیم داد که استفاده از الگوریتم PatchMatch می‌تواند این فرآیند را با تعامل بیشتر کاربر و افزایش

۴. بدین ترتیب فرض می‌شود تقریباً در تصاویر ورودی بخش‌های خارج از یک patch ارتباط معنایی با patch خواهند داشت و به صورت کلی از هم مستقل نیستند.

۵. منظور از ویژگی یا patch feature، patchهایی از تصویر هستند که برای یکی از patchها به عنوان مشابه ترین بخش در تصویر برگزیده شده اند.

کنترل سرعت بخشد. بدین ترتیب این الگوریتم می‌تواند افزایش سرعت بیشتر و کاهش حافظه اشغال شده را با تغییرات کیفی با افزایش تعامل کاربر به همراه داشته باشد.

علاوه بر این تحقیقات در حال رشد و بزرگی در زمینه آنالیزهای بر پایه patch برای تصاویر، ویدیوها، عکاسی محاسباتی، هندسه سه بعدی و بینایی کامپیوتر در جریان است. برخی از این کارها در فصل‌های آینده بررسی خواهند شد. توجه داشته باشید الگوریتم ارائه شده در هر کدام از این زمینه‌ها می‌تواند با جایگزینی به عنوان یک ابزار مورد استفاده قرار گیرد. حتی در جاهایی که الگوریتم نمی‌تواند به شکل جعبه سیاه مورد استفاده قرار گیرد، می‌تواند برای آن مسئله مشخص با مشاهدات مشابه‌ای که بیان شد، سازگار شود.

۱.۳ بررسی اجمالی

در اینجا توضیحات اجمالی در مورد بخش‌های باقیمانده در این بررسی ارائه خواهد شد.

۱.۳.۱ الگوریتم PatchMatch

ما ابتدا یک الگوریتم برای تطابق بر اساس مشاهدات آماری درباره نزدیکترین همسایه در تصاویر واقعی معرفی خواهیم کرد (فصل دوم). سپس PatchMatch را که یک الگوریتم تصادفی سریع برای یافتن یک تقریب خوب برای نزدیکترین همسایه در یک نمونه شامل ارتباط بالا بین بخش‌های مختلف است را معرفی خواهیم کرد (فصل سوم). برای سادگی ما ابتدا الگوریتم را به ساده‌ترین صورت ممکن یعنی یافتن یک نزدیکترین همسایه که تنها انتقال داده شده است، توضیح خواهیم داد. سپس الگوریتم کلی را بیان خواهیم کرد که می‌تواند k-نزدیکترین همسایه را با هر مقیاس یا چرخشی بیابد.

با اینکه الگوریتم اصلی بدون تغییر قابل استفاده است، اما تعدادی از پیاده‌سازی‌ها یا استراتژی‌ها می‌تواند به الگوریتم شتاب بخشد. ابتدا ما در مورد استراتژی‌های موازی سازی الگوریتم بر روی CPU و GPU خواهیم پرداخت. سپس در مورد بهینه‌سازی الگوریتم به طور مثال با جلوگیری از محاسبات اضافی، بحث خواهیم کرد. در ادامه در مورد استراتژی‌های جایگزین جستجو که فضای جستجو را به خصوص در زمانی که تعداد زیادی تطابق نیاز باشد، کمک می‌کنند، بررسی خواهیم کرد. بر همین اساس در نهایت الگوریتم PatchWeb برای یافتن تطابقات بین هزاران یا میلیون‌ها تصویر کاربرد دارد را بررسی

خواهیم کرد. PatchWeb وظیفه مقیاس پذیری را زمانیکه تعداد زیادی تصویر در اختیار داشته باشیم که به علت حجم زیاد قابل بارگذاری در حافظه نباشند، برعهده دارد. همچنین می‌تواند به صورت معماری خوشه‌ای توسعه یابد. در نهایت در مورد کاربردهای PatchMatch در زمینه ویرایش تصاویر، خلاصه سازی ویدیو در قالب "پرده‌های فیلم"^۶ و برخی کاربردهای بینایی کامپیوتر توضیح داده شده است.

۲,۳,۱ برنامه‌های کاربردی ویرایش تصاویر

در فصل پنجم نگاهی خواهیم انداخت بر روش‌های ویرایش عکس‌ها با استفاده از کنترل‌های سطح بالایی که به کاربر داده می‌شود. ابتدا الگوریتم بازسازی تصویر که برای تغییر نسبت تصویر بدون تغییر در ظاهر یا کشش تصویر یا هرگونه اعوجاج ناشی از الگوریتم استفاده می‌شود، را بررسی می‌کنیم. سپس تکمیل تصویر را که به کاربر اجازه می‌دهد تا به راحتی بخش‌های ناخواسته از تصویر را حذف کند و الگوریتم با محاسبه خودکار، این بخش را با مقدار احتمالی محاسبه شده پر کند، توضیح خواهیم داد و در ادامه در مورد الگوریتم بُرزی^۷ که امکان حرکت دادن بخشی از تصویر به محل دیگر و محاسبه تغییرات تصویر به صورت خودکار را فراهم می‌کند، بحث خواهیم کرد.

در هر کدام از این موارد تعامل کاربر برای رسیدن به بهترین نتیجه ضروری است که به دو دلیل است. اول؛ الگوریتم در برخی موارد نیاز با تعامل کاربر برای رسیدن به بهترین نتیجه دارد. دوم؛ اهداف مسئله همیشه نمی‌توانند از قبل توسط کاربر به روشنی بیان شوند و نیاز به یک فرآیند مکرر آزمون و خطا برای بهینه سازی نتیجه است. الگوریتم ارائه شده در اینجا می‌تواند تا حد زیادی برای استفاده در این کاربردها شتاب بخشیده و زمان اجرا برای این موارد را از دقیقه به ثانیه کاهش دهد.^۸

۶. پرده‌های فیلم یا Tapestries، طرح‌ها و تصویرهایی هستند که همچون کوبلن روی پارچه بافته می‌شوند. پرده‌های فیلم را با استفاده از نخ‌های ابریشمی رنگی روی ردیف‌های کتان و پشم که درون یک کادر (کارگاه گل‌دوزی) بسته شده‌اند می‌بافند. از این روش برای بیان یک داستان به صورت کامل در یک تصویر همچون داستان رستم و سهراب شاهنامه استفاده می‌شود.

۷. Image Reshuffling

۸. به علت سرعت بسیار زیاد این الگوریتم و همچنین برای اولین بار تعاملی بودن برای رسیدن به بهترین نتیجه مورد نظر کاربر، این شیوه برای حذف اشیا ناخواسته کاربر در تصویر بر اساس الگوریتم ارائه شده، در نرم افزار Adobe Photoshop CS5 به عنوان قابلیت جدیدی با نام content aware اضافه شده است.

۳,۳,۱ ویدیو در یک تصویر

در فصل شش، یک رویکرد جدید برای خلاصه سازی ویدیو در یک ساختار چند مقیاسی که هم در بعد مکانی و هم در طول مقیاس زمان ادامه یافته اند؛ بدین صورت که مرزی بین لحظات گسسته در زمان وجود ندارد و کاربر می تواند با بزرگنمایی بر روی تصویر جزئیات بیشتری از تغییرات زمان را مشاهده کند. این مفهوم در اینجا *tapestries* یا پرده های فیلم نامیده شده است چرا که شباهت زیادی به تصاویر اولیه به وجود آمده قدیمی قبل از تصاویر محرک برای بیان یک واقعه یا داستان همچون تصاویری که راویان برای بیان داستان های شاهنامه استفاده می کنند، دارند.

برای این خلاصه سازی تعدادی شاخص تعریف شده است که بهینه سازی های مختلفی هم برای آن در نظر گرفته می شود. برای رسیدن به یک خروجی با کیفیت بالا، این کار می تواند کاملاً به صورت آفلاین انجام شود یا به تغییر برخی از پارامترهای بهینه سازی مسئله این مرحله به صورت آنلاین انجام شود. در هر دو روش آفلاین یا آنلاین کارایی بستگی به الگوریتم تطابق دارد که در هر دو روش از PatchMatch استفاده شده است.

۴,۳,۱ برنامه های کاربردی بینایی کامپیوتر

در فصل هفت، برنامه های کاربردی متعددی در بینایی کامپیوتر که از قدرت الگوریتم تطابق عمومی استفاده می کنند، بررسی خواهند شد. برنامه حذف نویز متوسط غیر محلی برای حذف نویز از تصویر با یافتن و میانگین گیری الگوهای غیر محلی تکراری در این بخش بررسی شده است. همچنین ما شناسایی تصویر دیجیتالی جعلی را هم بررسی کرده ایم. در آخر تشخیص اشیا با استفاده از patchهایی که چرخیده شده اند و برای نورپردازی تغییر کرده اند، همانند خصوصیتی در SIFT بررسی شده اند.

فصل دوم

بررسی آماری نزدیکترین همسایه

هدف یافتن ناحیه نزدیکترین همسایه (خصوصیات تصویر در یک ناحیه) در یک تصویر برای تمام ناحیه‌های دارای اشتراک در تصویر دیگر می‌باشد، که پیش تر توضیح داده شد. نزدیکترین همسایه در اینجا به ازای تفاوت هر دو patch که آن را با D نمایش می‌دهیم تعریف می‌شود که میزان تشابه دو patch را اندازه گیری می‌کند. به طور مثال عموماً یک L^2 در نظر می‌گیریم که تفاوت را بین هر دو patch با در نظر گرفتن L^2 norm مربوط به تفاضل مقدار RGB متناظر با هر patch اندازه گیری می‌کند. یک تفاوت عمده این نوع یافتن نزدیکترین همسایه با دیگر موارد مشابه، این است که در اینجا ثابتی برای smoothness در نظر گرفته نمی‌شود و بهترین تطابق بدون در نظر گرفتن تطابق‌های همسایگان و به صورت مستقل محاسبه می‌شود.



(ج) محل‌های منطبق شده

(ب) تصویر دوم

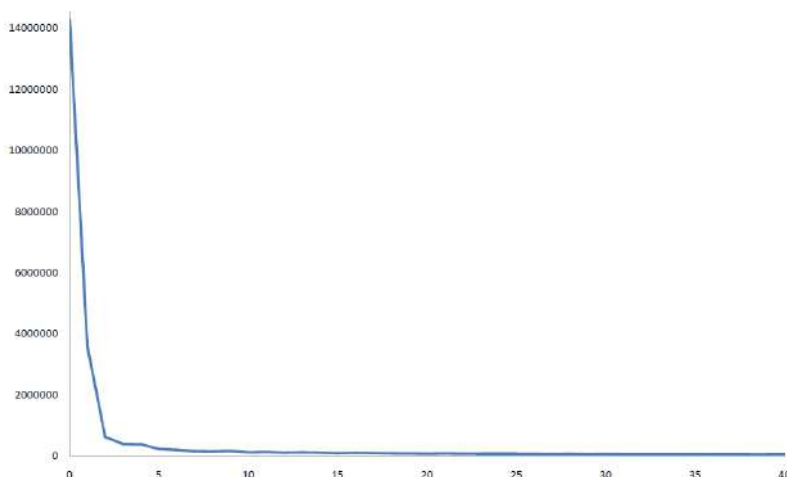
(الف) تصویر اول

شکل ۱.۲ - Coherence؛ دو تصویر متفاوت اول و دوم انتخاب شده‌اند. در تصویر (ج) محل‌های واقعی نزدیکترین همسایه‌ها نمایش داده شده است. به ازای هر patch در تصویر اول، نزدیکترین همسایه را در تصویر دوم با مختصات نسبی X به رنگ قرمز و Y به رنگ آبی نمایش می‌دهیم. ناحیه‌های وابسته همان رنگ را دارند. وابستگی‌های تاثیر گذار تر پررنگ تر هستند. چرا که منطبق کردن بسیاری از ناحیه‌ها به سادگی بین چند نزدیکترین همسایه ممکن؛ که همه ی آن‌ها خطای تطابق برابر دارند، امکان پذیر است.

دو خصوصیت از تصاویر را در نظر بگیرید: وابستگی نزدیکترین همسایه^۹ و توزیع peak مربوط به اینکه در چه موقعیتی بهترین نزدیکترین همسایه‌ها قرار گرفته‌اند. دو مرحله از الگوریتم یعنی انتشار و

۹. coherence of nearest neighbors

جستجوی تصادفی که برای فرآیند جستجوی تکراری (با توجه به فرض‌های قبلی برای تصویر ورودی که در فصل ۳ بررسی خواهیم کرد.) استفاده می‌شوند، از این دو خصوصیت بهره می‌برند.



شکل ۲.۲ - نمودار هیستوگرام همبستگی بین نزدیکترین همسایگی patch‌های همسایه. در محور افقی مقدار دوری نزدیکترین همسایه patch همسایه بر اساس فاصله دو بعدی اقلیدسی اندازه‌گیری شده است. در محور عمودی تعداد patch‌ها با فاصله داده شده حساب شده است. قابل توجه است که تعداد زیادی از patch‌ها فاصله‌ی صفر دارند که نشان دهنده‌ی وابستگی کامل است. در واقع یک دنباله عموماً کاهشی با احتمال درست‌نمایی (likelihood) فاصله ۱، ۲ یا ۳ پیکسل داریم.

ابتدا در مورد همبستگی صحبت می‌کنیم. عموماً با حرکت دادن یک patch به اندازه یک پیکسل در هر جهتی، انتظار داریم تا ظاهر patch به خصوص برای patch‌های با اندازه‌ی بزرگ با سرعت کمی تغییر کند. بدین ترتیب انتظار داریم تا همبستگی زیادی در تطابق نزدیکترین همسایه داشته باشیم. هر دو تناظر در تصویرها همبستگی دارند اگر مختصات نسبی مشابهی داشته باشند؛ یعنی موقعیت در تصویر دوم منهای موقعیت در تصویر اول با هم برابر باشند. برای هر دو تصویری می‌توان این مقدار همبستگی را از تصویر اول به دوم برای محل‌های واقعی هر همبستگی محاسبه کرد و به صورت شکل ۲.۱ نمایش

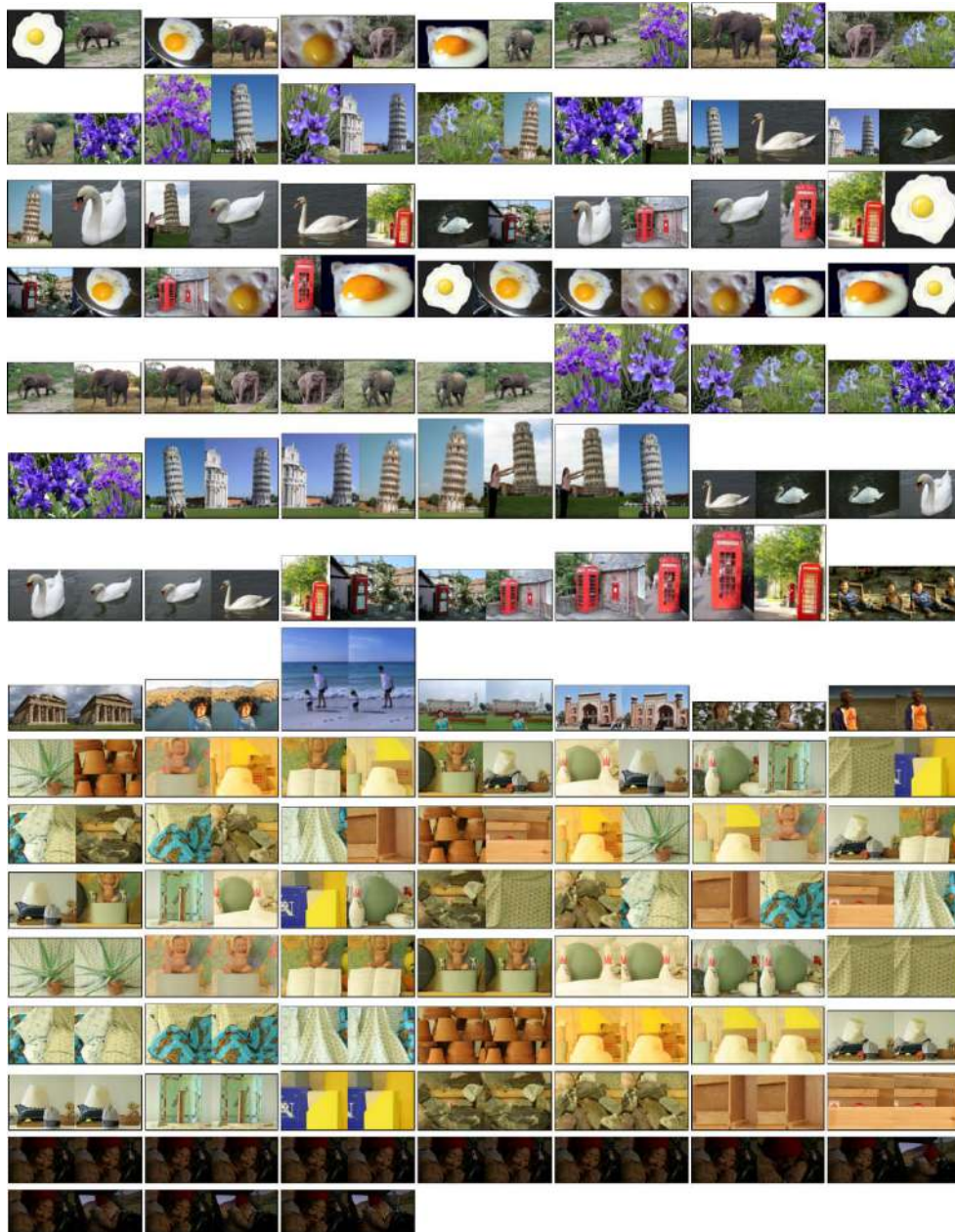
داد. ناحیه‌های همبسته رنگ‌های مشابه دارند. این الگوریتم با انتشار تطابق‌های خوب به همسایه‌های مکانی پیکسل‌ها مزیت‌های این خصوصیت همبستگی را حفظ می‌کند.

با این حال، حتی اگر نزدیکترین همسایه برای patchها وابسته نباشد، به صورت مکانی به هم وابسته هستند و از توزیع peaked پیروی می‌کنند. این خصوصیت برای همه ورودی‌های ممکن درست نیست اما برای تصاویر واقعی - عکس‌هایی که توسط افراد گرفته شده اند - درست است.

می‌توان این توزیع peaked را به روش‌های مختلفی نمایش داد. اول می‌توان به این سوال پاسخ داد: برای هر patch همسایه به صورت عمودی یا افقی چقدر نزدیکترین همسایه برای آن‌ها دورتر است؟ این رابطه در شکل ۲.۲ برای زوج تصویرهای عریض دوتایی از یک مجموعه داده بزرگ از تصاویر واقعی نمایش داده شده است. قابل توجه است که تعداد زیادی از patchها از همسایه‌های عمودی و افقی خود فاصله‌ی مکانی صفر دارند که نشان دهنده‌ی وابستگی کامل است. بسیاری از patchهای باقیمانده فاصله مکانی بسیار کمی به اندازه ۱، ۲ یا ۳ پیکسل داشته‌اند و توزیع آن به صورت عمومی کاهش می‌یابد. مجموعه داده‌ی تصاویر مورد استفاده در شکل ۲.۳ نمایش داده شده است.

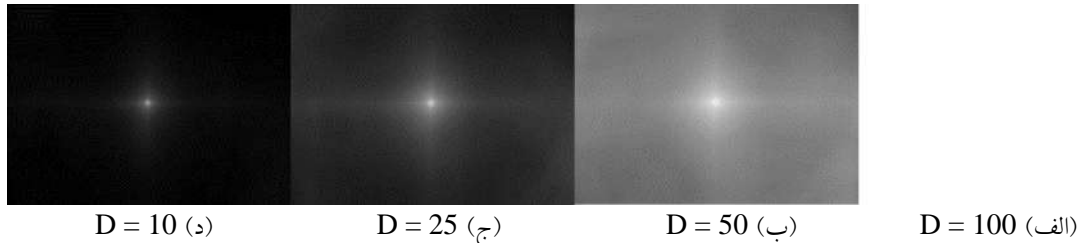
یک روش دیگر برای نمایش توزیع، با فرض اینکه مقدار فعلی را داریم، یک حد مطلوب از تناظرها برای یک patch است که فاصله D را دارد. حال سوال این است که اگر مکان مبدا در تصویر اول ثابت باشد، محل بهتر هدف برای تناظرات در تصویر دوم مرتبط با هدف کدام است؟ با تلفیق تمام تناظرات

ممکن می‌توان یک هیستوگرام دو بعدی برای شدت در مقابل موقعیت نسبی X و Y رسم کرد که شدت نشان‌دهنده احتمال مکان داده شده در تصویر دوم است که تناظر بهتری را ایجاد کرده است.



شکل ۳.۲ - مجموعه داده از ۱۸۰ تصویر برای ایجاد هیستوگرام که از زوج تصاویر مشابه و غیر مشابه و فریم‌های زمانی مختلف از ویدیو تشکیل شده است. ۲۴ زوج تصویر مختلف از کلاس‌های مختلف، ۲۴ زوج تصویر از یک کلاس و ۶ زوج مشابه ورودی و خروجی برای برنامه‌های ویرایش تصاویر، ۲۱ زوج تصویر عریض، ۲۱ زوج تصویر بدون تطابق و ۱۲ زوج از ویدیو.

روش دوم بیان شده در شکل ۲. ۴ نمایش داده شده است که بعد از تلفیق برای تمام مجموعه داده از ۱۰۸ تصویر رسم شده است.

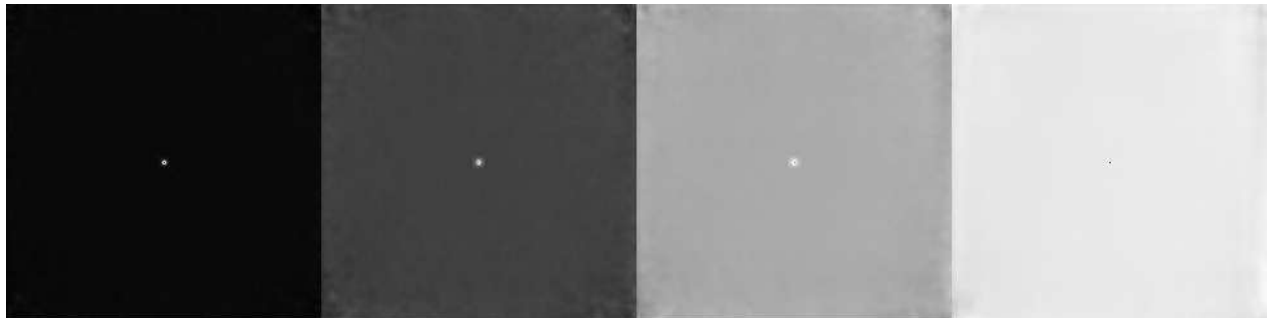


شکل ۲. ۴ - هیستوگرام دوبعدی که توزیع peaked مکان قرار گیری تطابق‌های بهتر را نشان می‌دهد. مرکز مکان نقطه تطابق فعلی را نشان می‌دهد. برای تناظرهای با فاصله زیاد D (الف) تطابق‌ها به طور یکنواخت در سراسر تصویر توزیع شده‌اند. زمانیکه فاصله کم می‌شود (ب)، تطابق‌ها بهتر بیشتر peak دارند و همراه با تطابق‌های بهتر در نزدیکی نقطه فعلی هستند. این هیستوگرام با استفاده از یک مجموعه داده از ۱۰۸ زوج تصویر هم مشابه و هم غیر مشابه برای تطابق تشکیل شده است.

قابل توجه است که هیستوگرام دوبعدی از اینکه همسایه بهتر در کجا واقع شده است غیر یکنواخت است. اما در عوض از توزیع peaked پیروی می‌کند. زمانیکه فاصله D برای تناظرات بدست آمده زیاد باشد، مکان‌های بهتری که به دنبال آن‌ها هستیم به صورت یکنواختی در طول تصویر توزیع شده‌اند. چنانچه D کم باشد، مکان‌های بهتر بیشتر در اطراف موقعیت فعلی خوشه بندی شده هستند، تا در نهایت در فاصله‌های خیلی کم، بهتر است که جستجو در اطراف نقطه فعلی انجام پذیرد.

مشاهده شده است که فرض بالا، برای تمام تصاویر ممکن برقرار نبوده است، اما تنها یک مجموعه بزرگ از تصاویر واقعی تمایل به پیروی از این فرض داشته‌اند. به طور مثال شکل ۲. ۵ یک هیستوگرام دوبعدی مشابه از اینکه در چه محل‌هایی بهترین همسایه‌ها قرار دارند را به صورت میانگین بر روی تصاویری با نویز گوسی، یکنواخت و نویز تصادفی نشان می‌دهد. توزیع این نویزها تقریباً به صورت یکنواخت است که هیچ نقطه اوجی ندارد و نشان می‌دهد که تطابق‌های بهتر در تصاویر تصادفی لزوماً به

صورت مکانی در نزدیکی آنها نیستند. از این رو الگوریتم ارائه شده می‌تواند با سرعت کمی بر روی ورودی همگرا شود، چراکه فرضیه قبلی گفته شده را دنبال نمی‌کند.



D = 25 (د)

D = 50 (ج)

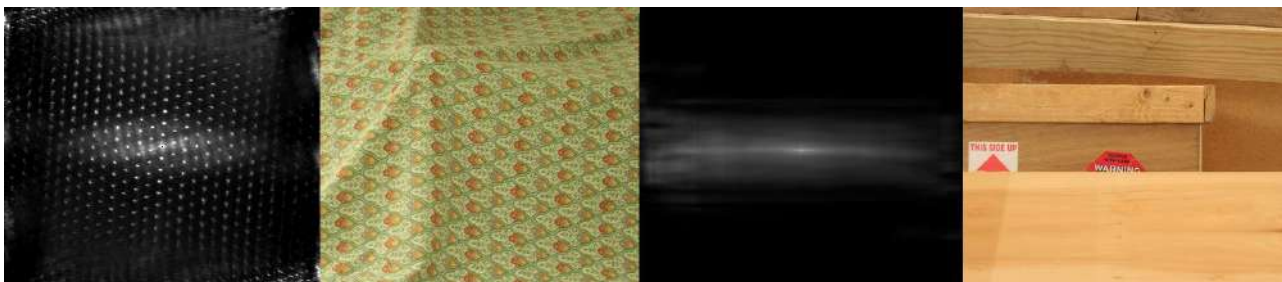
D = 75 (ب)

D = 100 (الف)

شکل ۵.۲ - هیستوگرام دوبعدی از اینکه در چه محل‌هایی بهترین تطابق‌ها قرار دارند. یافتن تطابق‌ها در تصاویر تصادفی ساخته شده با استفاده از گوسی، یکنواخت یا تابع تصادفی ایجاد نویز. بر خلاف تصاویر واقعی یک نقطه اوج وجود دارد و تطابق‌های بهتر به صورت یکنواخت در راستای تصویر توزیع شده‌اند. نقطه اوج در وسط به دلیل اندازه patchهای ۷ در ۷ است که باعث وابستگی کمی می‌شود

در نهایت برای کار آینده می‌توان بسیاری از خصوصیات آماری تصاویر واقعی را مورد مطالعه قرار داد. برای مثال، هیستوگرام دوبعدی شکل ۵.۲ روی مجموعه داده‌ی بزرگی میانگین گرفته شده است، اما زمانیکه ما تنها یک زوج از تصاویر جداگانه را بررسی می‌کنیم، تغییرات بزرگی را می‌یابیم. زوج تصاویر باله‌های افقی قوی باعث به وجود آمدن انحراف عمودی در توزیع می‌شوند و تصاویر با الگوهای تکراری باعث الگوهای تکراری در توزیع می‌شوند که در شکل ۶.۲ آمده است. در حوزه‌های دیگر نظیر ویدیو

یا هندسه سه بعدی، حتی خصوصیات نامحسوس کوچک نیز ممکن است روی این توزیع‌ها تاثیر گذار باشند.



(الف) تصویر لبه‌ها (ب) هیستوگرام لبه‌ها (ج) تصویر الگوها (د) هیستوگرام الگوها

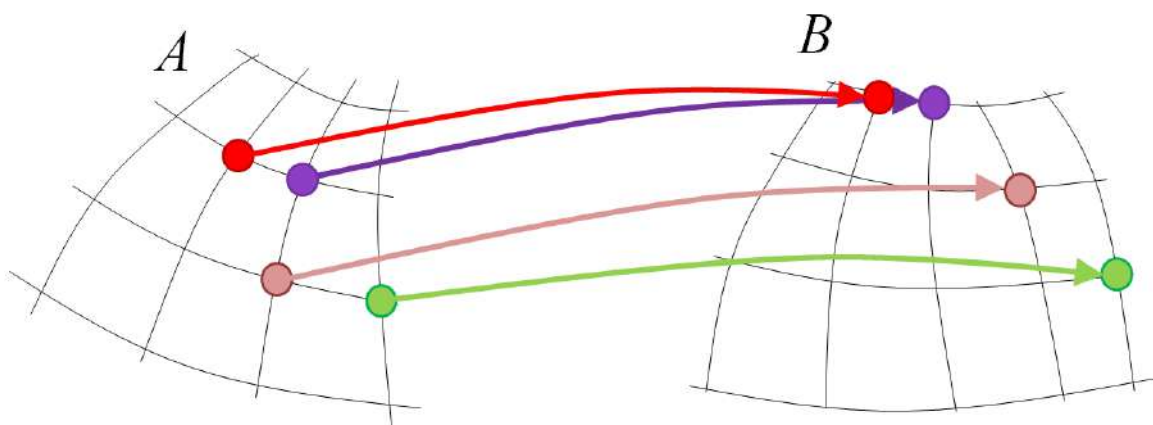
شکل ۲.۵ - هیستوگرام دو بعدی از اینکه برای یک زوج تصویر مشخص، تطابق‌های بهتر در کجا قرار گرفته اند. برای اولین زوج تصویر، لبه‌ها (الف)، یک لبه افقی قوی دارند. در (ب) هیستوگرام دو بعدی نشان می‌دهد که در کجا تطابق‌های بهتر نسبت به تطابق فعلی پیدا شده اند. لازم به ذکر است انحراف افقی نشان می‌دهد که این برای نمونه‌هایی با چرخش در امتداد لبه برای یافتن تطابق‌های بهتر کارآمد خواهد بود. زوج تصویر (ج) یک الگوی تکراری دارد. در هیستوگرام دو بعدی برای تطابق‌های بهتر (د) نشان می‌دهد که تطابق‌های بهتر با نمونه برداری در امتداد فاصله بندی شبکه‌ای یافت می‌شوند.

فصل سوم

الگوریتم PatchMatch

در این فصل هسته‌ی اصلی الگوریتم تطابق را بررسی خواهیم کرد که بر اساس مسئله یافتن Patch‌های نزدیکترین همسایه ۲۰ تا ۱۰۰ برابر سرعت بیشتری نسبت به رویکردهای قبلی دارد. الگوریتم یک الگوریتم تقریبی تصادفی است که همیشه یک نزدیکترین همسایه دقیق باز گرداند اما یک نزدیکترین همسایه خوب باز می‌گرداند. این الگوریتم بر اساس جستجو در تصویر توسعه داده شده است اما الگوریتم تعمیم یافته است و می‌تواند حداقل به سیگنال‌های یک تا سه بعدی به کار برده شود.

برای سادگی ابتدا یک حالت خاص از الگوریتم که تنها یک نزدیکترین همسایه را با استفاده از فاصله L^2 بین patch‌هایی که تنها انتقال شده اند می‌یابد، ارائه می‌شود. سپس الگوریتم کامل تعمیم یافته که می‌تواند با هر چرخش یا مقیاسی تطابق را انجام دهد، k -نزدیکترین همسایه را پیدا کند و یک توصیف دلخواه را منطبق کند، ارائه خواهد شد [1].



شکل ۱.۳ - ایده سطح بالا پشت الگوریتم. توصیف گرها بر روی دو منیفولد محاسبه شده اند و به صورت دایره‌های رنگی نمایش داده شده اند. هر توصیف گر به صورت مستقل مشابه ترین را در منیفولد دیگر منطبق کرده است. وابستگی در اینجا با مشابه شدن توصیف گر قرمز به توصیف گر بنفش مشخص شده است. چراکه نزدیکترین همسایه ی آنها به صورت مکانی نزدیک به هم هستند.

۱.۳ ایده سطح بالا

ایده سطح بالای پشت این الگوریتم در شکل ۱.۳ نمایش داده شده است. ما دو منیفولد^{۱۰} با توصیف گرهایی برای نقاط شبکه‌ای داریم که با دایره‌های رنگی مشخص شده اند. هدف یافتن مشابه ترین توصیف گر در تصویر دوم برای توصیف گره‌های تصویر اول است. ما این کار را با بهره گیری از خصوصیت مکان محلی که در فصل قبل دیدیم، انجام خواهیم داد: زمانیکه ما یک تطابق خوب داشته باشیم، می‌توانیم این را به نقاط همسایه روی شبکه انتشار دهیم و اگر ما یک تطابق معقول داشته باشیم می‌توانیم این کار را با جستجوی تصادفی در اطراف مکان هدف بهبود ببخشیم. مرحله اول یا انتشار استفاده از این خصوصیت است که بسیاری از تطابق‌ها با هم وابستگی دارند یا یک مختصات تطابق نسبی یکسان دارند که در فصل قبلی بررسی شدند (شکل ۱.۲ و شکل ۲.۲). مرحله دوم یا جستجوی تصادفی یافتن تناظرات نسبی برای تناظر نقطه هدف فعلی با توجه به توزیع *peaked* مشابه توزیع‌های اندازه گیری شده در شکل ۲.۴ است.

در این فصل، الگوریتم را برای تصاویر دوبعدی که یک شبکه منظم بررسی خواهیم کرد. با این حال الگوریتم می‌تواند بر روی کانتورهای یک بعدی یا هندسه سه بعدی اعمال شود. بنابراین دو مرحله انتشار و جستجوی تصادفی می‌تواند برای هر فضای اقلیدسی یا نزدیک به آن تعمیم داده شود.

۲.۳ مقدمه

شیوه‌های اخیر برای درک بیشتر از تصویر و ویدیو در سطح بالا توسعه داده اند. مانند بازسازی تصویر که الگوریتم بهترین تشابه را از تصویر اصلی برای تغییر نسبت تصویر به کار می‌گیرد. یا الگوریتم‌های تکمیل تصویر که ناحیه‌های ناخواسته از عکس را حذف می‌کند. بسیاری از این شیوه‌های

۱۰. منیفولد یک فضای توپولوژیک است که به طور موضعی، اقلیدسی است. بدین معنی که حول هر نقطه، همسایگی موجود است به طوری که از نظر توپولوژیک مانند یک گوی واحد باز در فضای اقلیدسی می‌باشد، ولی از نظر ساختار کلی می‌تواند از یک فضای اقلیدسی پیچیده‌تر باشد.

قدرتمند بر پایه patch هستند؛ یعنی تصویر را به بخش‌های کوچک مربعی با اندازه ثابت به نام patch تقسیم می‌کنند.

برای فهمیدن الگوریتم تطابق اجزای متداول الگوریتم‌های بر پایه patch؛ یعنی شیوه نمونه‌گیری غیر پارامتری که یک جستجوی تکراری برای همه patchها در یک ناحیه برای یافتن ناحیه مشابه در تصویر دیگر است را در نظر می‌گیریم. به بیان دیگر با داشتن دو تصویر یا ناحیه، برای تمام patchهای ناحیه اول نزدیکترین همسایه را در ناحیه دوم بر اساس فاصله L^p می‌یابیم. این نگاهت را Nearest-Neighbor Field (NNF) یا نزدیکترین همسایه درست می‌نامیم که به صورت شماتیک در شکل ۲.۳ (د) نشان داده شده است. جستجو با رویکرد جامع (فراگیر) بسیار پرهزینه خواهد بود؛ یعنی $O(mM^2)$ به ترتیب برای ناحیه‌های تصویر و patchهایی با اندازه M و m تعداد پیکسل. حتی استفاده از روش‌های بهبود دهنده نظیر نزدیکترین همسایه تقریبی [78] و کاهش ابعاد هنوز هم این بخش bottleneck شیوه نمونه‌گیری غیر پارامتری خواهد بود و از رسیدن به یک سرعت تعاملی جلوگیری می‌کند. علاوه بر این، این روش‌های بر پایه درخت حافظه به اندازه $O(M)$ یا بیشتر با ثابت‌های به نسبت بزرگی را نیاز دارند که برنامه‌ها را برای استفاده از تصاویر با وضوح بالا محدود می‌کنند. برای محاسبه‌ی نزدیکترین همسایه درست تقریبی الگوریتم ارائه شده در اینجا متکی به سه مشاهده کلیدی زیر خواهد بود:

ابعاد فضا: با اینکه ابعاد فضای patch بزرگ است (m بُعد)، خلوت است ($O(M)$ تا patch). بسیاری از شیوه‌های قبلی با صدمه زدن به ابعاد فضای patch با استفاده از ساختمان داده‌های درختی (به طور مثال kd-tree که جستجو در آن با زمان $O(mM \log M)$ انجام می‌گیرد.) و شیوه‌های کاهش ابعاد (به طور مثال PCA) باعث افزایش سرعت جستجوی نزدیکترین همسایه می‌شدند. در مقابل الگوریتم ارائه شده در اینجا کل فضای دوبعدی برای patchهای ممکن را بررسی کرده و سرعت بیشتر داشته و حافظه بهینه تری را نیاز دارد.

ساختار واقعی تصاویر: جستجوی مستقل معمول برای هر پیکسل بسیاری از ساختار واقعی در تصاویر را نادیده می‌گیرد. در الگوریتم patch-sampling synthesis، خروجی شامل تکه‌های بزرگ

پیوسته داده‌ها از ورودی است (که در [3] دیده شده است). بنابراین می‌توان کارایی را با انجام جستجو برای همسایه‌های هر پیکسل با رویکرد پیوسته بودن بهبود داد.

قانون اعداد بزرگ: در نهایت در حالیکه هر یک از انتخاب‌های تصادفی از patch های مقدار دهی شده^{۱۱}، بسیار بعید است که حدس خوبی باشند، بخش کوچکی اما با اهمیت از یک بخش بزرگ از مقداردهی‌های تصادفی احتمال دارد که حدس خوبی باشند. اگر این بخش خیلی بزرگ تر شود، شانس اینکه هیچ patch ی مقدار دهی درستی نشده باشد، بسیار ناچیز می‌شود.

بر اساس این سه مشاهده یک الگوریتم تصادفی برای محاسبه نزدیکترین همسایه‌های درست تقریبی با استفاده از به روز رسانی‌ها افزایشی ارائه شده است (بخش ۳.۴). الگوریتم با یک حدس اولیه آغاز می‌شود که بر اساس اطلاعات قبلی یا به سادگی با یک مقداردهی تصادفی مقداردهی می‌شود. فرآیند تکراری از دو بخش تشکیل شده است: انتشار که با استفاده از وابستگی باعث انتشار راه حل‌های خوب به پیکسل‌های مجاور می‌شوند؛ و جستجوی تصادفی که بردار انحراف‌های فعلی با استفاده از مقیاس‌های مختلف از انحراف‌های تصادفی جایگشت می‌یابد. پیاده سازی این الگوریتم بر روی CPU نشان داد که ۲۰ تا ۱۰۰ برابر در مقایسه با kd-tree با PCA افزایش سرعت داشته است. یک پیاده سازی GPU پیشنهاد داده شده است که تقریباً ۷ برابر سرعت بیشتری نسبت به نسخه پیاده سازی CPU برای تصاویر مشابه داشته است. الگوریتم ارائه شده در اینجا برخلاف الگوریتم‌های قبلی که یک ساختمان داده کمکی برای افزایش سرعت جستجو ایجاد می‌کردند، تنها کمی حافظه بیشتر فراتر از تصویر ورودی نیاز دارد. با تنظیمات معمول برای پارامترهای الگوریتم، زمان اجرا $O(mM \log M)$ و حافظه ی مورد نیاز $O(M)$ خواهد بود.

الگوریتم تعمیم سافته تطابق در بخش‌های ۳.۵ و ۳.۷ ارائه شده است که در حالیکه بسیاری از امکانات ارائه شده در کارهای قبلی یافتن نمی‌شوند، هنوز هم سادگی و سرعت خود را حفظ کرده‌اند. به طور مثال در بینایی ماشین، سختی انجام یک جستجوی ۴ بعدی در میان انتقال، چرخش و مقیاس‌ها قبلاً با استفاده از خصوصیت‌های خلوت که به برخی از این تبدیلات نامتغیر هستند، ایده گرفته شده

۱۱. منظور یافتن مشابه ترین patch است که نزدیکترین همسایه به ناحیه انتخاب شده باشد.

اند. الگوریتم ارائه شده در اینجا، به طور مؤثری تناظرات متراکم را با وجود افزایش ابعاد می‌یابد. بنابراین یک روش جایگزین برای شیوه‌های نقاط مورد علاقه خلوت خواهد بود.

۳.۳ کارهای مرتبط

نمونه‌گیری بر پایه patch یک ابزار محبوب برای تحلیل و بررسی تصویر و ویدیو شده است. برنامه‌هایی برای تحلیل بافت، تکمیل برای تصویر و ویدیو، بازسازی و خلاصه‌سازی، بازترکیب و ویرایش تصویر، image stitching^{۱۲}، حذف نویز و غیره. ما این برنامه‌ها را با جزئیات در فصل ۵ بررسی خواهیم کرد. در اینجا روش‌های جستجوی آن‌ها را به علاوه کارهای قبلی جستجوی نزدیکترین همسایه بررسی خواهیم کرد.

شیوه‌های بر پایه Patch تا حد زیادی می‌توانند به شیوه‌های حریصانه و بهینه سازی تقسیم شوند. بهینه سازی می‌تواند برخی از تناقضات در طول فرآیند حریصانه را اصلاح کند. شیوه بهینه سازی نتایج با کیفیت بالایی تولید کرده است در حالیکه به سادگی با الگوریتم قابل استفاده است.

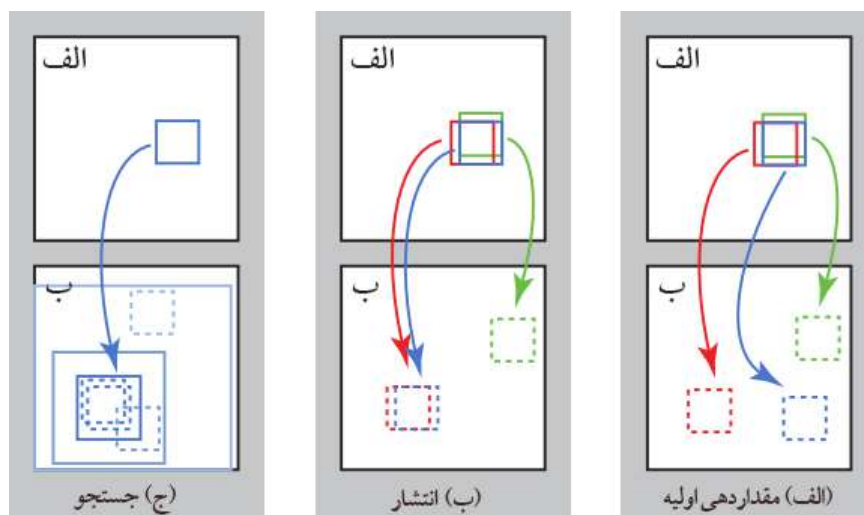
کیفیت شیوه بهینه سازی در قسمت پرهزینه تکرارهای جستجو زیادی می‌آید که به صورت واضحی bottleneck پیچیدگی برای همه ی این شیوه‌ها است. علاوه بر این در برنامه‌هایی نظیر تحلیل بافت، معمولاً بافت مرجع یک تصویر کوچک است. در برنامه‌های دیگر نظیر تکمیل، بازسازی و بُرنزی، تصویر ورودی به صورت معمول بزرگ تر است. بنابراین هنوز هم مسئله جستجو بحرانی است.

انواع مختلفی از افزایش سرعت برای جستجوها پیشنهاد شده است. به طور کلی شامل ساختن داده‌های درختی مانند TSVQ [117]، kd-tree [52, 61, 79, 119] و VP-tree ها که هر کدام از آن‌ها هم از جستجوهای دقیق و هم جستجوهای تقریبی (ANN) پشتیبانی می‌کنند. در برنامه‌های تحلیل گر جستجوهای تقریبی غالباً با عطف با روش‌های کاهش ابعاد مثل PCA [52, 61, 67] استفاده می‌شوند. به این خاطر که شیوه‌های ANN در ابعاد کم از نظر زمان و حافظه بسیار کارا هستند. در مقاله [3] یک روش انتشار محلی که وابستگی‌های محلی در فضای جستجو برای یک patch را به مکان همسایه‌های نقطه مورد جستجو در بافت مرجع کاهش می‌دهد، معرفی می‌کند. مرحله انتشار در الگوریتم ارائه شده در اینجا نیز از فرض وابستگی یکسانی الهام گرفته است. روش k-وابستگی [109] ایده

۱۲. فرآیند ترکیب چند عکس در قالب تصاویر با یک بخش هم پوشانی برای تولید یک پانورامای قطعه قطعه شده یا یک تصویر با وضوح بالا را گویند.

انتشار را با مرحله پیش محاسبه در k نزدیکترین همسایه‌ی هر $patch$ که ذخیره سازی شده است، ترکیب کرده است که جستجوهای بعدی از مزیت این مجموعه از قبل محاسبه شده استفاده می‌کنند. با اینکه این کار فاز جستجو را سرعت می‌بخشد، اما هنوز k -وابستگی نیاز به جستجوی کل نزدیکترین همسایه‌ها برای همه‌ی پیکسل‌های ورودی دارد که این در زمینه تحلیل بافت نشان داده شده است. این روش فرض می‌کند مقداردهی اولیه آنقدر نزدیک به مقدار واقعی هست که برای جستجوی نزدیکترین همسایه به تعداد کمتر کافی باشد. این برای یک ورودی کوچک از بافت‌ها درست است، اما برای تصاویر بزرگ پیچیده، نیاز است تا از جواب‌های محلی جلوگیری کنیم. در این مطلب سعی می‌کنیم سرعت و حافظه مورد استفاده الگوریتم ارائه شده را با kd -treeها با کاهش ابعاد مقایسه کنیم. همان‌طور نشان خواهیم داد که به اندازه حداقل یک مرتبه بزرگی از بهترین ترکیب‌های رقیب (یعنی $ANN+PCA$) پرسرعت است و به طور قابل توجهی از حافظه کمتری استفاده می‌کند. همچنین این الگوریتم بسیار تعمیم یافته تر از kd -treeها است. چراکه این الگوریتم می‌تواند با معیارهای فاصله دلخواه اعمال شده و به سادگی برای تعامل‌های محلی مثل ایجاد محدودیت‌ها توسط کاربر اصلاح شود. تعدادی از تحقیقات از این الگوریتم استفاده کرده اند. کاربردهایی در زمینه بینایی ماشین [10] و خلاصه سازی ویدیو [9] که در ادامه آمده است. محققان دیگری از این الگوریتم برای یافتن تکرارها در تصاویر [23]، تحلیل تصاویر ترکیبی [90]، افزایش تصاویر با استفاده از تناظرات [47]، شکلگیری بین

تصاویر مختلف [96]، تشخیص حالات افراد با مقایسه تصاویر [53]، کاهش نویز ویدیو [70]، تخمین حرکت [16] و بافت با اعداد [85] از این الگوریتم استفاده کرده اند.



شکل ۳.۲ - فازهای الگوریتم تصادفی نزدیکترین همسایه: (الف) patchها در ابتدا یک مقداردهی تصادفی دارند. (ب) patch آبی رنگ، همسایه‌های بالا/سبز و چپ/قرمز را برای بهبود دادن نگاشت بررسی می‌کند و تطابق‌های خوب را انتشار می‌دهد. (ج) patch به صورت تصادفی برای بهبود در یک بخش محلی متحدالمركز جستجو می‌شود.

۳.۴ یافتن تطابق در انتقال

هسته اصلی یک الگوریتم برای محاسبه تناظرات بین patchهاست. نزدیکترین همسایه درست (NNF) در اینجا به صورت یک تابع $f: A \mapsto \mathbb{R}^2$ بر روی تمامی مختصات patchها^{۱۳} در تصویر اول برای یک تابع فاصله دو جفت patch (که با D نشان می‌دهیم) تعریف می‌شود. با داشتن مختصات a در تصویر A و تناظر نزدیکترین همسایه b در تصویر B ، $f(a)$ ناحیه b را تشکیل می‌دهد. مقدار

۱۳. منظور محل قرارگیری هر patch در تصویر است.

خروجی تابع f را نزدیکترین همسایه گوئیم که این مقادیر خروجی در آرایه‌ای به اندازه ابعاد A ذخیره خواهد شد.

در این بخش الگوریتم تصادفی برای محاسبه نزدیکترین همسایه‌های درست تقریبی ارائه خواهد شد. همانطور که قبلاً اشاره کردیم، ایده اصلی الگوریتم جستجو در فضای ممکن مختصات، جستجو در همسایه‌های یک ناحیه است. همچنین این نکته حائز اهمیت است که در یک تصویر بزرگ ممکن است حدس‌های اولیه زیادی صحیح باشند.

الگوریتم سه بخش اصلی دارد که در تصویر ۲.۳ نمایش داده شده است. در ابتدا آرایه نزدیکترین همسایه‌ها با فرض‌های قبلی یا به صورت تصادفی مقداردهی می‌شود. سپس یک فرآیند به روزرسانی تکراری اعمال می‌شود که نزدیکترین همسایه‌های خوب به پیکسل‌های مجاور انتشار می‌یابند. در ادامه این کار با جستجوهای تصادفی در همسایه‌های بهترین نزدیکترین همسایه برای یافتن یک تناظر بهتر ادامه می‌یابد. بخش ۳.۴، ۱ و ۳.۴.۲ این گام‌ها را با جزئیات بیشتر توضیح می‌دهند.

۱,۴,۳ مقداردهی اولیه

نزدیکترین همسایه می‌تواند با یک مقدار تصادفی یا یک فرض قبلی مقداردهی اولیه شود. برای مقداردهی با مقدار تصادفی، از تعدادی نمونه تصادفی در تصویر دوم به صورت یکنواخت استفاده می‌کنیم. در برخی کاربردها از یک فرآیند تغییر اندازه تدریجی از اندازه بزرگ تا کوچک استفاده خواهیم کرد. در این حالت، می‌توان از حدس اولیه قبلی به مقادیر سطح بالا رسید. با این حال، اگر این حدس اولیه انتخاب شود، ممکن است گاهی اوقات الگوریتم به بهینه محلی همگرا شود. برای حفظ کیفیت این مقدار اما با حفظ قابلیت فرار از مقادیر بهینه محلی، تکرارهای اولیه الگوریتم با مقداردهی‌های تصادفی انجام شده و سپس با مقداردهی‌های اولیه سطح بالا تنها در ناحیه همان patch ادغام می‌شود و سپس باقیمانده تکرارها انجام می‌شود. از آنجایی که مرحله تکراری بسیار حساس به نتایج تکرارهای قبلی است، بنابراین این کار برای فرار از بهینه‌های محلی انجام می‌شود.

۲,۴,۳ تکرار

بعد از مقداردهی اولیه، یک فرآیند تکراری برای بهبود NNF انجام می‌شود. هر تکرار به صورت زیر است: هر نزدیکترین همسایه به صورت چپ به راست و از بالا به پایین مورد بررسی قرار می‌گیرند، و

بعد از هر مرحله انتشار یک مرحله جستجوی تصادفی انجام می شود. اینکار در سطح هر patch انجام می شود. اگر P_j و S_j به ترتیب انتشار و جستجوی تصادفی در j امین patch باشند، بنابراین به این ترتیب به پیش می رویم: $P_1 \cdot S_1 \cdot P_2 \cdot S_2 \cdot \dots \cdot P_n \cdot S_n$.

انتشار: با فرض اینکه مختصات patchها، به جز انتقال های نسبی برای یک پیکسل به راست یا پایین، به احتمال زیاد به هم شبیه هستند، هدف بهتر کردن $f(x, y)$ با استفاده از نزدیکترین همسایه $f(x-1, y)$ و $f(x, y-1)$ است. به عنوان مثال، اگر یک نگاشت خوب در $(x-1, y)$ داشته باشیم، سعی داریم تا از یک نگاشت به راست برای نگاشت (x, y) استفاده کنیم. با قراردادن $z = (x, y)$ ، یک جواب احتمالی برای $f(z)$ ، $f(z - \Delta_p) + \Delta_p$ است که در آن Δ_p مقادیر $(1, 0)$ و $(0, 1)$ را اختیار می کند.

نتیجه آنچه انجام شد نشان می دهد که اگر (x, y) یک نگاشت صحیح داشته باشد و در یک ناحیه R وابسته باشد، بنابراین تمام R های پایین و سمت راست (x, y) با مقادیر صحیح نگاشت تکمیل شده اند. علاوه بر این در تکرارهای فرد، اطلاعات به بالا و سمت چپ با بررسی patchها به صورت برعکس و استفاده از جواب های احتمالی پایین و به سمت راست، انتشار می یابند. انتشار به سرعت همگرا می شود، اما اگر به تنهایی مورد استفاده قرار گیرد، با یک بهینه محلی خاتمه می یابد. بنابراین بخش دوم به جستجوهای تصادفی اختصاص دارد.

جستجو تصادفی: یک توالی از جواب های احتمالی از توزیع نمایی نمونه برداری می شود و در صورتیکه هر کدام از این نمونه ها فاصله D کمتری داشت، نزدیکترین همسایه فعلی به روز رسانی می شود. اگر v_0 نزدیکترین همسایه فعلی برای $f(z)$ باشد، هدف تلاش برای بهبود $f(z)$ با آزمایش توالی های مختلف جواب های احتمالی نگاشت شده در یک فاصله کاهش نمایی از v_0 است:

$$u_i = v_0 + w \alpha^i R_i \quad (۱.۳)$$

که در آن R_i یک عدد تصادفی یکنواخت در $[-1.1] \times [-1.1]$ ، w شعاع بیشینه جستجو، و α یک نسبت ثابت بین اندازه پنجره های جستجو است. Patchها برای $i = 0.1.2 \dots$ تا زمانیکه جستجوی $w \alpha^i$ به کمتر از یک پیکسل کاهش یابد، بررسی می شوند. در اینجا w بیشترین ابعاد تصویر است و $\alpha = 1/2$ است.

معیارهای توقف: از آنجایی که می توان معیارهای مختلفی برای توقف بر اساس کاربرد برای توقف را به کار برد، اما در عمل تکرار بر اساس تعداد مشخصی از تکرار بهترین نتیجه را داشت. تمام نتایج

آورده شده در اینجا بر اساس ۴ یا ۵ تکرار الگوریتم هستند، پس از آنکه NNF تقریباً همیشه همگرا شده است. همگرایی در شکل ۳.۳ نمایش داده شده است.



(و) تکرار پنجم (ی) تکرار دوم (ه) تکرار اول (د) تکرار اول $\frac{3}{4}$ (ج) تکرار اول $\frac{1}{4}$ (ب) مقدار تصادفی (الف) تصویر اصلی

شکل ۳.۳ - همگرایی؛ (الف) تصویر بالا تنها با استفاده از patchهایی از تصویر پایین بازسازی شده است. (ب) بالا: بازسازی با استفاده از رای دهی patchها^{۱۴}، پایین: یک مقداردهی تصادفی، که زاویه با رنگ و مقدار با اشباع رنگ نمایش داده شده است. (ج) و (د) نمایش بخشی از مسیر برای انجام تکرار اول، مقادیر انحراف در بالای نوار افقی پویا انتشار یافته اند. (ه) پایان تکرار اول. (ی) تکرار دوم. (و) بعد از انجام پنج تکرار، تقریباً تمام patchها تغییر نکرده اند.

کارایی: کارایی این روش ساده به روش‌های مختلفی قابل بهبود است. در فاز انتشار و جستجوی تصادفی، زمانیکه در حال بهبود $f(z)$ با یک جواب احتمالی u هستیم، یک توقف زودهنگام زمانیکه حاصل جمع جزئی برای فاصله بیش از فاصله فعلی باشد، قابل انجام است. همچنین در مرحله انتشار، زمانیکه از patchهای مربعی به طول ضلع p و نرم L_p استفاده می‌کنیم، تغییر در فاصله می‌تواند با توجه به مقدار زائد مربوط به جمع بر روی ناحیه‌های دارای همپوشانی، به صورت افزایشی با زمان $O(p)$ به جای $O(p^2)$ محاسبه شود. با این حال اینکار میزان حافظه بیشتری برای فاصله‌های فعلی به اندازه $D(f(x,y))$ را متحمل خواهد شد.

۳.۵ یافتن تطابق در چرخش و مقیاس‌های مختلف

در برخی برنامه‌ها، نظیر تشخیص اشیا در بینایی کامپیوتر، مطلوب است تا patchها در سراسر طیف وسیعی از چرخش‌ها یا مقیاس‌ها تطابق یابند. برای این کار بدون از دست دادن کلیت مسئله، یک

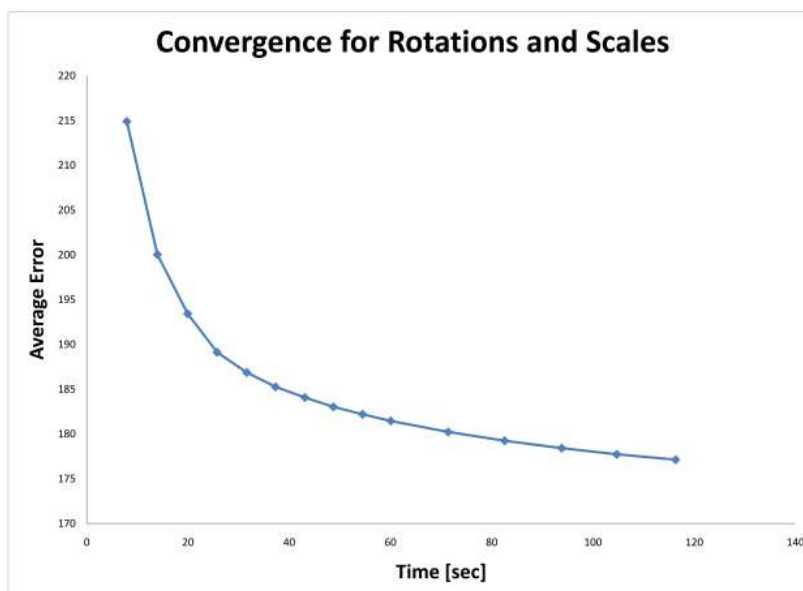
۱۴. رای گیری با نگاه کردن به رنگ نزدیکترین همسایه و میانگین گیری بر روی تمام patchهایی که هم پوشانی دارد، انجام می‌گیرد.

patch از تصویر اول بدون تغییر اندازه یا چرخش با یک patch از تصویر دوم که بر اساس مرکز، چرخش یا تغییر اندازه یافته است، تطابق می‌یابد.

برای جستجو در بازه چرخش $\theta \in [\theta_1, \theta_2]$ و بازه مقیاس $s \in [s_1, s_2]$ ، بازه ی جستجو الگوریتم اصلی را از (x, y) به (x, y, θ, s) تغییر می‌دهیم. بنابراین تعریف نزدیکترین همسایه صحیح به شکل نگاشت $f: \mathbb{R}^2 \mapsto \mathbb{R}^4$ تغییر خواهد کرد. در اینجا f با نمونه برداری یکنواخت در بازه مکان‌ها، جهت‌ها و مقیاس‌های مختلف مقداردهی اولیه خواهد شد. در فاز انتشار patch‌های همسایه تنها با یک انتقال ساده ارتباط نخواهند داشت. بنابراین باید همسایگان با ماتریس ژاکوبی تبدیل شوند. اگر $T(f(x))$ یک تبدیل کامل به شکل (x, y, θ, s) باشد، جواب‌های احتمالی به شکل $f(x - \Delta_p) + T'(f(x - \Delta_p))\Delta_p$ خواهند بود. در فاز جستجوی تصادفی هم از یک پنجره با ساینز کاهشی در اطراف ناحیه استفاده خواهیم کرد.

همگرایی این رویکرد در شکل ۳. ۴ نمایش داده شده است. با توجه به جستجو در ϵ بعد به جای یک بعد، ترکیب انتشار و جستجوی تصادفی به طور موفقیت آمیزی از فضای جستجو نمونه برداری میکند و به طور کارایی تطابق‌های خوبی در میان patch‌ها انتشار می‌دهد. در مقابل، با درخت kd، جستجو در

سراسر مقیاس‌ها و چرخش‌ها نابدیهی است. همه‌ی چرخش‌ها و مقیاس‌پذیری‌ها یا باید به درخت اضافه شوند یا درخواستی دیگر، که منجر به هزینه‌های زمان و حافظه می‌شود.



شکل ۳. ۴ - جستجو در میان چرخش‌ها و مقیاس‌ها. این میانگینی در میان مجموعه داده‌ای تصاویر ۰,۳ مگاپیکسلی است. هم‌زمان در تکرار و هم تکرارهای مورد نیاز در همگرایی نسبت به الگوریتم انتقال تنها بالاتر هستند. زمان در تکرار اصولاً بخاطر فیلترینگ دوسویه استفاده شده در محاسبه فاصله تکه بیشتر است: اگر فیلترینگ نزدیکترین همسایه استفاده شود هر تکرار چندین برابر سریع‌تر می‌شود اما فاصله تکه با توجه به نمونه برداری اندکی بالاتر می‌رود.

یادآوری می‌کنیم که زمان در تکرار در شکل ۳. ۴ نسبت به الگوریتم انتقال تنها بالا تر است. این اصولاً بخاطر فیلتر دو سویه‌ای است که برای جستجوی الگو در تکه چرخانده شده/تغییر مقیاس داده شده، استفاده شده است. متناوباً، فیلترینگ نزدیکترین همسایه می‌تواند استفاده شود که در آن هر تکرار چندین برابر سریعتر می‌شود اما می‌توان نمونه برداری را در موقعیت بهترین نزدیکترین همسایه تعریف کرد. این شاید یا شاید نه مسئله‌ای وابسته به برنامه کاربردی باشد. یک جایگزین سوم برای نمونه برداری تصویر هدف و سپس نمونه برداری با کمک فیلتر نزدیک‌ترین همسایه است. این سرعت بالا و

نیز برخی افزایش دقت ها را به دنبال دارد. ما برای پژوهش های آتی پیشنهاد می کنیم که می توان الگوریتم های GPU را با توجه به فیلترینگ دوسویه پیاده سازی شده در سخت افزار کارآمد تر کرد.

۶.۳ تطابق توصیف گرهای دلخواه

الگوریتم PatchMatch اساساً با استفاده از جمع مجذور اختلاف فاصله تکه پیاده سازی شده است اما هیچ نیازمندی صریحی برای تابع فاصله بیان نمی کند. تنها فرض صریح این است که تکه های با مجاورت مکانی نزدیک باید با احتمال بیشتری بهترین نزدیک ترین همسایه را داشته باشند به طوری که PatchMatch بتواند در انتشار بهترین نزدیک ترین همسایه ها و یافتن یکی از آنها موثر باشد. به نظر می رسد این برای انواع مختلفی از توابع فاصله و توصیف گرها درست باشد. در واقع، الگوریتم می تواند حتی به سرعت استفاده از توصیف گرهای پشتیبانی کننده از محدوده وسیع را پوشش دهد که که تکه های تصویر کوچک کار می کند زیرا تمایل به تنوع نسبی در تصویر دارد. در کل، "تابع فاصله" می تواند هر نوع الگوریتمی باشد که به ترتیب کلی را فراهم می آورد که آن نیازی به تبعیت از ویژگی های تابع فاصله متریک ریاضی معمولی ندارد. برای مثال، تفارن می تواند شکسته شود: "فاصله" از تکه مرجع الف تا تکه هدف الف می تواند تغییر کند اگر تصاویری تغییر کنند یا می توان از معادله مثلثی تبعیت نکرد^{۱۵}. بنابراین، تطابق پذیری ما بسیار انعطاف پذیر است. در فصل ۷، مثال های زیادی در بینایی کامپیوتری مطرح می کنیم، همچون patchهایی که تغییرات روشنایی را جبران کرده و تطبیق توصیف گرهای SIFT را انجام می دهند.

۷.۳ تطبیق k نزدیکترین همسایه

برای برنامه های خاصی مانند حذف نویز با میانگین گیری تکه های مشابه، ما امیدواریم در هر نقطه (x, y) بیش از یک نزدیکترین همسایه را بیابیم. این می تواند با جمع آوری k نزدیکترین همسایه برای هر تکه انجام پذیرد. بنابراین NNF, f_k یک نگاشت چند مقداری، با k مقدار است. NNF می تواند به صورت آرایه ای با کانالهای A و k ذخیره گردد. تغییرات ممکن زیادی در PatchMatch برای محاسبه k -NN وجود دارند. ما کارایی برخی از آنها را با یک رویکرد استاندارد مقایسه کردیم: کاهش بعد با

۱۵. تطابق می تواند در میان تصاویر کاملاً متفاوت انجام شود - نرخ همگرایی تنها به اندازه نواحی منطبق بستگی دارد.

PCA، با تبعیت از ساختار درخت kd [78] با افکندن همه ی تکه‌های تصویر B بر مبنای PCA، سپس جستجوی ϵ نزدیکترین همسایه در درخت kd برای هر تکه از تصویر A بر همان مبنای از آنجایی که هر یک از این الگوریتم‌ها می‌توانند برای دقت بالاتر و سرعت بالاتر نیز بهبود یابند، ما هر یک را با برخی تنظیمات ارزیابی کردیم. برای PatchMatch، ما به سادگی تکرارهای اضافی را محاسبه کردیم و برای درخت kd پارامترهای PCA و ϵ را تنظیم کردیم. کارایی نسبی این الگوریتم‌ها در شکل ۳.۵ رسم شده است. ما همچنین آن را با FLANN، بسته‌ای که شامل درخت kd، معنایی k، یک الگوریتم ترکیبی و تعداد زیادی پارامتر که می‌توانند در کارایی موثر باشند می‌شود مقایسه کردیم.

الگوریتم پشته‌ای: در ساده ترین نوع، ما k نزدیک ترین همسایه با موقعیت هر تکه جمع آوری کردیم. در طی انتشار، نزدیک ترین همسایه‌ها در موقعیت فعلی را به طور مستمر با هر k نزدیک ترین همسایه با سمت چپی یا بالایی (یا پایینی یا سمت راستی در هر تکرار) مقایسه میکنیم. کاندیداهای جدید $f_i(x - \Delta_p) + \Delta_p$ هستند که مقدار (Δ_p) و (Δ_p) می‌گیرد و $i = 1, 2, \dots, k$ است. اگر هر کاندید نسبت به بدترین کاندید ذخیره شده در x نزدیک تر است، آن بدترین کاندید با کاندیدی از patch همسایه جایگزین می‌شود. این کار می‌تواند به طور موثری با یک پشته بیشینه انجام شود که پشته فاصله تکه D را ذخیره می‌کند. فاز جستجوی تصادفی نیز به طرز مشابهی کار می‌کند: n نمونه پیرامون هر k نزدیک ترین همسایه برداشته شد که در کل nk نمونه است. بدترین عنصر از پشته خارج می‌شود اگر فاصله کاندیدا بهتر باشد. در هنگام آزمون کاندیدها، ما یک جدول Hash نیز برای شناسایی سریع کاندیدهای قبلی لیست k، و برای اجتناب از اضافه کردن‌های تکراری ایجاد میکنیم. k نزدیک ترین همسایه در پشته به صورت آرایه مستطیلی f ذخیره می‌شود. برای کاهش استفاده از حافظه، جدول Hash را برای زمانی نیازی به بازخوانی هر patch از حافظه داریم بازسازی می‌کنیم.

الگوریتم پشته‌ای با k نمونه گیری خلوت: k همسایه اغلب انحرافات خوشه‌ای دارند زیرا تصاویر طبیعی وابستگی‌های زیادی در خود دارند. بنابراین، ممکن است تعجب برانگیز باشد که آیا جستجوی جامع در میان همه ی k داوطلب در فاز جستجوی تصادفی و انتشار واقعا ضروری است، یا آیا می‌توانیم k داوطلب را با پراکندگی بیشتری نمونه گیری کنیم. برای انتشار، ما تنها می‌توانیم انحراف همسایه را با کوچکترین فاصله ("بهترین p" در شکل ۳.۵) مقایسه کنیم یا یک عنصر تصادفی به عنوان داوطلب برای انتشار (به صورت "p تصادفی" نشان داده می‌شود) انتخاب می‌کنیم. همچنین، در جستجوی

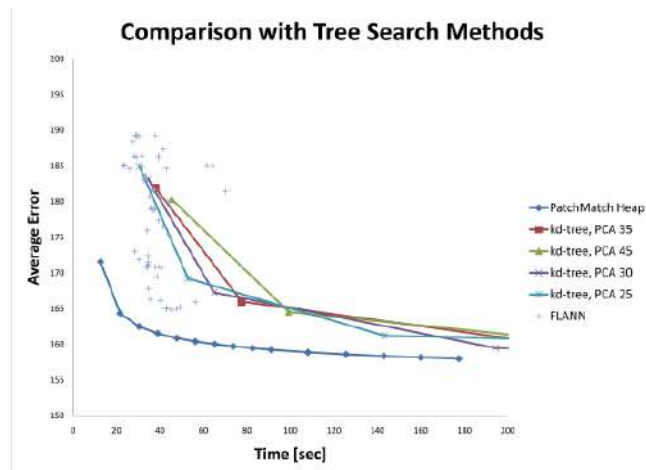
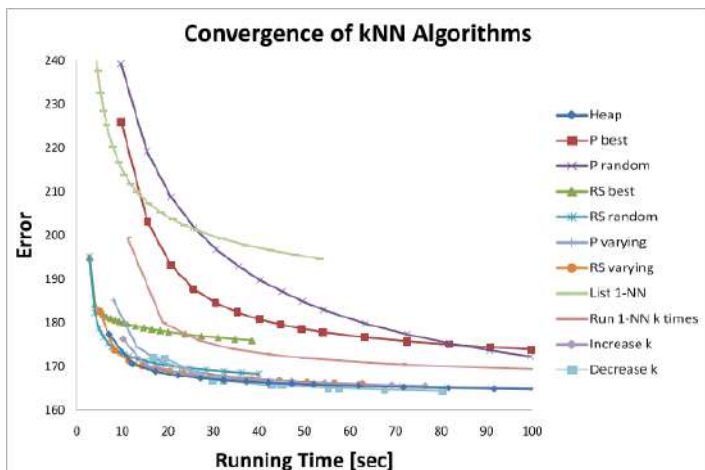
تصادفی، می توان به طور تصادفی پیرامون انحراف با کوچکترین فاصله (به صورت "بهترین RS" نشان داده می شود) نمونه گیری کرد یا پیرامون یک انحراف دلخواه تصادفی (با "RS تصادفی" نشان داده می شود) نمونه گیری کرد. نهایتاً، می توان انتشار یا جستجوی تصادفی را روی n انحراف انجام داد که m به طور تصادفی به صورت یکنواخت بین 1 و k انتخاب می شود (با "P متغیر" و "RS متغیر" نشان داده می شود). گرچه آنها تعداد عملیات در هر تکرار را کاهش می دهند، همه ی این استراتژی ها برای نسبت به الگوریتم هیپ طبیعی همگرایی آهسته تری دارند که در شکل ۳.۵ نشان داده شده است.

۱ استفاده از الگوریتم NN-1 برای یافتن k-NN: مشاهده دیگر آن است که کاندیداهای مختلفی در دوره الگوریتم PatchMatch 1-NN اصلی ملاحظه شده اند. بنابراین، در استراتژی دیگر، ما همه ی انحرافات داوطلبان را به کمک الگوریتم برای هر پیکسل به دست می آوریم، و سپس لیست را برای یافتن k بالایی (با "لیست NN-1" نشان داده می شود) مرتب می کنیم. به طور مشابه، می توانیم الگوریتم NN-1 را k بار اجرا کنیم، هر اجرا در صورتی محدود می شود که انحرافات برابر با هر یک از انحرافات انتخابی قبلی (با "k دفعه اجرای NN-1" نشان داده می شود) باشند. همانند استراتژی پشته خلوت، محاسبه تکرار سریع انجام می شود اما نسبت به الگوریتم پشته اصلی کند تر همگرا می شود.

تغییر k طی تکرارهای متعدد: می تواند تکرار 1 را با تعدادی از نزدیک ترین همسایگان k_0 آغاز نمود و پس از آنکه نیمی از تکرارها انجام شدند، آن را به تعداد نهایی مطلوبی از نزدیکترین همسایه های k ، یا با حذف بدترین عنصر از پشته یا با افزودن عناصر تصادفی یکنواخت مورد نیاز، افزایش یا کاهش داد. افزایش تعداد کمی از نزدیکترین همسایگان $k_0 = k/2$ (با "k افزایش" نشان می دهیم)، و کاهش تعداد زیادی از نزدیک ترین همسایگان $k_0 = 2k$ (با "k کاهش" نشان می دهیم) به باعث شد تا دوباره این الگوریتم ها نسبت به پشته ساده کندتر عمل کند.

برخی از این الگوریتم ها، تکرارهای تنها را نسبت به الگوریتم پشته پایه توصیف شده در بالا سریعتر انجام می دهند، اما همگرایی آهسته تر انجام می شود زیرا آنها در یک تکرار اطلاعات کمتری را منتشر

می‌کنند. درکل، الگوریتم پشته اصلی انتخاب خوبی برای محدوده وسیعی از منحنی سرعت/کیفیت هست.



شکل ۵.۳ - چپ: عملکرد انواع k -PatchMatch با $k = 16$ نزدیکترین همسایه، در همه ی تصاویر در شکل ۲.۷ میانگین گیری شده، به 0.2 مگاپیکسل تغییر یافته و با آنها تطبیق یافت. خطا متوسط فاصله تکه L_2 در سراسر k تطبیق، برای تکه‌های 7 در 7 است. نقاط روی هر منحنی پیشرفتی را در هر تکرار نشان می‌دهد. راست: مقایسه با درخت kd و FLANN، در 0.4 مگاپیکسل، در همان مجموعه داده این میانگین گیری شدند. مجدداً تطبیق برای $k = 16$ نزدیک ترین همسایه است. الگوریتم PatchMatch از روشهای درختی کارا تر است.

الگوریتم پشته پایه در محدوده وسیعی از k و اندازه‌های تصویر مختلف کارا تر است؛ برای مثال: الگوریتم برای $k = 16$ و تصاویر ورودی 0.1 تا 0.1 مگاپیکسل، چندین برابر سریعتر از درخت kd باشد. در مقایسه با پیاده سازی درخت kd ی Mount و Arya [78] و FLANN [79]، این الگوریتم در تغییر همه ی پارامترهای ممکن، در هنگام تنظیم تنها تعداد تکرارهای الگوریتم پشته کنترل شد. FLANN الگوریتم‌های متعددی را پیشنهاد می‌کند، بنابراین ما محدوده بزرگی از پارامترها را که در شکل ۳-۵ با علامت + نشان داده شده است نمونه برداری کردیم. FLANN می‌تواند به طور خودکار پارامترها را بهینه سازی کند اما دریافتیم که عملکرد حاصل همواره به نمونه گیری نقطه‌ای ما وابسته است. در هر دو مورد، این تنظیم پارامتر گسترده در عملکرد رویکرد الگوریتم پشته‌ای که ارائه کردیم - نه فراتر از آن - تاثیر می‌گذارد. بنابراین، پیشنهاد می‌کنیم که الگوریتم پشته‌ای k -PatchMatch کلی انتخاب

بهتری برای طبقه وسیعی از مسائل خواسته شده در تناظر تکه تصویر است. با بهینه سازی بیشتر الگوریتم ما، فاصله جواب‌های یافته شده کمتر شده و عملکردی بیشتر خواهد شد [4].

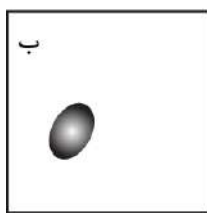
۸.۳ تحلیل همگرایی

در این بخش، ما همگرایی الگوریتم NN-1 خود را برای تطابق میان انتقالات، برای نمونه‌های ترکیبی و واقعی تحلیل می‌کنیم. انتقال الگوریتمی است که تحلیل آن نسبت به کلی سازی‌های توصیف شده در بخش‌های ۳-۵ تا ۳-۷ توصیف شده اند.

۱.۸.۳ تحلیل یک نمونه ترکیبی

الگوریتم PatchMatch با حد گیری به NNF دقیق همگرا می‌شود. در اینجا یک تحلیل تئوری برای این همگرایی پیشنهاد می‌کنیم. تحلیل ما در اینجا تنها به الگوریتم تنها نزدیکترین همسایه تک انتقالی اعمال می‌شود. نشان می‌دهیم که آن با احتمال بالایی به سرعت در اندکی از تکرارهای اولیه همگرا می‌شود. به علاوه، نشان می‌دهیم که در موارد اینچنینی که تنها تطابقهای تقریبی مورد نیاز است، الگوریتم حتی سریعتر همگرا می‌شود. بنابراین الگوریتم ما بهتر است به عنوان یک الگوریتم تخمینی با محدود کردن محاسبات به تعداد کمی از تکرارها استفاده شود. ما با تحلیل همگرایی به حوزه دقیق نزدیک ترین همسایه شروع کردیم و سپس این تحلیل را به مورد سودمندتری از همگرایی به راه حل تقریبی گسترش دادیم. فرض کنید الف و ب اندازه یکسانی (M پیکسل) دارند و مقداردهی اولیه تصادفی انجام شده است. گرچه احتمالات هر موقعیت که در فرض اولیه با بهترین انحراف تخصیص یافتند بسیار کوچک ($1/M$) هستند، احتمال حداقل یک انحراف که به درستی تخصیص یافته باشد بسیار خوب ($1 - (1 - \frac{1}{M})^M$) یا برای مقادیر بزرگ M تقریباً $1 - 1/e$ هستند. چون جستجوی تصادفی در نواحی محلی کوچک بسیار متراکم است می‌توانیم اختصاص "درستی" برای هر تخصیص در همسایگی کوچکی از پیکسل‌های به اندازه C در پیرامون انحراف صحیح داشته باشیم. این انحرافات در تقریباً یک تکرار از جستجوی تصادفی صحیح خواهند بود. احتمالاتی که در آنها حداقل یک انحراف تخصیص

یافته یک همسایگی اینچینی عالی هستند: $(1 - (1 - \frac{C}{M})^M)$ یا برای مقادیر بزرگ M ، $1 - \exp(-C)$.



اکنون یک مورد آزمون ترکیبی چالش برانگیز برای الگوریتم خود در نظر می‌گیریم: یک ناحیه مجزای R با سایز m پیکسل در دو موقعیت مختلف در دو تصویر الف و ب واقع شده اند (در شکل نشان داده شده). این تصویر نمونه پیچیده‌ای است زیرا هیچ اطلاعاتی در مورد جایی که انحرافات نواحی مجزا ممکن است یافت شوند ارائه نمی‌شود. تکه‌ها در پس زمینه‌ای یکنواخت می‌توانند تعداد زیادی از تکه‌های مشابه دیگر را تطبیق دهند، که با تخمین‌های تصادفی در یک تکرار با احتمال بالایی یافت شده اند، بنابراین همگرایی را تنها برای ناحیه R بررسی می‌کنیم. اگر تنها یک انحراف در ناحیه مجزای R در همسایگی C از

انحراف درست باشد آنگاه فرض می‌کنیم که پس از تعداد اندکی از تکرارها، با توجه به تراکم جستجوی تصادفی در نواحی محلی کوچک (که قبلاً بیان شد)، همه ی R با انتشار (برای سادگی فرض کنید این لحظه‌ای است) صحیح خواهد بود. اکنون فرض کنید R هنوز همگرایی ندارد. جستجوهای تصادفی انجام شده توسط الگوریتم ما در بیشینه مقیاس w را در نظر بگیرید. تکرارهای جستجوی تصادفی در مقیاس w به طور مستقل تصویر ب نمونه برداری می‌کنند و احتمال p که هر کدام از این نمونه‌ها در همسایگی C از انحراف صحیح قرار می‌گیرند برابر است با:

$$p = 1 - (1 - C/M)^m \quad (۲.۳)$$

قبل از انجام هر تکراری، احتمال همگرایی p است. احتمال اینکه در تکرارهای $0, 1, \dots, t-1$ همگرایی انجام نشود و در تکرار t همگرا شود برابر $p(1-p)^t$ است. بنابراین احتمالات، توزیع هندسی هستند و زمان مورد انتظار $t = 1/p - 1$ است. برای سادگی، اندازه نسبی را $\gamma = m/M$ بگیرید، سپس همچنان که تفکیک پذیری M بزرگ می‌شود حد بگیرید:

$$t = [1 - (1 - C/M)^{\gamma m}]^{-1} - 1 \quad (۳.۳)$$

$$\lim_{M \rightarrow \infty} t = [1 - \exp(-C\gamma)]^{-1} - 1 \quad (۴.۳)$$

با بسط تیلور برای γ ، می‌شود. که تعداد تکرارهای مورد انتظار ما در همگرایی برای تفکیک تصویر بزرگ و اندازه کوچک m نسبت به تفکیک پذیری تصویر M ثابت باقی می‌ماند. شبیه سازی‌ها برای تصاویر با تفکیک پذیری M از ۰٫۱ تا ۲٫۰ مگاپیکسل انجام شده است که این مدل را تایید می‌کند. برای

مثال، برای یک ناحیه $m = 202$ ، الگوریتم با احتمال بالایی پس از ۵ تکرار برای یک تصویر $M = 20002$ همگرا می‌شود.

آزمون بالا دشوار است اما بدترین آنها برای تطابق دقیق نیست. بدترین نمونه برای تطابق دقیق زمانی است که تصویر ب از الگویی با تکرار بالا با انحرافات شبيه به ویژگیهای مجزا در الف باشد. ممکن است انحراف توسط یکی از عوامل منحرف کننده به "دام" بیفتد و اندازه موثر ناحیه همسایگی C ممکن است به ۱ کاهش یابد (مثلا، تنها تطابق دقیق می‌تواند راه حل را از عامل منحرف کننده در طی جستجوی تصادفی بیرون بکشد). هرچند در عمل، برای تحلیل تصویر و برنامه‌های ترکیبی همچون آنهایی که در این پایان نامه نشان دادیم، یافتن یک تطابق تقریبی (با توجه به شباهت تکه) موجب هیچ اختلاف قابل توجهی نخواهد شد. شانس یافتن یک تطابق تقریبی موفق در زمانی که عوامل منحرف کننده مشابه حضور دارند واقعا بالا است زیرا هر عامل منحرف کننده خودش یک تطابق تقریبی است. اگر فرض کنیم Q عامل منحرف کننده در تصویر ب وجود دارند که با تطابق دقیق در برخی مرزها تشابه دارند، در اینجا هر تقریب همان ناحیه همسایگی C را دارد، سپس با پیروی از تحلیل بالا تعداد تکرارهای مورد انتظار برای همگرایی به $M/(QC_m) - 0.5$ کاهش می‌یابد.

۲,۸,۳ تحلیل برای تصاویر دنیای واقعی

در اینجا ما تقریب‌های ایجاد شده توسط الگوریتم خود در تصاویر دنیای واقعی را تحلیل می‌کنیم. ما عملکرد الگوریتم انتقال تنها را برای یافتن نزدیک ترین همسایه بررسی می‌کنیم. برای رسم عملکرد الگوریتم کلی شکل ۳,۴ و ۳,۵ را ببینید. برای ارزیابی اینکه الگوریتم چطور به درجه‌های مختلفی از

تشابه بصری در میان تصاویر ورودی و خروجی آدرس دهی می‌کند، تحلیل خطا بر روی مجموعه‌های داده‌ای متشکل از زوج تصاویر یک محدوده از تشابهات بصری اعمال شده است.

اندازه (مگاپیکسل)	زمان (ثانیه)		حافظه (مگابایت)	
	PatchMatch	kd-tree	PatchMatch	kd-tree
۰,۱	۰,۶۸	۱۵,۲	۱,۷	۳۳,۹
۰,۲	۱,۵۴	۳۷,۲	۳,۴	۶۸,۹
۰,۳۵	۲,۶۵	۸۷,۷	۵,۶	۱۱۸,۳

جدول ۳.۱ - مقایسه حافظه و زمان اجرا برای ورودی نشان دهنده شده در شکل ۳.۳. الگوریتم را با روشی که برای جستجوی مبتنی بر patch انجام میشود، مقایسه می‌کنیم: درخت kd، تطابق نزدیک ترین همسایه را تقریب می‌زند. الگوریتم از $n = 5$ تکرار استفاده می‌کند. پارامترها برای درخت kd برای تعیین خطای متوسط الگوریتم بهبود یافته اند.

اینها شامل ورودی‌ها و خروجی‌هایی از عملیات ویرایش تصویر (یا موارد خیلی مشابه) می‌شدند، جفت‌های استریو^{۱۶} و فریم‌های تصویر متوالی (یا چیزی مشابه)، تصاویر از یک طبقه بندی در مجموعه داده Caltech-256^{۱۷} (یا کمی مشابه) و زوج تصویرهای غیر وابسته می‌شود. برخی از اینها در تفکیک پذیریهای مختلف (۰,۱ تا ۰,۳۵ مگاپیکسل) و اندازه patchهای (۴ در ۴ و ۱۴ در ۱۴) مختلف تحلیل شدند. الگوریتم ارائه شده و درخت kd ANN+PCA هر دو روی هر جفت اجرا شدند و مقایسه شدند (با NN دقیق محاسبه شدند). به یاد داشته باشید که چون زمان پیش محاسبه برای برنامه‌ها اهمیت دارد، از تصویر کردن PCA برای کاهش چند بعدی بودن داده‌های ورودی، برخلاف kumar و همکاران [63]، که برداهای ویژه را برای تصویر کردن PCA مختلف در هر گره از درخت kd محاسبه کردند،

۱۶. <http://vision.middlebury.edu/stereo/data/scenes2006>

۱۷. http://www.vision.caltech.edu/Image_Datasets/Caltech256

استفاده شده است. چون هر الگوریتم پارامترهای قابل بهبودی دارد، این پارامترها نیز برای دستیابی به محدوده‌ای از خطاهای تقریبی تغییر داده شده است.

خطا برای هر مجموعه داده‌ای به طور میانگین محاسبه شده است و صدک ۹۵ ام تکه‌ها بین فاصله تکه RMS الگوریتم و مقدار واقعی فاصله تکه RMS اصلی اختلاف دارند. برای ۵ تکرار از الگوریتم، دریافتیم متوسط خطاها بین ۰,۲ و ۰,۵ سطوح خاکستری تصاویر مشابه و بین ۰,۶ و ۱,۵ سطوح خاکستری در تصاویر غیر مشابه (از ۲۵۶ سطح خاکستری) است. در صدک ۹۵ ام، خطاها از ۰,۵ تا ۲,۵ سطوح خاکستری تصاویر مشابه و بین ۰,۹ تا ۶,۰ سطوح خاکستری برای تصاویر غیر مشابه است.

الگوریتم ارائه شده اساساً نسبت به درخت kd سریع تر است و با توجه به محدوده وسیعی از پارامترها از حافظه کمیتری استفاده می‌کند. برای اندازه patch ۷ در ۷ استفاده شده برای اغلب نتایج، دریافتیم که الگوریتم ۲۰ برابر تا ۱۰۰ برابر سریع تر است و حدود ۲۰ برابر حافظه کمتری نسبت به درخت kd بدون توجه به تفکیک پذیری استفاده می‌کند. جدول ۱.۳ مقایسه‌ی حافظه و زمان میانگین استفاده شده در الگوریتم را در برابر درخت‌های kd ANN برای نوعی از ورودی نشان می‌دهد: جفت‌ها در شکل ۳.۳ نشان داده شده است. بقیه مجموعه داده‌ها نتایج مشابهی می‌دهند. برای مقایسه دقیق زمان اجرا، پارامترهای درخت kd ANN برای دستیابی به متوسط خطای تقریبی الگوریتم خود پس از ۵ تکرار تنظیم شده است.

خطاها و تسریع‌های به دست آمده تابعی از اندازه patch و تفکیک پذیری تصویر هستند. برای patch‌های کوچکتر، تسریع‌های کوچکتری به دست آوردیم (۷ برابر تا ۳۵ برابر برای تکه‌های ۴ در ۴)، و الگوریتم مقادیر خطای بالاتری دارد. به طور عکس، تکه‌های بزرگ تسریع‌های بالاتر (۳۰۰ برابر یا بیشتر برای تکه‌های ۱۴ در ۱۴) و مقادیر خطای پایین تر دارند. تسریع‌ها در تفکیک پذیریهای کوچکتر، پایین تر هستند اما در تفکیک پذیریهای بالاتر سطوح کمتری داریم.

پژوهش‌ها [63] نشان می‌دهد که درخت‌های vp نسبت به درخت‌های kd برای جستجوهای دقیق نزدیکترین همسایه کارا تر هستند. این مورد در مجموعه داده‌های استفاده شده نیز مشخص بود. هرچند، تطابق دقیق در برنامه یاده سازی شده خیلی آهسته صورت می‌گیرد. در هنگام انجام تطابق تقریبی با

PCA، دریافتیم که درخت‌های vp نسبت به درخت‌های kd برای مقادیر خطای معادل کند تر هستند، بنابراین آنها را از مقایسات خود حذف کردیم.

۹.۳ تشریح مطالب

ماهیت الگوریتم ما برخی تشابهات صوری LBP را در بر دارد و الگوریتم‌های Graph Cuts اغلب برای حل حوزه‌های تصادفی مارکو در یک شبکه تصویر استفاده شده اند [107]. هرچند، اختلافات اساسی وجود دارند: الگوریتم ارائه شده در اینجا، برای بهینه سازی تابع انرژی بدون هیچ عبارت همسایگی طراحی شده است. MRFها اغلب از عبارت همسایگی برای تنظیم بهینه سازی‌ها بدون هیچ نویز یا از دست رفتن داده‌ها، بر اساس وابستگی موجود در مدل کلی استفاده می‌کنند. متقابلاً، الگوریتم هیچ مدل کلی صریحی ندارد اما از وابستگی در داده‌ها برای هرس کردن جستجو برای راه حل‌های احتمالی یک مسئله جستجوی موازی ساده استفاده می‌کند. چون الگوریتم این نواحی وابسته را در تکرارهای آغازین می‌یابد، تطابق‌های ما در وابستگی‌ها دچار خطا می‌شوند. بنابراین، وابستگی‌ها صریحاً انجام نمی‌شوند، رویکرد برای برنامه‌های ترکیبی عملی متعددی همانطور که در فصل‌های ۵ و ۶ نشان داده خواهد شد کفایت می‌کند. به علاوه، الگوریتم از محاسبات پرهزینه سازگاری patch‌های به هم پیوسته و الگوریتم‌های استنتاجی/بهینه سازی اجتناب می‌کند.

به طور خلاصه، این فصل الگوریتم تطابق اصلی را در محتوای تطابق توصیفگرهای با نمونه برداری متراکم تر نشان می‌دهد. ما همگرایی عملی و تئوری را تحلیل کردیم و دریافتیم که الگوریتم حداقل نسبت به پژوهش‌های قبلی، در میان محدوده وسیعی از پارامترها سریع تر است. در ادامه جزئیات پیاده سازی برای معماری‌های موازی و مجموعه‌های بزرگی از تصاویر را تشریح خواهیم کرد.

فصل چهارم

استراتژیهای موازی سازی و جستجو

در این فصل، ما جزئیاتی در مورد پیاده سازی الگوریتم خود در معماری موازی تشریح می کنیم همانند CPU و GPU چند هسته ای و "PatchWeb" که الگوریتمی مشابه PatchMatch است که به مسائل جستجو و مقیاس پذیری در مجموعه تصاویر بزرگ اشاره دارد. ما همچنین دو عملیات جستجوی جدید معرفی می کنیم: enrichment و binning، که در فرایند جستجو، به خصوص مجموعه داده های تصویر بزرگ کمک می کنند.

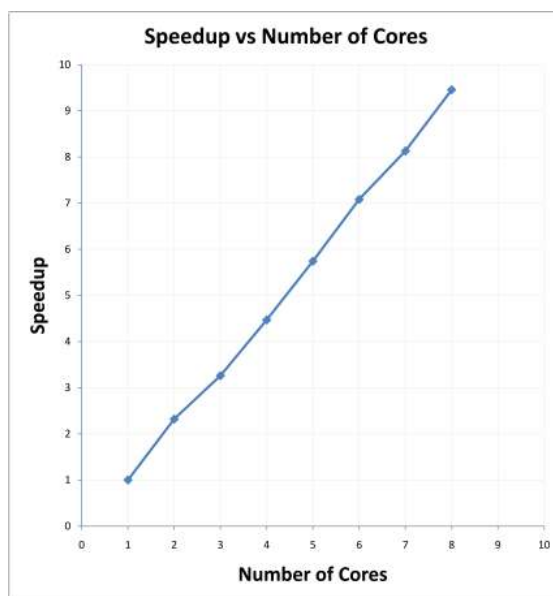
۴.۱ موازی سازی

انواع موازی از الگوریتم تطابق روی GPU و CPU پیاده سازی شده است. عمل جستجوی تصادفی اندکی قابل موازی سازی است به طوری که چالش اصلی موازی سازی عمل انتشار است. در اینجا الگوریتم های موازی مختلفی را تشریح می کنیم.

یک الگوریتم GPU کاملاً موازی در زبان CUDA پیاده سازی شده است. برای اینکه عملیات وابسته تر نگه داشته شود، بین تکرارهای جستجوی تصادفی و انتشار جاگزین شده است که هر گام همه ی حوزه انحراف را به صورت موازی آدرس دهی کند. گرچه انتشار ذاتاً یک عمل سریال است، ما این الگوی Jump Flood Rong و Ten [91] را برای انجام انتشار در سراسر تکرارهای متعدد تطابق دادیم. از آنجایی که نسخه CPU با اطلاعات انتشاری همه انواع خط اسکن سازگار است، دریافتیم که در عمل انتشارهای طولانی نیاز نیست و بیشینه فاصله پرش ۸ کفایت می کند. همچنین تنها از ۴ همسایه در هر فاصله پرش به جای ۸ همسایه توصیه شده توسط Rong و Tan استفاده می کنیم. با دقت تخمین مشابه، الگوریتم GPU، ۷ برابر سریعتر از الگوریتم CPU تک هسته ای است.

دو نسخه مختلف از الگوریتم موازی را روی CPU پیاده سازی شده است. نخست، الگوریتم Jump Flood تشریح شده در بالا روی CPU پیاده سازی شده است. خطاهای آن با الگوریتم CPU اصلی

قابل قیاس هستند و از اینرو تقریباً ۲,۵ برابر کندتر از الگوریتم CPU تک هسته‌ای است، زمان اجرا با تعداد هسته‌ها رابطه خطی دارد.



شکل ۴. ۱ - تسریع خطی تقریبی الگوریتم موازی با افزایش تعداد هسته‌ها. انحرافات خطی تأثیرات حافظه نهان در نظر گرفته شده است.

از آن برای رویکرد دومی تلاش کردیم و الگوریتم CPU معمولی را با تقسیم NNF به قسمت افقی، و اداره هر قسمت با هسته‌ای مجزا موازی سازی کردیم. چون قسمت‌ها به صورت موازی گردانده می‌شوند، اطلاعات می‌توانند به طور عمودی در تمام طول تکه در یک تکرار مشخص منتشر شوند. برای تضمین اینکه اطلاعات شانس انتشار در تصویر را داشته باشند ما به طور همزمان از یک بخش مهم پس

از هر تکرار استفاده کردیم. برای اجتناب از نقض منابع با توجه به انتشار بین تکه‌های مجاور، نزدیکترین همسایه‌ها در ردیف آخر تکه پس از همگام سازی ذخیره شده است.^{۱۸}

برای الگوریتم تکه کردن، یک تسریع خطی تقریبی، روی ماشین تست ۸ هسته‌ای، همانطور که در شکل ۴.۱ نشان داده شد، مشاهده کردیم.

باور داریم برای پژوهش‌های آینده، پیاده سازی‌های GPU کارتری می‌تواند با یافتن جایگزین‌هایی برای انتشار Jump Flood ایجاد شود؛ بنابراین ما بهبودهایی ارائه می‌کنیم. در الگوریتم سریال اصلی، هر قطر از تصویر به طور سریال تنها به قطرهای قبلی وابسته است، بنابراین، پیمایش سریال قطرها، پردازش موازی هر کدام، برای انتشار ممکن است. (چون انتشار تنها نیاز به کار با فاصله محدود شده دارد، ما می‌توانیم هر قطر n ام را در یک زمان پردازش کنیم، برای مثال $n = 8$). متناوباً، این می‌تواند روی تمامی ستون‌ها یا سطرها تصویر، برای توازن بار بهتر انجام شود اما با استفاده از الگوهای انتشار (برای مثال، در هنگام پردازش ستون‌ها از چپ به راست و انتشار اطلاعات درست، که با کمک همسایه‌های چپ، بالا-چپ و پایین چپ، منتشر می‌شود.

۴.۲ عملیات جستجو: **Binning** و **Enrichment**

ما در اینجا دو عملیات جستجو جدید معرفی می‌کنیم که می‌تواند به صورت کلی استفاده شود، که در هنگام جستجوی مجموعه‌های تصویر بزرگ اهمیت دارند. این بخاطر آن است که آنها در انجام اکتشاف کاملاً تصادفی انجام شده توسط عمل "جستجوی تصادفی" کمک می‌کنند.

۱،۲،۴ **Enrichment**^{۱۹}

اولین عمل جستجو **Enrichment** نامیده می‌شود. گام انتشار PatchMatch تطابق‌های خوبی در میان ابعاد مکانی تصویر منتشر می‌کند. هرچند، در موارد مکانی، می‌توانیم تطابق‌های انتشاری در میان فضای خود patchها ملاحظه کنیم: برای مثال، در هنگام تطابق یک تصویر الف با خودش - همانند

۱۸. متناوباً، برای اجتناب از این مسئله همگام سازی، روی یک ماشین n هسته‌ای، می‌توان ورودی را به $2n$ تکه عمودی تقسیم کرد و تکه‌های زوج را به دنبال تکه‌های فرد به صورت موازی پردازش کرد.

۱۹. غنی سازی

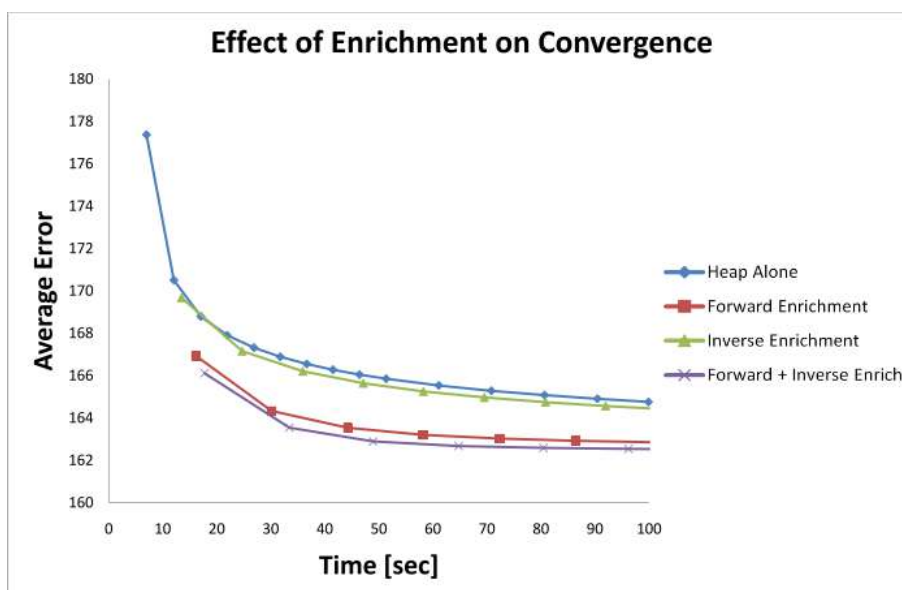
حذف نویز غیر محلی (بخش ۷.۳) - بسیاری از k نزدیکترین همسایگان patch، patch مرجع، و $k-1$ باقی مانده patchهایی در لیست k -NN خود خواهند داشت.

ما enrichment را به صورت انتشار تطابق‌های خوب از یک patch برای k -NN آن یا برعکس تعریف می‌کنیم. این عمل را enrichment می‌نامیم زیرا حوزه نزدیک‌ترین همسایه را می‌گیرد و با در نظر گرفتن مجموعه "غنی‌تری" از تطابق‌های داوطلبین خوب بالقوه به جای انتشار یا جستجوی تصادفی تنها بهبود می‌بخشد. از یک دیدگاه تئوری گراف، ما می‌توانیم انتشار معمولی همچون حرکت تطابق‌های خوب یک شبکه مسئطیلی که گره‌ها مراکز (پیکسل‌ها) patch هستند ببینیم در حالی که enrichment، تطابق‌های خوب را در میان گرافی که هر گره آن به k -NN آن متصل است حرکت می‌دهد. ما دو نوع enrichment، برای حالت مکانی تطابق تکه‌هایی در تصویر الف با سایر تکه‌های درون همان تصویر معرفی می‌کنیم.

Enrichment پی‌شرو از ترکیبی از تابع f با خودش برای شناسایی کاندیدهایی برای بهبود حوزه نزدیک‌ترین همسایه استفاده می‌کند. حالت متعارف enrichment پیشرو f^2 است. اگر f یک NNF با k هم‌سایه باشد، ما f^2 نزدیکترین هم‌سایه را با جستجو در همه‌ی نزدیک‌ترین هم‌سایگان نزدیک‌ترین همسایه می‌سازیم: k^2 تا از اینها وجود دارند. کاندیداها در f و f^2 با هم مقایسه شدند و بهترین k کلی به عنوان نزدیکترین هم‌سایه f' بهبود یافته استفاده شده است. اگر $\min(k)$ تطابق بالاتر را نشان می‌دهد، سپس داریم: $f' = \min(f, f^2)$. انواع دیگر enrichment پیشرو می‌توانند همچون f^3 یا f^4 و غیره در نظر گرفته شوند. همچنین، برای بهبود زمان اجرای مربوطه از $O(k^2)$ به $O(k)$ ، می‌توانیم به طور تصادفی k عنصر نمونه از f^2 برداریم یا تنها \sqrt{k} عنصر بالاتر از f را قبل از محاسبه f^2 برداریم. برای تعدیل مقادیر k ، همچون $k = 16$ الگوریتم f متعارف نسبت به این جایگزین‌ها سریعتر همگرا می‌شود.

به طور مشابه، enrichment معکوس، نزدیک‌ترین هم‌سایه پیشرو را برای ایجاد کاندیدهایی برای بهبود NNF پیمایش می‌کند. الگوریتم متعارف در اینجا f^{-1} است. پس بهتر است معکوس چند مقداری f^{-1} را محاسبه کنیم. به یاد داشته باشید که ممکن است f^{-1} مقادیر صفر داشته باشد اگر هیچ تکه‌ای به تکه الف اشاره نکند یا به مقداری بیشتر از k اشاره کند اگر تکه‌های متعددی به الف اشاره کنند. ما f^{-1} را با استفاده از لیستی از طول‌های متفاوت هر موقعیت ذخیره می‌کنیم. مجدداً، برای بهبود NNF فعلی، بهترین همسایگان k فعلی و همه‌ی همسایگان f^{-1} را با تولید NNF بهبود یافته f''

رتبه بندی می کنیم: $f'' = \min(f, f^{-1})$. همچنین توان های معکوس دیگر (f^2, f^3) و غیره قابل بررسی هستند. اما با بررسی های بیشتر مشخص شده است که f^{-1} متعارف سریعتر است. به خاطر داشته باشید که در اغلب موارد، تابع فاصله متقارن است، بنابراین فاصله های مسیر نیازی به محاسبه شدن برای f^{-1} ندارند. نهایتاً، می توانیم enrichment معکوس و پیشرو را به هم الحاق کنیم و در یافتیم که f^{-1} دنبال شده توسط f^2 در کلی سریع ترین است. عملکرد این الگوریتم ها در شکل ۲.۴ محاسبه شده است [4].



شکل ۲.۴ - مقایسه الگوریتم پشته با و بدون enrichment. الگوریتم پشته کندترین است و الگوریتم سریع تر از هر دو enrichment پیشرو و معکوس استفاده می کند. نمودار میانگین مجموعه داده ای از ۳۰ تصویر ۰,۲ مگاپیکسلی و پارامتر $k = 16$ همسایه را نشان می دهد.

در این حالت از تطابق تصاویر الف و ب، enrichment معکوس می تواند گاهی انجام شود. Enrichment پیشرو می تواند با محاسبه ی نگاشت های نزدیک ترین همسایه در هر دو جهت به کار بسته شود؛ این بررسی می تواند برای پژوهش های آتی در این حوزه ادامه داشته باشد.

دومین عمل جستجو را Binning می‌نامیم. این عمل می‌تواند به عنوان تحلیلی برای درج و صف بندی patches در درخت kd با ابعاد کم استفاده شود. هدف ما شناسایی دقیق نحوه نمایش patch نیست اما در عوض اندکی از اجزای گرادیان و رنگ اولیه را بدست می‌آوریم.

در این عملیات، اولاً برای هر تکه مشخص می‌کنیم که در کدام "بلوک" قرار می‌گیرد. این به عنوان یک پیش محاسبه انجام می‌شود. ما با کاهش ابعاد PCA نمایش patch برای هر تعداد خیلی کمی از k بعد، بلوک را شناسایی می‌کنیم. سپس هر یک از این k بعد را با تقسیم کردن به p قسمت با اندازه دلخواه مشخص می‌کنیم. بنابراین در کل p^k بلوک وجود دارند که یک شبکه چند بعدی یکنواخت ناسازگار شکل می‌دهد. ما معمولاً p و k کوچکی را انتخاب می‌کنیم پس تعداد کل بلوک‌ها در مرتبه‌ای از ده هزار قرار می‌گیرد همچون $p = 9$ و $k = 4$. همچنین PCA باید با دقت تخمین زده شود، به طوری که patch‌ها می‌توانند در هنگام محاسبه PCA به طور پراکنده نمونه برداری شوند. برای هر بلوک، ما برداری از همه ی مختصات patch‌هایی که در آن بلوک قرار گرفته اند لیست می‌کنیم^{۲۱}.

پس از این پیش محاسبات، الگوریتم PatchMatch را با عملیات جستجوی بلوک اضافه شده اجرا می‌کنیم. این عملیات نزدیک ترین همسایه داوطلب جدیدی با فاصله ی بالقوه کمتری را ارائه می‌دهد. این کار با انتخاب تکه‌ای تصادفی از بلوکی که تکه درخواستی فعلی در آن قرار گرفته انجام می‌شود.

در این محتوای مجموعه‌های تصویر بزرگ، binning به همگرایی با شانس بیشتری در دستیابی تصادفی به هدفی خوب کمک می‌کند. جستجوی تصادفی به تنهایی از تمام مجموعه به طور تصادفی نمونه برداری خواهد کرد و شانس پایینی در دستیابی به "هدف خوب" خواهد داشت، درحالی‌که Binning تکه‌های با تشابه بالا را هدف قرار می‌دهد. برای ۱۰۰ تصویر ورودی در شکل ۴.۴، Binning از الگوریتمی با یک فاکتور ۲-۴ برای مقادیر خطای برابر کمک می‌گیرد. بخش بعدی الگوریتمی کامل برای تطابق مجموعه‌های تصویر بزرگ را تشریح می‌کند که Binning و Enrichment و نیز مدیریت حافظه و الگوریتم‌های مقیاس پذیر را برای تعداد زیادی از تصاویر به کار می‌گیرد.

۴.۳ PatchWeb: تطابق در مجموعه‌های تصویر بزرگ

۲۰. دور ریزی

۲۱. در برخی برنامه‌ها، کاهش مصرف حافظه اهمیت زیادی دارد پس هر تکه n ام که در بلوک قرار می‌گیرد می‌تواند ذخیره شود

این بخش PatchWeb، الگوریتمی که PatchMatch را برای محدودیت های مکانی جستجو در مجموعه های تصویر بزرگ تطبیق می دهد، معرفی می کند.

۱,۳,۴ مقدمه

اخیرا، مجموعه های وسیعی از تصاویر دیجیتالی به صورت آنلاین منتشر می شوند و کاربران مجموعه های تصویر قابل تغییر اندازه می سازند. نهایتا، تعداد پروژه های پژوهشی متمرکز روی استفاده از مجموعه های تصویر به عنوان یک ورودی در حال افزایش است. نتایج، حذف اشیاء ناخواسته در تصاویر [50]، افزایش کیفیت تصاویر کم کیفیت [31]، افزایش تفکیک پذیری تصویر [46]، و سایر پژوهش های گرافیکی دیگر را نشان می دهند.

بسیاری از این روش ها باهم در یافتن تناظر میان تصویر درخواستی و مجموعه عظیم تصاویر موجود اشتراک دارند. در پژوهش های اخیر، برای دستیابی به زمان های اجرای عملی، ویژگی های محاسبه شده مترکم شده در هر پیکسل صرف نظر شدند. در عوض، الگوریتم ها تمایل به کاهش فضای جستجو، با کاهش میزان داده های ورودی به میزانی کمتر دارند. این با ویژگی های خلوت [82, 40]، ویژگی های جهانی که دیدگاهی کلی را توصیف می کنند [50]، یا سایر تکنیک های کاهش ابعاد انجام شده است. هرچند، این ویژگی های خلوت می توانند عملکرد الگوریتم را کاهش دهند.

نتایج پیچیده متعددی از میزان زیادی از داده ها به این الگوریتم ها وارد می شوند. اول، در برخی موارد همچون حذف اشیاء از تصاویر [50]، میلیون ها تصویر باید برای دستیابی به نتایج کیفیت بالا استفاده شوند بنابراین هر تکنیک جستجو باید قادر به مقیاس پذیری در میلیون ها تصویر باشد. دوم، برای الگوریتم هایی همچون افزایش وضوح تصویر [43]، بالاترین کیفیت ممکن است با در نظر گرفتن همه ی تناظرهای مترکم ممکن حاصل شود. برای یک تصویر درخواستی یک مگاپیکسلی و یک میلیون پایگاه داده تصویر، یک الگوریتم Brute force برای یافتن بهترین تناظر در هر پیکسل باید ۱۰۱۸ تناظر را تست کند، بنابراین زمان پردازش بالایی نیاز دارد. بخاطر این، پژوهش قبلی به طور هوشمندی، مجموعه ای از تطابق های ممکن را برای کاهش کیفیت نتایج محدود کرد. نهایتا، بسیاری از روش های موجود، ویژگی های مقیاس پذیری ضعیفی دارند که به موجب آن یافتن تناظرهای میان تصویر

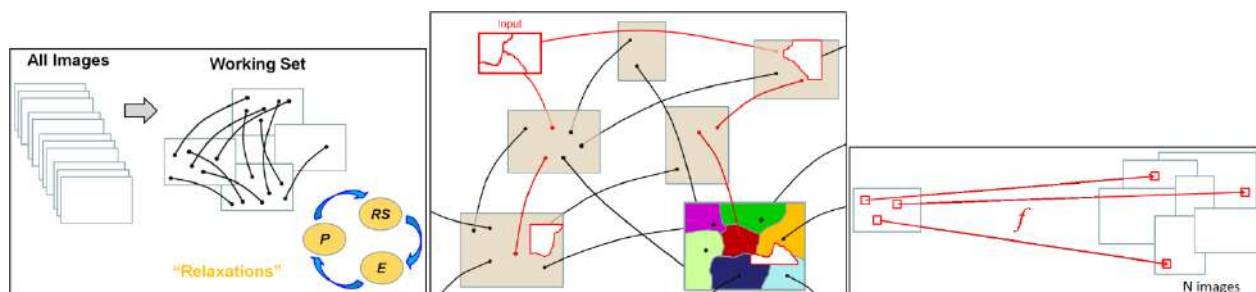
درخواستی و مجموعه‌ای از n تصویر، $O(n)$ زمان می‌گیرد. هرچه مجموعه داده‌ها سریعتر رشد کند، این مقیاس پذیری خطی هم نیازمند ویژگی‌های مطلوبی همچون تعامل پذیری کاربر می‌شود. ما الگوریتمی را تشریح میکنیم که برای غلبه بر تعدادی از این کاستی‌های موجود روش‌های جستجو غلبه می‌کند. الگوریتم تطابق‌های نزدیک‌ترین همسایه تقریبی در میان یک تصویر درخواستی و مجموعه تصویر بزرگ را می‌یابد. در این الگوریتم نخست با توجه به دانش ما در تلاش برای حل مسئله تطابق متراکم: برای یافتن بهترین تناظر(ها) در هر پیکسل، که به طور مستقل تمام مجموعه داده را تطبیق می‌دهد تلاش می‌کنیم. این برای تعداد زیادی از تصاویر مقیاس پذیر است یعنی می‌تواند روی یک کامپیوتر یا یک کلاستر با منابع حافظه و زمان محدود اجرا شود.

الگوریتم جستجو از الگوریتم PatchMatch برای یافتن تناظر میان $n = 2$ تصویر ورودی الهام گرفته است. این الگوریتم را "PatchWeb" می‌نامیم زیرا یک ساختار گرافی یا "وب" در میان تصاویر مجموعه می‌سازد. پس از فرایندهایی که برای تصاویر با اندازه n از مجموعه به صورت خطی زمان می‌برند، عملیات تقاضا می‌تواند به طرز کارایی با بازگرداندن تطابق نزدیکترین همسایه در میان تصویر درخواستی و مجموعه تصویر بزرگ اجرا شود. الگوریتم ما در شکل ۳.۴ نشان داده شده است.

به طور خاص، الگوریتم مسئله یافتن هر patch از تصویر درخواستی یا ناحیه A با یک مجموعه تصویر دلخواه B_1, B_2, \dots, B_n را حل می‌کند که نزدیک‌ترین مسیر در تمام مجموعه تصویر، تحت یک معیار فاصله patch همچون معیار L_p را می‌دهد.

الگوریتم ما با مرتب‌سازی هر تصویر B_i در مجموعه یک نگاشت (NNF) حوزه نزدیک‌ترین همسایه هر patch در B_i برای شبیه‌ترین patch در بقیه مجموعه تصویر کار می‌کند. ما از تکنیک‌های مشابهی همچون الگوریتم PatchMatch استفاده می‌کنیم: با شروع از یک تخمین ضعیف برای حوزه، ما

حوزه را با ارائه تناظرهای کاندید بهتر بهبود می‌دهیم. این کاندادهای بهتر با رشته‌ای از عملیات پیشنهاد شده‌اند. تناظرهای میان مجموعه تصویر B_i تا رسیدن به معیار همگرایی بهبود داده شدند.



(الف) مجموعه تصویر پرس و جو (ب) پیش پردازش ساختارهای داده‌های وب (ج) چگونگی ایجاد ساختار

شکل ۴.۳ - الگوریتم PatchWeb؛ (الف) عطف ما یافتن سریع تطابقهای نزدیک ترین همسایه در میان تصویر درخواستی و یک مجموعه تصویر است. (ب) برای اینکار ما روی مجموعه تصویر پیش محاسبه انجام دادیم و گرافی ساختیم که تطابقهای نزدیکترین همسایه در میان مجموعه را می‌دهد. این گراف وب است: نزدیک ترین همسایه که به هر patch یک همسایه در هر کجای وب را می‌دهد، ذخیره می‌کند. (ج) الگوریتمی برای ساخت وب. در سراسر مجموعه تصویر، ما به طور تصادفی یک مجموعه کاری انتخاب می‌کنیم و تسهیلاتی برای ایجاد پیوندهای نزدیکترین همسایه در میان مجموعه کاری با استفاده از عملگرهایی همچون نمونه گیری تصادفی، انتشار و enrichment انجام می‌دهیم.

در اغلب موارد، مجموعه تصویر B نمی‌تواند حافظه را پر کند. بنابراین، ما یک مجموعه کاری تعریف می‌کنیم، این، تصاویری است که می‌توانند خوانده شوند، تصاویری که از مجموعه‌ای از تصاویر در مجموعه تصاویر نمونه برداری شده‌اند. در یک کلاستر، هر پردازنده مجموعه کاری خودش را خواهد داشت. هر پردازنده تناظرهای بهبود یافته را در حد مطلوب ارائه می‌کند.

در اینجا الگوریتم کلی را relax می‌نامیم، زیرا با دادن مجموعه‌ای از تصاویر، تطابقهای نزدیکترین همسایه در میان آنها را به آرامی بهبود می‌بخشد. الگوریتم درخواستی به سادگی با افزودن تصویر درخواستی الف به مجموعه کاری و اجرای relax با NNFها برای مجموعه تصویر موجود در حالت فقط خواندنی کار می‌کند، به طوری که وب موجود پیوندی با تصویر درخواستی نخواهد داشت.

چون مسئله تطابق متراکم د شوار به نظر رسیده بود و هیچ پژوهش قبلی شناخته شده در این حوزه وجود نداشت، الگوریتم PatchWeb را با تعدادی الگوریتم رقیب همچون PatchMatch روی همه ی

جفت تصاویر مقایسه کردیم و ویژگی‌های مقیاس پذیری بهتری از خود نشان می‌دهد. ادعا نمی‌کنیم که الگوریتم در استفاده از حافظه و زمان بهینه است اما این اولین روشی است که مسئله تطابق متراکم را به صورت مقیاس پذیر حل می‌کند.

این بخش شامل الگوریتمی برای یافتن تناظرهای متراکم در میان میلیونها تصویر و ویژگی‌های مفیدی همچون تقاضای کارا و مقیاس پذیری برای کلاستر و نیز کار در زمان محدود و محدودیت‌های حافظه می‌شود.

۲,۳,۴ پژوهش‌های مرتبط

ما در ابتدا ساختارهای داده‌ای توزیع شده و توصیف گره‌های سطح پایین که معمولاً در تحلیل مجموعه‌های تصاویر استفاده شده اند بررسی می‌کنیم. سپس پژوهش قبلی که روی ابعاد برنامه‌های کاربردی بالقوه متنوع همچون تشخیص شی/منظره، رندر گیری مبتنی بر تصویر، افزایش تفکیک پذیری تصویر و مقایسه و اینکه این‌ها چه ارتباطی با الگوریتم پیشنهادی ما دارند بحث خواهیم کرد.

ساختارهای داده توزیع شده: مسئله تطابق متراکم به میزان حافظه خیلی زیادی نیاز خواهد داشت؛ برای موردی با یک میلیون تصویر یک مگابایتی، قبلاً یک میلیارد patch را در بر گرفتن که در این میان تناظرها باید یافت شوند که اینکار به محاسبات بی‌شتری نیاز دارد. بنابراین، فضای توزیع شده و محاسبات با هم تناسب دارند. دو ساختار داده توزیع شده، درخت‌های kd و LSH توزیع شده هستند. درخت kd توزیع شده به صورت جنگلی از درخت‌های kd کار می‌کند: هر گره محاسباتی یک بخش فرعی از درخت را اداره می‌کند به طوری که همه ی گره‌ها با هم یک درخت kd بزرگتر را نشان می‌دهند. مشکلات مقیاس پذیری و مهندسی برای استفاده از درخت kd هنوز وجود دارند زیرا اگر توصیف گره‌ها خیلی فشرده نباشند درخت ممکن است در حافظه جای نگیرد و بخش‌ها باید در دیسک به صورت سریال ذخیره شوند. در حالی که در اصل یک درخت توزیع شده با انتخاب سیستم‌های درست ممکن است با الگوریتم وارد رقابت شود، الگوریتم ما به سادگی پیاده سازی می‌شود و مقیاس‌ها به سادگی از یک کامپیوتر بدون نیاز به تغییرات معماری به کلاستر تغییر می‌یابند. LSH توزیع شده در یک شبکه نظیر به نظیر بدون ساختار، بلوک‌های Hash را به جفت‌هایی در یک شبکه اشتراکی -Chord style تخصیص می‌دهد. یک پیاده سازی مشابه از LSH می‌تواند روی یک کلاستر محاسباتی اجرا شود، هرچند همین نگرانی‌ها در مواجهه با مشکلات مهندسی و حافه اشغال شده توسط Hashها مطرح

می‌شود برای مثال، میلیاردها patch در تعداد کمی از پایگاه‌ها قرار گرفته باشند. در الگوریتم ما، ما از ایده‌ای مشابه LSH با نگاشت patchها در مجموعه بلوک‌های با ابعاد پایین استفاده می‌کنیم اما با انجام اینکار تنها برای مجموعه کاری فعال از مسئله حافظه اجتناب می‌شود.

توصیف گر‌ها و کلمات بصری: مقالات متعددی که روی تشخیص یا رندر گیری بر اساس تصویر کار می‌کنند نیاز به شناسایی منظره‌ها یا اشیاء با ظاهر مشابه دارند. برای توصیف مناظر، GIST یک توصیف گر معمولی است که طبقه بندی‌های کلی مناظر (کوه‌ها، درختان، خیابان‌ها و غیره) را با استفاده از یک توصیف گر طیف رنگ فشرده شناسایی می‌کند که ابعاد ادراکی را تشخیص می‌دهد. نمودار بعدی برای بهبود تشخیص منظره، دستیابی به نرخ‌های تشخیص و وضعیت نشان داده شده بود. برای توصیف اشیاء، اغلب ویژگی‌های SIFT با تراکم بالا محاسبه شدند یا با داشتن داده‌های خلوت، نقطه‌های مطلوب استفاده شده‌اند. برای تشخیص منظره یا شیء، اغلب کلمات بصری، و بسته‌ای از مدل کلمات ممکن است استفاده شوند که ویژگی‌های سطح پایین نمودارها همچون توصیف گرهای SIFT یا patchها را محاسبه می‌کنند.

تشخیص شیء/منظره: پژوهش‌های متعددی تشخیص در مجموعه‌های تصویر بزرگ را بررسی کردند. آنها شامل تشخیص مقیاس پذیر تعداد زیادی از تصاویر با استفاده از دیکشنری‌های مقداردهی شده از کلمات بصری یا درخت‌هایی از کلمات بصری می‌شوند. در پژوهش آینده، همانند این پژوهش، فشرده‌گی ساختار داده برای کارایی خیلی اهمیت دارد، بنابراین آنها patchهای تصویر فشرده را به صورت یک یا دو عدد صحیح با مسیری در میان یک درخت از پیش محاسبه شده نمایش می‌دهند. هرچند پژوهش ما از ویژگی‌های محاسبه شده مترکم استفاده می‌کند با این وجود داده‌ها باید در ساختار داده ما ذخیره شوند. استفاده از یک تصاویر رنگی ۳۲ در ۳۲ با ۸۰ میلیون تصویر و الگوریتم‌های هم‌ترازی جهانی ساده عملکرد تشخیص بالایی در مقایسه با ناحیه‌ای از تصویر در شناساگرهای مبتنی بر طبقه بندی نشان داده‌اند. چون عملکرد بالا تنها با تعداد زیادی از تصاویر به دست می‌آید، این ما را برای مقیاس پذیر کردن الگوریتم خود ترغیب می‌کند. نهایتاً، با ارتقای الگوریتم، نشان داده شده است که توصیف گرهای SIFT با نمونه گیری مترکم و یک الگوی طبقه بندی نزدیک ترین همسایه ساده می‌توانند عملکرد ناحیه خوبی برای طبقه بندی تصویر ارائه کنند.

تکمیل، گسترش و ویرایش تصویر: نشان داده شد که اشیاء نامطلوب بزرگ می‌توانند از عکس با استفاده از میلیون‌ها تصویر و توصیف گرهای GIST حذف شوند اگر یک تطابق "سطح منظره" هم

تراز شده در هر جایی از مجموعه داده وجود داشته باشد. با استفاده از تو صیف گره‌های جهانی ساده، حذف یک شی روی یک CPU یک ساعت طول می‌کشد یا در صورتی که با ۱۵ عدد CPU موازی سازی شده باشد، بسته به تعامل، ۵ دقیقه طول می‌کشد. زمانی که یک شی کوچکتر است یا به طرز نادرستی هم تراز شده باشد با استفاده درست از الگوریتم ما تطابق‌های محلی بیشتری به دست می‌آید. بازیابی تصاویری که به اشتباه ظاهر شدند با تطابق با یک مجموعه تصویر بزرگ با استفاده از کلمات بصری انجام می‌شود. به طور مشابه، رندر گیری گرافیک کامپیوتری می‌تواند در واقعیت گیرایی با استفاده از تعداد زیادی از عکس‌های واقعی گسترش یابد. سیستم Sketch2Photo به یک کاربر اجازه می‌دهد یک پیش‌طرح را به یک منظره عکاسی شده با بارگیری هزاران تصویر کاندید و با استفاده از ابتکاری برای اتصال آنها به هم تبدیل کند. این ۲۰ دقیقه یا بیشتر زمان می‌برد تا نتیجه نهایی را تولید کند. برای پژوهش آینده، ممکن است پیاده سازی الگوریتم خود را با زمان تعامل سریعتر کاربر در ترسیم به کار ببندیم.

رندر گیری مبتنی بر تصویر از مجموعه‌های تصویر بزرگ: گرد شگری تصویر [105] نشان داد که مجموعه‌ای از تصاویر پیرامون یک راهنمای گرد شگری به طور خودکار می‌تواند به یک مدل سه بعدی خلوت مبدل گردد. بعداً، بازسازی و تطابق مشابهی روی مقیاس بزرگی انجام می‌شود، بالای یک میلیون بازسازی خودکار تصویر از روم انجام شده است. پژوهش‌های نامحدود روی تصویر نشان می‌دهد که با جابجایی‌های یکپارچه دوربین مجازی، جابجایی به چپ/راست، جلو یا چرخش، می‌توان ۶ میلیون تصویر ساخت. در اینجا روی رندر گیری مبتنی بر تصویر کار تمرکز نمی‌کنیم اما تناظرهای کاندیدا می‌توانند از ساختار PatchWeb برای چنین بازسازی‌هایی گردآوری شوند.

افزایش تفکیک پذیری تصویر: وضوح یک تصویر با تفکیک پذیری پایین می‌تواند با مجموعه‌ای آزمایشی از تصاویر نمونه با تفکیک پذیری پایین و بخش‌های با تفکیک پذیری بالا از آنها و یافتن patch‌های مشابه با تفکیک پذیری پایین آنها افزایش یابد. در پژوهش قبل لازم بود که مجموعه آزمایشی از همان طبقه از تصویر باشد و تنها شامل ۶ عکس با تفکیک پذیری پایین می‌شد زیرا در غیر این صورت جستجوی نزدیک ترین همسایه متراکم کند می‌شد. امیدواریم این کار را بتوان با میلیون‌ها تصویر فرا تفکیک پذیر انجام داد و در صورت نیاز طبقه بندی تصویر را خودکار تشخیص دهیم. اخیراً، نشان داده شد که فراتفکیک پذیری تصویر می‌تواند در یک عکس با تطابق مقیاس‌ها انجام شود. با این وجود، تصور جزئیات تفکیک پذیری بالای محتمل می‌تواند با یک مجموعه تصویر مناسب انجام پذیرد،

افزایش تفکیک پذیری می‌تواند ۱۰ تا ۱۰۰ برابر بیان شود که در آن الگوریتم‌های فرا تفکیک پذیری سنتی شکست خواهند خورد.

نهایتاً، با استفاده از یک تصویر تنها، یا یک مجموعه از تصاویر، مقایسه تصویر می‌تواند با یافتن عناصر تکراری که مشابه به نظر می‌رسند و جابجایی آنها با یکی از عناصر تکراری انجام پذیرد. امیدواریم که برای اینها و سایر برنامه‌های کاربردی، وب‌های ما بتوانند در شناسایی نواحی تکراری حتی در مجموعه‌های تصویر بزرگ یاری کنند.

۳,۳,۴ الگوریتم PatchWeb

در این بخش، الگوریتم تطابق را توجیه خواهیم کرد (در شکل ۳.۴ نشان داده شد). به یاد آورید که مسئله یک تصویر درخواستی A و یک مجموعه تصویر B_1, B_2, \dots, B_n برای پاسخگویی به درخواستهای هر patch در A می‌دهد که patch نزدیک‌ترین همسایه در مجموعه B است. این کار را ابتدا با ساخت یک وب انجام می‌دهیم: یک گراف از نزدیک‌ترین همسایه‌ها در میان مجموعه تصاویر B از پیش محاسبه می‌کنیم. سپس تصویر A را در مقابل وب، با محاسبه نزدیک‌ترین همسایه‌هایی که تصویر A را به مجموعه B نگاشت می‌دهند، درخواست می‌کنیم. برای کارایی، همه ی تخمین‌های تطابق را انجام می‌دهیم و یادآوری می‌کنیم که بدون از دست رفتن هیچ توصیف‌گر نمونه‌گیری شده متراکم می‌تواند به جای patch استفاده شود. ما تابع فاصله کلی patch را به صورت D می‌نویسیم: بهترین تناظر برای یک پیکسل دلخواه آن است که این فاصله را کمینه می‌کند. برای نمونه بسته به برنامه، D ممکن است معیار L^2 بین patchها یا معیار L^2 بین ویژگی‌های SIFT مقایسه کند.

این الگوریتم از ایده‌های مشابهی همچون الگوریتم PatchMatch استفاده می‌کند که تطابق‌های نزدیک‌ترین همسایه متراکم در میان دو تصویر را محاسبه می‌کند. الگوریتم PatchMatch با ابتدا مقداردهی اولیه با تناظرهای تصادفی و سپس بهبود تناظرها با ارائه تناظرهای مخاطبین جدید، و سپس گرفتن تناظرهای مخاطب فعلی و جدید، سپس تکرار تا همگرایی کار می‌کند. در اینجا نیز رویکرد مشابهی می‌گیریم. تصاویر متعددی را تا جایی که بتوانیم در حافظه قرار می‌دهیم، تناظر خوبی میان تکه‌های این تصاویر می‌یابیم، سپس برخی از این تناظرها را روی دیسک ذخیره می‌کنیم و برخی تصاویر جدید که هنوز تناظر خوبی ندارند را در حافظه بارگذاری می‌کنیم. در سطح خیلی بالا، الگوریتم

ما می‌تواند در یافتن خودکار کلاسترهایی از خوشه‌های مشابه با یک فرایند تصادفی تکراری استفاده شود.

ما با هر تصویر B_i در مجموعه یک حوزه نزدیک ترین همسایه (NNF) کار کنیم که برای هر مختصات پیکسل، بهترین تطابق patch در باقی مانده مجموعه تصویر ذخیره می‌شود. به خصوص، NNF به صورت $f_i: \mathbb{R}^2 \mapsto \mathbb{R}^3$ تعریف شده است پس $f_i(x, y) = (x', y', j)$ ، که در آن (x, y) مختصات در تصویر B_i است و (x', y') نزدیک ترین همسایه در دیگر تصویر B_j است. ما همچنین فاصله تکه D_{patch} وابسته به این تناظر را ذخیره می‌کنیم. به یاد داشته باشید که D_{patch} باید ذخیره شود زیرا در مجموعه‌های تصویر بزرگ، تصویر هدف B_j ممکن است در حافظه نباشد. با دسته کردن مختصات هدف و فاصله تکه در یک عدد صحیح ۶۴ بیتی، می‌توانیم NNF را به صورت فشرده به صورت یک تصویر ۶۴ بیتی تک کاناله ذخیره کنیم. به هر کدام از مختصات x و y ، ۱۲ بیت، ۱۶ بیت برای نمایه تصویر و ۲۴ بیت برای فاصله patch، بیشینه تفکیک پذیری ۴۰۹۶ پیکسلی و بیشینه اندازه مجموعه داده تصاویر ۶۵ کیلو بایت می‌دهیم و در آینده تعداد بیت‌ها را برای آدرس دهی تصاویر بیشتر افزایش می‌دهیم. هر NNF را در کنار تصویر B_i آن روی دیسک ذخیره می‌کنیم و نیز NNF را برای کمینه سازی فضای ذخیره سازی و الزامات IO با ZIP فشرده می‌کنیم.

۴،۳،۴ ساخت وب با آرمیدگی^{۲۲}

در ابتدا وب B را با هر تصویر در بر گیرنده یک NNF نگاشت شونده به $(-1, -1, -1)$ ، با فاصله patch بی نهایت مقداردهی اولیه می‌کنیم. بنابراین مقدار بی نهایت، با هر تناظر پیشنهادی جایگزین می‌شود.

بعد، تناظرهای در وب را با آرمیدگی بهبود می‌دهیم. مکرراً یک مجموعه کاری از تصاویر مجموعه‌ای از تصاویر B را نمونه برداری می‌کنیم. اندازه مجموعه کاری را حداقل امکان طولانی می‌گیریم به طوری که

مجموعه کاری هنوز در حافظه اصلی جای شود و همه ی تصاویر در مجموعه کاری از دیسک بارگیری شده اند زیرا NNF های وابسته هستند.

همه ی مختصات (x, y) هر تصویر B_i در مجموعه کاری را برای تعداد تکرار m ، یا به ترتیب اسکن یا عکس آن حلقه اسکن میکنیم. در موقعیت پیکسل کنونی یک تناظر $f_i(x, y)$ ذخیره شده است. مجموعه ای از مختصات تناظر Z را پیشنهاد می کنیم که با استفاده از پنج عملگر مختلف ساخته شده است. به خصوص، این یک مجموعه است، بنابراین ما تکراری ها را ذخیره نمی کنیم و نیز هم موقعیت مرجع (x, y, i) و هم موقعیت پایانه (x', y', j) را ذخیره می کنیم. با مشاهدات تجربی، در یافتیم مجموعه پیش رو از عملگرها نسبت به هر زیر مجموعه دیگری: انتشار، جستجوی تصادفی، binning، enrichment و نمونه گیری یکنواخت، کارا تر است. چهار عملگر اول را در بخشهای اول نمایش دادیم. عملگر آخر، نمونه گیری یکنواخت، به طور ساده یک patch را به صورت یکنواخت تصادفاً از مجموعه کاری، به استثنای تصویر فعلی بر می دارد.

پس از اجرای این عملگرها، مجموعه ای از تناظرهای بهبود یافته ی کاندید داریم، هر یک از اینها در پیکسل فعلی مرجع و در یک تصویر دیگر هدف دارد. ما فاصله مرتبط با هر تناظر $(x, y, i) \rightarrow (x', y', j)$ را محاسبه می کنیم: اگر کمتر از فاصله فعلی ذخیره شده در NNF در موقعیت (x, y) است، آنگاه NNF را یا تناظر بهتری به روز می کنیم. به منظور دستیابی به مجموعه بهتری از تناظرها، برای هر تناظر، تناظر مکمل $(x, y, i) \rightarrow (x', y', j)$ را تست می کنیم و اگر کمتر از فاصله ذخیره شده در NNF در موقعیت هدف (x, y, i) باشد آن را نیز بروز می کنیم. این عملیات Enrichment معکوس است. سرانجام، پس از تعدادی تکرار روی مجموعه کاری فعلی، مجموعه کاری جدید را به روز می کنیم.

۵,۳,۴ انتخاب مجموعه کاری

گزینه های متعددی برای ساخت یک مجموعه کاری وجود دارد. ساده ترین استراتژی، نمونه گیری یکنواخت از مجموعه ای از تصاویر است. یک استراتژی پیشرفته تر، نگهداری کسر ثابتی از مجموعه کاری اصلی، نمونه گیری یک کسر ثابت جدید از تصاویر جدید به طور یکنواخت و نمونه گیری تصاویر باقی مانده براساس عملگر enrichment به کار برده شده در دو مجموعه اول از تصاویر انتخابی است. آزمایشات مقدماتی نشان می دهند که استراتژی دوم سریع تر همگرا می شود. فرض کنید که این

بخاطر کلاستر تصاویر در گروه‌های دارنده patch مرتبط است. برای کشف بیشتر در این مورد می‌توان بر روی پژوهش‌های آتی سرمایه گذاری کرد.

۶,۳,۴ موازی سازی

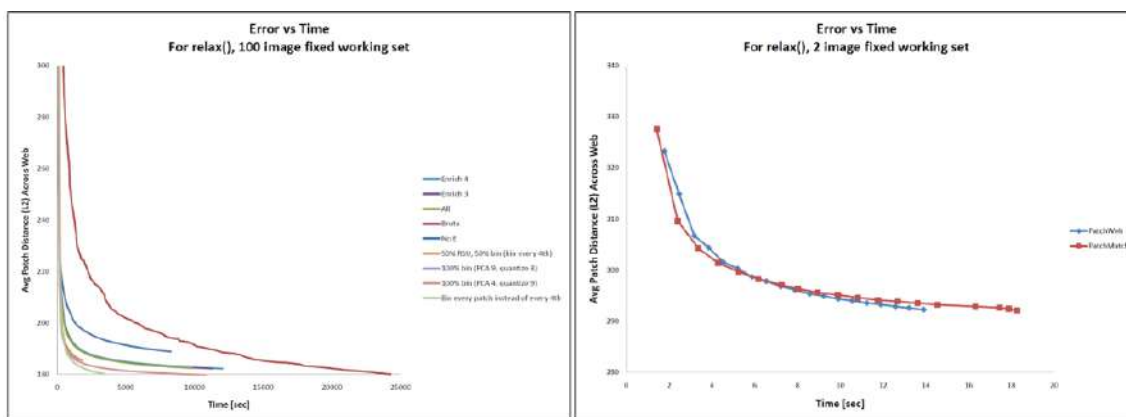
الگوریتم با هسته‌های متعدد یا گره‌های در یک کلاستر موازی سازی می‌شود. گره‌های محاسباتی متعدد حتی می‌توانند NNF مشابه را مستقلاً در مجموعه‌های کاری مختلف، در یک زمان بهبود ببخشند. تنها همگام سازی که نیاز به انجام آن داریم ذخیره NNF است کپی روی دیسک باید قفل شود و با NNF در حافظه با انتخاب نزدیک ترین همسایه با فاصله کمتر ترکیب شود.

۷,۳,۴ صف بندی یک وب با آرمیدگی

در این قسمت ما یک وب می‌سازیم. می‌توانیم دقیقاً همان الگوریتم آرمیدگی را برای درخواست وب استفاده کنیم. فرض کنید ما یک تصویر A داریم که در مقابل یک وب از تصاویر B_1, B_2, \dots, B_n را تقاضا می‌کنیم. به سادگی تصویر A را به مجموعه تصاویر خود می‌افزاییم و یک وب با ترکیب آنها می‌سازیم و برخی محدودیت‌ها نیز ایجاد می‌کنیم: اول، برای کارایی، تصویر A باید همیشه در هر مجموعه کاری، حتی روی ماشین‌های چند پردازنده انتخاب شده باشد یعنی NNF‌های متعددی وابسته به تصویر A وجود خواهند داشت.

به سادگی این NNF‌ها را با یافتن نزدیک ترین همسایه در میان همه ی پردازنده‌ها پس از انجام آرمیدگی کاهش می‌دهیم. دوم، برای اجتناب از خرابی وب موجود برای مجموعه تصویر B, NNF ‌ها را برای تصاویر B در حالت فقط خواندنی بارگذاری می‌کنیم. سوم، مجدد در مورد کارایی، کمکی در یافتن

پیوندهای بهتری میان تصاویر B نمی کند. بنابراین به جای ایجاد حلقه در سراسر مجموعه کاری به ترتیب اسکن و اسکن معکوس، به سادگی حلقه‌ای را در تصویر A رسیدن به همگرایی تکرار می‌کنیم.



(ب) $n = 100$

(الف) $n = 2$

شکل ۴. ۴ - عملکرد ساخت یک وب. مقایسه با PatchMatch در همه جفت تصاویر. سمت چپ تصاویر $n = 2$ است الگوریتم و PatchMatch عملکرد مشابهی دارند. سمت راست تصاویر $n = 100$ است، بهترین نسخه از الگوریتم پایین ترین خط است درحالی که بالاترین خط PatchMatch است. برای یک فاصله patch دلخواه، PatchMatch را با یک فاکتور ۸-۱۰ با موفقیت اجرا می‌کنیم.

۴،۳،۸ تحلیل همگرایی

ما تعداد تکرارهای مورد نیاز برای همگرایی را تشریح کردیم. در کل، تعداد تکرارهای مورد نیاز برای ساخت وب و درخواست وب می‌تواند متفاوت باشد و بسته به برنامه کاربردی دارد. برای ایجاد وب، در شکل ۴. ۴ عملکرد PatchWeb را در مقابل با الگوریتم strawman مقایسه کردیم: PatchMatch را روی همه ی جفت‌های ممکن از تصاویر اجرا کردیم و بهترین نزدیک ترین همسایه سرا سری را یافتیم. این یک مقایسه معقولانه است زیرا PatchMatch عملکردی ناحیه‌ای در یافتن تناظرهای میان دو تصویر دارد. عملکرد الگوریتم با افزایش تعداد تصاویر n افزایش می‌یابد زیرا الگوریتم PatchMatch اندازه $O(n^2)$ زمان می‌گیرد، در حالی که PatchWeb زمانی نزدیک به خطی می‌گیرد به هر حال دوره با عوامل تجربی همچون اندازه مجموعه کاری مشخص می‌شود. در یک بررسی الگوریتم را با PatchMatch برای مورد $n = 2$ مقایسه کردیم و یافتیم عملکرد الگوریتم با

PatchMatch قابل قیاس است. این یک حالت خاص است، چون از عملیات مشابهی، و نه enrichment یا نه binning برای کمک بیشتر برای تصاویر بیشتر استفاده می‌کنیم.

عملکرد الگوریتم به طور تجربه مشخص شده است. خوب است زیرا به ما اجازه می‌دهد تا الگوریتمی انعطاف پذیر داشته باشیم که به خوبی مقیاس پذیر است. اما آیا ما می‌توانیم عملکرد الگوریتم را محدود کنیم؟ یک ورودی ترکیبی را در نظر بگیرید که n تصویر دارد که دو تا از آن‌ها یکسان هستند، آن‌ها را تصاویر ۱ و ۲ می‌نامیم. یافتن هر کدام از آن‌ها چقدر زمان می‌برد؟ فرض کنید اندازه مجموعه کاری m است. بخاطر binning، اگر تصاویر در یک مجموعه کاری یکسان انتخاب شده باشند، با احتمال تقریباً ۱ می‌توانند یکدیگر را بیابند. فرض کنید برای سادگی، سیاست مجموعه کاری نمونه گیری تصادفی در انتخاب مجموعه کاری است. احتمال اینکه دو تصویر ما در یک مجموعه کاری باشند برابر است با:

$$p = \frac{\text{\#Subsets of containing 1,2}}{\text{\#subsets}} = \frac{\binom{n-2}{m-2}}{\binom{n}{m}} = \frac{m(m-1)}{n(n-1)} \approx \frac{m^2}{n^2} \quad (۱.۴)$$

این یک توزیع هندسی است بنابراین متوسط انتخاب m^2/n^2 از مجموعه‌های کاری قبل از اینکه تصاویر همگدیگر را بیابند نیاز است. هر مجموعه کاری به زمان $O(m)$ برای پردازش نیاز دارد بنابراین روی یک پردازنده تنها، زمان کلی n^2/m صرف می‌شود. بنابراین اگر بتوانیم اندازه مجموعه کاری m را افزایش دهیم n افزایش می‌یابد. چون حافظه خلوت داریم، الگوریتم زمان کلی $O(n)$ صرف می‌کند اما همین که حافظه پر می‌شود الگوریتم $O(n^2)$ زمان می‌گیرد. هرچند، در برنامه‌های متعدد، لازم نیست تا تطبیق دقیقی بیابیم، تنها یک تطبیق معقول با اندکی خطا کفایت می‌کند. همچنین در آینده، با کشف مسائل بیشتری در انتخاب مجموعه کاری، ممکن است قادر به بهبود عملکرد باشیم.

۹,۳,۴ برنامه‌های کاربردی

در حال حاضر برنامه‌ای برای PatchWeb، به غیر از آزمایشات مقدماتی با تکامل تصویر که تنها بخشی از آنها موفق بودند، پیاده سازی نشده است. دو چالشی که در تکامل تصویر با آنها مواجه شدیم آن است که (۱) الگوریتم‌های ترکیبی تمایل به افتادن در بهینه‌های محلی دارد، زیرا تقریباً هر patch ممکن در جایی در مجموعه داده نمایش داده شده با شد و (۲) تکه‌های ترکیب شده از منظره، معنایی درست، یا ویژگی‌های روشنائی درستی ندارند. برای برنامه‌های کاربردی، در پژوهش آینده ممکن است

فرا تفکیک پذیری، حذف نویز، طبقه بندی تصویر با توصیف گره‌های متراکم، گسترش تصاویر شخصی، نقاشی با اعداد، یا فشرده سازی تصاویر یا فیلم مطرح شود.

۱۰,۳,۴ خلاصه

به طور خلاصه، در این فصل ما انواع موازی الگوریتم PatchMatch و نیز PatchWeb را نمایش دادیم که به نگرانی‌های مقیاس پذیری در مجموعه‌های تصویر بزرگ اشاره کردیم. ما دو عملگر جستجوی اضافی معرفی کردیم: enrichment و bunning، که به فرایند جستجو، به ویژه در مجموعه‌های تصویر بزرگ کمک می‌کنند. همچنین برنامه‌های کاربردی بالقوه از PatchWeb پیشنهاد کردیم.

فصل پنجم

برنامه‌های کاربردی و ویرایش تصویر

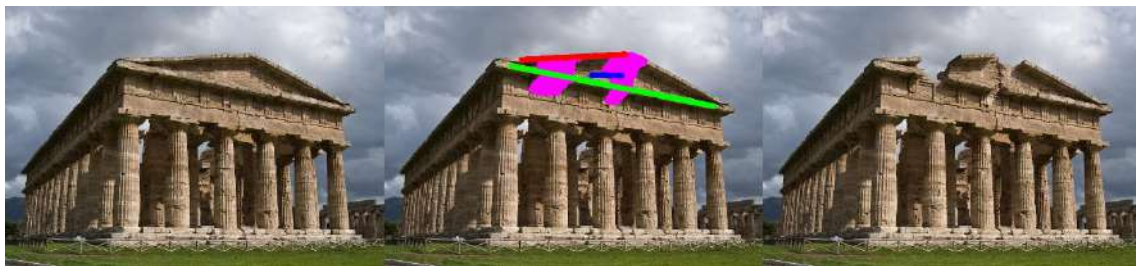
۵. ۱ مقدمه

هرچه عکاسی کامپیوتری و دیجیتالی گسترش می‌یابد، محققان روش‌هایی برای ویرایش سطح بالای فیلم و تصاویر دیجیتالی برای رسیدن به اهداف مطلوب توسعه می‌دهند. برای مثال، الگوریتم اخیر برای بازسازی تصویر، با تصاویر اجازه‌ی تغییر اندازه به نسبت ابعاد جدید می‌دهد؛ کامپیوتر به طور خودکار به تشابه خوبی از محتوای تصویر اصلی اما با ابعاد جدید تولید می‌کند. سایر الگوریتم‌های تکامل تصویر به کاربر اجازه می‌دهند به سادگی بخش ناخواسته‌ای از تصویر را پاک کنند و کامپیوتر به طور خودکار ناحیه را با تطابق‌هایی از باقی مانده تصویر پر می‌کند. الگوریتم‌های بُرزی تصویر، تسخیر ناحیه‌هایی از تصویر و حرکت آنها به اطراف را ممکن می‌سازند؛ کامپیوتر به طور خودکار باقی مانده تصویر را برای تشابه‌گیری با تصویر اصلی با توجه به نواحی حرکت یافته ترکیب می‌کند.

در همه‌ی این سناریوها، تعامل کاربر به دلایل متعددی اهمیت دارد: اول، این الگوریتم‌ها گاهی به دخالت کاربر برای رسیدن به نتایج بهتر نیاز دارند. الگوریتم‌های بازسازی تصویر، برای مثال، گاهی نظارت‌های کاربری برای تعیین یک یا چند ناحیه که باید بدون تغییر بمانند را نیاز دارند. با این وجود، بهترین الگوریتم‌های تکامل، ابزارهایی برای هدایت نتیجه با اشاره‌هایی به کامپیوتر پیشنهاد می‌کنند. این روش‌ها کنترل‌های اینچینی برای بهینه‌سازی مجموعه اهدافی که برای کاربر و نه کامپیوتر شناخته شده اند فراهم می‌آورند. دوم، کاربر اغلب نمی‌تواند این اهداف را به طور قیاسی تفصیل کند. این فرایندهای هنری ایجاد تصویر مطلوب، استفاده از آزمون و خطا را می‌طلبند زیرا کاربر در جستجوی نتیجه‌ای با توجه به معیارهای شخصی در ملاحظه تصویر است.

نقش تعامل در فرایند هنری بر دو ویژگی در قالب ویرایش تصویر ایده آل دلالت دارد: (۱) ابزارها باید انعطاف‌پذیری در انجام انواع وسیعی از عملیات ویرایش یکپارچه برای کاربران در کشف ایده‌های آنها فراهم آورد و (۲) عملکرد این ابزارها باید با اندازه کافی سریع باشد که کاربر به سرعت نتایج میانی را در فرایند آزمون و خطا ببیند. اغلب رویکردهای ویرایش سطح بالا تنها یکی از این معیارها را برآورده

می‌کنند. این روش‌ها براساس patch‌های نمونه برداری شده متراکم کوچک در مقیاس‌های چندگانه هستند و قادر به ترکیب هر دو ساختار تصویر الگویی و پیچیده هستند که از لحاظ کیفی مشابه تصویر ورودی هستند [1]. بخاطر توانایی آنها در نگهداری ساختارها، این طبقه بندی از تکنیک‌ها را ویرایش تصویر ساختاری می‌نامیم. متأسفانه، تاکنون این روش‌ها در معیار دوم شکست خورده اند - آنها در کاربردهای تعاملی به جز در تصاویر کوچک کند هستند.



(ج) حفره ترمیم شده

(ب) حفره‌ها و محدودیت‌ها

(الف) تصویر اصلی



(و) بُرزنی برای اصلاح تصویر



(ه) بازسازی با استفاده از محدودیت‌ها



(د) محدودیت‌های خطی کاربر

شکل ۵,۱ - ویرایش ساختاری تصویر، (الف) تصویر اصلی؛ (ب) یک حفره علامت زده شده و از محدودیت خطی (قرمز/سبز/آبی) برای پیوستگی خط سقف استفاده می‌کنیم. (ج) حفره ترمیم شده در تصویر. (د) محدودیت‌های خطی توسط کاربر برای بازسازی. (ه) بازسازی با استفاده از محدودیت‌ها به طور خودکار دو ستون را حذف می‌کند. (و) کاربر سقف بالایی را با بُرزنی انتقال می‌دهد.

۲.۵ پژوهش‌های مرتبط

روشهای نمونه گیری مبتنی بر تکه، ابزار معروفی در ترکیب فیلم و تصویر و تحلیل می‌شوند. برنامه‌ها شامل ترکیب الگو، تکمیل فیلم و تصویر، خلاصه سازی و بازسازی، ویرایش و ترکیب تصویر، اختلاط

تصویر، ترکیب نمای جدید، حذف نویز و غیره. ما سپس برخی از این برنامه‌ها را بررسی خواهیم کرد و درجه تعامل آنها را تشریح می‌کنیم.



(ب) تصویر خروجی



(الف) تصویر ورودی

شکل ۵. ۱ - نمونه‌ای از کاربرد تکمیل تصویر. (الف) تصویر ورودی اصلی؛ (ب) بخشی از تصویر توسط کاربر انتخاب شده است و در تصویر نهایی حذف شده است. نتیجه مطلوب خروجی به علت بافت‌های تکراری تصویر ورودی است.

تکمیل و ترکیب الگو: Leung و Efron [37] یک روش ترکیب الگوی غیر پارامتری ساده معرفی کردند که مدل قبلی را برا ساس نمونه‌گیری patchهایی از یک نمونه الگو و چسباندن آنها در تصویر ترکیب شده اجرا می‌کند. بهبودهای بیشتر، رویکردهای جستجو و نمونه‌گیری را برای نگهداری ساختاری بهتر تغییر می‌دهند. ترتیب پر کردن حریصانه این الگوریتم‌ها گاهی ناسازگاری‌هایی را در زمان تکمیل کردن حفره‌های بزرگ با ساختارهای پیچیده ایجاد می‌کند [3, 29, 35, 36, 65, 69]. اما Wexler و همکاران [119] مسئله تکامل را به عنوان یک بهینه‌سازی برای رسیدن به تکاملهای سازگار سراسری بیشتر در نواحی ازدست‌رفته بزرگ فرموله‌سازی کردند. این الگوریتم بهینه‌سازی چندمقیاسی تکرار شونده، مکرراً در جستجوی patchهای نزدیک‌ترین همسایه برای همه‌ی پیکسل‌ها به‌طور موازی است. گرچه پیاده‌سازی اصلی کند بود (یک دقیقه برای تصاویر کوچکتر از یک مگاپیکسل)، الگوریتم بررسی شده در اینجا، این تکنیک را برای تصاویر بزرگتر در نرخ‌های تعاملی عملی ساخت. رویکردهای مبتنی بر patch در حال حاضر در ترکیب الگو رایج شده‌اند. در این زمینه،

Lefebvre و Hoppe [67] از الگوهای بروز رسانی موازی مرتبط و حتی پیاده سازی‌های مبتنی بر GPU بلادرنگ استفاده کردند.

کنترل و تعامل پذیری: یکی از مزایای الگوهای نمونه گیری patch آن است که آنها تعامل زیادی با مقیاس خوب دارند. برای مثال، در ترکیب الگو، روش Ashikhmin [3] در سراسر فرایند با مقداردهی اولیه پیکسل‌های خروجی با رنگهای مطلوب کنترل را به کاربر می‌سپارد. قالب تحلیل تصویر Hertzmann و همکاران [52] از تصاویر مجاور به عنوان "لایه‌های هادی"، در ایجاد انواع تاثیرات شامل فرا تفکیک پذیری، انتقال الگو، فیلترهای هنری، و الگو با اعداد استفاده می‌کند. در حوزه تکمیل تصویر، نتایج پر کردن با تفسیر ساختارهایی که در درون و بیرون ناحیه از دست رفته قرار دارند نشان داده شدند. Fang و Hart [39] ابزاری برای تغییر شکل منحنی‌های ویژگی تصویر در هنگام نگهداری الگوها رونمایی کردند که تنظیمات بهتری نسبت به ابزارهای ویرایشی، و نه در نرخ‌های تعاملی فراهم می‌کند. Pavic و همکاران [87] یک سیستم تکمیل تعاملی مبتنی بر patch‌های بزرگ و چسباندن آنها رونمایی کردند. گرچه سیستم آنها تعاملی هر تکه انفرادی را می‌چسباند اما کاربر باید به طور دستی روی هر ناحیه تکامل کلیک کند پس فرایند کلی می‌تواند هنوز خسته کننده باشد.

باز سازی تصویر: روش‌های متعدد باز سازی تصویر، انحراف یا برش با استفاده از برخی معیارهای برجسته برای اجتناب از بد شکل شدن نواحی مهم تصویر را به کار می‌برند. حکاکی درز [5, 94] از یک رویکرد حریم‌ساز ساده برای اولویت بندی درزها در یک تصویر استفاده می‌کند که می‌تواند به درستی آنها را در بازسازی حذف نماید. گرچه حکاکی درز سریع است، اما ساختارها را به خوبی نگهداری نمی‌کند و تنها کنترل محدودی روی نتایج ارائه می‌کند. Simakov و همکاران [98] فریم بندی مسئله باز سازی تصویر و عکس به صورت بیشینه سازی شباهت‌های میان patch‌های کوچک در تصاویر خروجی و اصلی پیشنهاد کردند و یک تابع هدف مشابه و الگوریتم بهینه سازی مستقلاً توسط Wei و همکاران [118] به عنوان روشی برای ایجاد الگوهای خلاصه برای ترکیب سریع تر ارائه شده بود. متأسفانه، رویکرد Simakov و همکاران در مقایسه با حکاکی درز به شدت کند است. برنامه‌های بُرزی تصویر و باز سازی محدود شده ما تابع هدف و الگوریتم تکرار شونده مشابهی همپون Simakov و همکاران را با استفاده از الگوریتم نزدیک ترین همسایه برای دستیابی به سرعت‌های تعاملی به کار

گرفته اند. در همه ی این رویکردهای پیشین، روش اصولی کنترل کاربر قادر به تعریف و حفاظت نواحی مهم از اعوجاج است. در مقابل، سیستم معرفی شده محدودیت‌های کاربر محوره خاص را در فرآیند بازسازی برای حفاظت صریح از خطوط در برابر ترکیب یا شکستن، با محدود کردن نواحی تعریف شده توسط کاربر به تبدیلات مشخص همچون مقیاس پذیری یکنواخت و غیر یکنواخت و ثابت کردن خطوط یا اشیا به موقعیت خروجی مشخص، یکپارچه می‌کند.

بُرنزی تصویر یک نظم آرایه محتوا در تصویر براساس ورودی کاربر بدون دقت چندانی است. بُرزدن همزمان توسط Simakov و همکاران [98] و Cho و همکاران [25] رونمایی شده بود که از patch‌های تصویر بزرگتر و Belief Propagation در فرموله سازی MRF استفاده کردند. بُرزدن نیازمند کمینه سازی تابع خطای سراسری است. در مقابل در همه ی پژوهش‌های قبلی، روش بُرزدن ما کاملاً تعاملی است. چون این وظیفه ممکن است دشوار و محدود شده باشد، این الگوریتم‌ها همواره نتیجه مورد انتظار را تولید نمی‌کنند. بنابراین تعامل پذیری اهمیت دارد چون به کاربر اجازه می‌دهد برخی ساختارهای مهم را در مقابل بُرزدن حفاظت کند و با سرعت بهترین نتیجه را در میان جایگزین‌ها انتخاب کند.

۵.۳ ابزارهای ویرایش

در این بخش، برخی ابزارهای ویرایش تعاملی جدید که الگوریتم ایجاد می‌کند را تشریح می‌کنیم. اول، باید رویکرد ترکیب تشابه دو طرفه را دوباره مرور کنیم. این روش براساس یک اندازه گیری فاصله دو طرفه میان جفت‌های تصویر- تصویر (ورودی) مرجع S و یک تصویر هدف (خروجی) T است. اندازه گیری شامل دو عبارت می‌شود: (۱) عبارت تمامیت تضمین می‌کند که تصویر خروجی حداقل امکان شامل همان اطلاعات بصری ورودی باشد و بنابراین خلاصه مفیدی است. (۲) عبارت وابستگی تضمین می‌کند که خروجی به ورودی وابسته است و ساختارهای بصری جدید (مصنوع) در این فرمول هزینه ایجاد می‌کنند [1]. به طور رسمی، اندازه گیری فاصله به سادگی به صورت مجموع

میانگین فاصله همه ی patch ها در S با مشابه ترین patch ها به خود (نزدیک ترین همسایه) در T تعریف شده است و برعکس:

$$d_{BDS}(S, T) = \frac{d_{complete}(S, T)}{\frac{1}{N_S} \sum_{s \in S} \min_{t \in T} D(s, t)} + \frac{d_{cohere}(S, T)}{\frac{1}{N_T} \sum_{t \in T} \min_{s \in S} D(t, s)} \quad (1.5)$$

که در آن فاصله D ، SSD (مجموع مجذور اختلافات) مقادیر پیکسل patch در فضای رنگ $L^*a^*b^*$ است. برای بازسازی تصویر، ما به دنبال حلی برای تصویر T هستیم که d_{BDS} را تحت محدودیت هایی از ابعاد خروجی مطلوب کمینه می کند. یک تخمین اولیه برای تصویر خروجی، T_0 در نظر بگیرید این فاصله تعامل با یک الگوریتم شبیه EM کمینه شده است. در گام E از هر تکرار i ، مقادیر NN از S و T_i محاسبه شده اند و "انتخاب patch" برای تلفیق رنگ های پیکسل هر همسایه مشترک انجام شده است. در گام M ، همه ی "انتخاب" های رنگ برای تولید یک تصویر جدید T_{i+1} میانگین گرفته شده اند. برای اجتناب از گیر افتادن در کمینه محلی، یک فرایند "مقیاس گذاری تدریجی" به کار گرفته شده است: T به یک نسخه با تراکم پذیری پایین از S مقداردهی اولیه می شود و به تدریج با یک عامل کوچک، یا تعدادی تکرار EM پس از هر مقیاس گذاری تا رسیدن به ابعاد نهایی، تغییر اندازه می یابد. سپس، هر دو T و S برای تفکیک پذیری خوب تر به تدریج با تکرارهای EM بیشتر تا رسیدن به تفکیک پذیری خوب نهایی، نمونه برداری می شوند.

علاوه بر بازسازی تصویر، Simakov و همکاران [98] نشان دادند که این روش می تواند برای سایر وظایف ترکیب همچون اختلاط، بُر زنی، برش خودکار تصویر و تشابه در ویدئو استفاده شود. به علاوه، اگر یک ناحیه از دست رفته (یک "حفره") در یک تصویر به صورت T و بقیه تصویر به صورت S تعریف کنیم و تمامیت را حذف کنیم، با الگوریتم تکمیل ویدئو و تصویر [119] Wexler و همکاران، دقیقاً به هدف می رسیم. نگاشتهای وزنی مهم می توانند در هم ورودی (مثلاً برای تاکید بر یک ناحیه مهم) و هم در خروجی (مثلاً برای هدایت فرایند تکمیل در داخل مرزهای حفره) استفاده شوند.

الگوریتم NNF تصادفی داده شده در بخش ۳.۴ هیچ محدودیت صریحی روی انحرافات به جز در کمینه سازی فاصله patch قرار نمی دهد. هرچند، با تغییر جستجو به روش های مختلف، می توانیم محدودیت های محلی روی آن انحرافات برای ارائه کنترل بیشتر به کاربر در فرایند ترکیب معرفی کنیم.

برای بازسازی تصویر، می‌توانیم به سادگی ناحیه‌های پُراهمیت را برای شناسایی نواحی که هرگز نباید تغییر یابند یا غیر یکنواخت مقیاس گذاری شوند همانند پژوهش قبلی، پیاده سازی کنیم. هرچند، می‌توانی صریحا محدودیت‌هایی تعریف کنیم که با روش‌های قبلی پشتیبانی به خوبی پشتیبانی نشده اند همچون، خطوط مستقیمی که باید راست باقی بمانند یا اشائی که باید به موقعیت دیگری حرکت کنند در حالی که تصویر بازسازی شده است. الگوریتم می‌تواند اشیا را نسخه برداری (کپی و چسباندن) کند یا چیز دیگری تعریف کند که باید حفره حاصل را جابجا کند. اشیا می‌توانند به طور یکنواخت یا غیر یکنواخت (مانند برای "رشد" درختان یا ساختمان‌ها به صورت عمودی) در محتوای ویرایش تصویر ساختاری تغییر مقیاس یابند. همه ی اینها به طور طبیعی با علامت گذاری چند ضلعی‌ها و خطوط در تصویر انجام شده اند. یک جعبه مرزی ساده برای اشیا اغلب کفایت می‌کند.

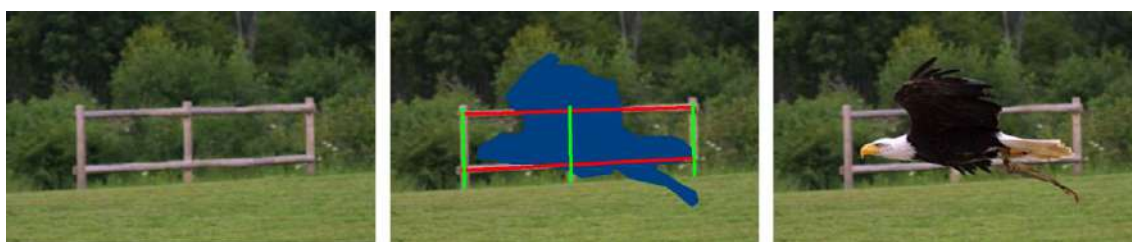
برخی از این ابزارهای ویرایش تصویر جدید هستند و بقیه قبلا در بخش‌های محدودی استفاده شدند. هرچند، ما باور داریم که مجموعه این ابزارها، در ارتباط با بازخورد تعاملی سیستم - قابلیت‌های ویرایش تصویر قدرتمند جدید و تجربه تعامل کاربری منحصر به فردی ایجاد می‌کنند.

۱,۳,۵ محدودیت‌های فضای جستجو

تکمیل تصویر نواحی از دست رفته بزرگ یک کار چالش برانگیز است. حتی اغلب روش‌های مبتنی بر بهینه سازی سراسری پیشرفته می‌توانند ناسازگاری‌هایی در جایی که محتوای ساختاریافته نشان داده نشده ایجاد کنند (مانند یک خط راست که از میان ناحیه از دست رفته می‌گذرد) به علاوه، در برخی موارد، مرزهای ناحیه از دست رفته، اندکی یا هیچ محدودیتی برای یک تکمیل تصویر محتمل فراهم می‌کند. Sun و همکاران [106] به رویکرد انتشار ساختاری هدایت شده ارائه کردند که در آن، کاربر منحنی‌هایی در بالای یال‌ها رسم می‌کند که از خارج از حفره شروع می‌شوند و جایی که باید از میان آنها بگذرد را تعریف می‌کنند. این روش ساختار را به خوبی در منحنی انتشار می‌دهد اما فرایند کلی هنوز

کند است (اغلب برای یک تصویر ۰,۵ مگاپیکسلی در حدود چند دقیقه) و گاهی مداخله دستی اضافی می‌طلبد.

در پژوهش ما، ما همان رویکرد تعامل کاربر را با اجازه دادن به کاربر برای رسم منحنی‌هایی در پیرامون ناحیه از دست رفته استفاده کردیم. منحنی‌ها می‌توانند برچسب‌های متفاوتی (با استفاده از رنگ‌های متفاوت نشان داده شد) برای مشخص کردن انتشار ساختارهای مختلف داشته باشد.



(ج) نتیجه تکمیل تصویر

(ب) حفره و محدودیت‌های کاربر

(الف) تصویر ورودی



(و) تکمیل تصویر

(ه) حفره

(د) تصویر ورودی

شکل ۳.۵ - مثال‌هایی از تکمیل تصویر هدایت شده. (الف) پرنده از ورودی حذف شده است. (ب) کاربر ناحیه تکمیل را علامتگذاری می‌کند و محدودیت‌های جستجو را برچسب می‌زند. (ج) تولید خروجی در چند ثانیه. (د) گلها از ورودی حذف شده‌اند. (ه) کاربر محدوده را مشخص می‌کند. (و) تولید خروجی

هرچند برخلاف Sun و همکاران، که فرایندهای تکمیل مجزایی را برای منحنی‌ها و نواحی الگو شده به کار می‌برند، سیستم ما هر دو را در قالب یکپارچه یکسانی ترکیب می‌کند. این با محدود کردن فضای جستجو برای پیکسل‌های برچسب زده شده درون ناحیه حفره تا نواحی بیرون حفره با همان برچسب‌ها انجام شده است. (متناقضا، آوردن این محدودیت‌های اضافی به ویژگی‌های همگرایی ایجاد شده با محدود کردن فضای جستجو هم راستایی دارند). شکل ۱.۵ تاثیر این محدودیت‌های فضای جستجو

برای تکمیل تصویر را نشان می‌دهد. علاوه بر ساختارهای یال و منحنی، ابزار یکسانی می‌تواند برای شناسایی محتوای مشخصی در برخی بخش‌های حفره استفاده شود. این نوع از تعامل شبیه به رویکرد "بافت با اعداد" [52] در هنگام به کارگیری تکمیل تصویر است. ما مثال‌هایی از این موارد را در شکل‌های ۱.۵ و ۳.۵ نشان داده‌ایم.

۲,۳,۵ محدودیت‌های تغییر شکل

تعدادی از روش‌های بازسازی اخیر به کاربر اجازه‌ی علامت‌گذاری نواحی مهم از نظر معنایی برای استفاده از سایر سرنخ‌های شناخته شده به صورت خودکار می‌دهد (مثلاً، یالها، چهره‌ها، نواحی برجسته). یک سرنخ مهم که در روش‌های قبلی چشم پوشی شد خطوط و اشیای با یالهای مستقیم هستند که در تصاویر منظره‌های ساخته شده به دست بشر (تصاویر درون خانه، ساختمان‌ها، جاده‌ها) و در منظره‌های طبیعی (تنه‌ی درخت و خطوط افق) رایج هستند. بنابراین نگه داشتن چنین خطوطی برای تولید خروجی‌های محتمل اهمیت دارد. هرچند علامتگذاری یک خط به عنوان یک ناحیه مهم در تکنیک‌های موجود معمولاً خط را در تصویر خروجی نمایان می‌سازد اما تضمین نمی‌کند که خط خمیده یا شکسته نشود (شکل ۱۰.۵ را ببینید). علاوه بر آن ما اهمیت نمی‌دهیم که آیا خط در خروجی کوتاه تر یا بلند تر می‌شود یا چقدر راست باقی می‌ماند. مثال‌های اضافی از محدودیت‌های خط راست در شکل‌های ۴-۵ و ۵-۵ نشان داده شده است.

محدودیت‌های مدل: برای اینکار، ما فرموله سازی BDS از یک بهینه سازی آزاد برای یک مسئله بهینه سازی محدود شده را با محدود کردن بعد موقعیت نزدیک ترین همسایه ممکن در خروجی زیرمجموعه مشخصی از نقاط ورودی گسترش می‌دهیم. با پیروی از معادله (۱۰.۵)، فرض کنید به همه S پیکسل‌های متعلق به ناحیه (یا خط) L_k در تصویر ورودی S اشاره می‌کند و فرض کنید $\{q_j\} \in T | NN(q_j) \in L_k$ به همه q_j در خروجی T که نزدیک ترین همسایه در ناحیه L_k

قرار دارد اشاره می‌کند (نشانه گذاری‌های شکل ۵-۶ را ببینید). سپس حاصل معادله هدف (۵.۱) می‌شود:

$$\operatorname{argmin} d_{BDS} \quad s.t. \quad \mathcal{M}_k(p_i, NN(p_i), q_j, NN(q_j)) = 0 \quad (۵.۲)$$

که در آن ما مدل k به صورت $\mathcal{M}_k (k \in 1 \dots K)$ را برای تصدیق داریم. معنی $\mathcal{M}_k () = 0$ به صورت مقابل است: در مورد خطوط، تصدیق یک مدل یعنی که ضرب نقطه‌ای خط سه برداری (l, l) در مختصات همگن) و همه ی نقاط تصویر خروجی باید صفر باشند برای مثال: $NN(p_i)^T l = 0$. در مورد نواحی، در اینجا به تبدیلات همگن دو بعدی (H) محدود می‌شویم و بنابراین تصدیق مدل یعنی که فاصله ی همه ی نقاط و نقاط NN متناظر در تصویر خروجی باید صفر باشد، برای مثال:

$$H_{kP_i} - NN(p_i) = 0$$

اکنون این سوال باقی می‌ماند که بهتر است چطور این محدودیت‌های را روی راه حل اعمال کنیم. مشاهده کردیم که در طی فرایند (مقیاس گذاری تدریجی) خطوط و نواحی تنها با وجود کمبود فضا بد شکل می‌شدند. این به ما فرصتی می‌دهد تا این بد شکلی‌ها را با تنظیمات کوچکی پس از هر تکرار EM تصحیح کنیم.



شکل ۵. ۴ - محدودیت‌های مدل. (الف) تصویر اصلی (ب) بدون محدودیت، با ایجاد مرزهای شکسته بازسازی شده است. (ج) زمانیکه محدودیت‌های نشان داده شده به صورت خطوط رنگی اضافه شده اند، مرزها راست باقی مانده اند.

بنابراین، به منظور تصدیق محدودیت‌های بیشتر، ما یک الگوی تصحیح تعاملی با استفاده از روش تخمین قوی RANSAC [41] پس از هر تکرار به کار می‌بریم. فرض می‌کنیم که در هر تکرار اغلب

موقعیت‌های $NN(p_i)$ و نیز q_j تقریباً مدل مطلوب را تصدیق می‌کنند و این مدل را با دور ریختن نقاط غیر مقید انجام می‌دهیم. مدل تخمینی برای افکندن نقاط خروجی در روی $\widehat{NN}(p_i)$ و \widehat{q}_j و تصحیح اساسی حوزه‌های NN استفاده شده است. برای نواحی، نقاط غیر مقید صحیح هستند اما ما نتایج بهتری برای خطوط با خارج کردن نقاط غیر مقید از فرایند انتخاب به دست می‌آید.

ما مدل‌های زیر را برای بازسازی محدود شده و کاربردهای بُر زنی سودمند یافتیم: خطوط آزاد، با نقاط خروجی محدود شده به خطی راست با شیب و انتقال نامحدود (شکل ۵.۵ را ببینید)؛ خطوط با شیب ثابت، با شیبی یکسان با ورودی، اما انتقال آزاد (شکل ۵.۴ را ببینید)؛ خطوط با موقعیت ثابت، با شیب ثابت و انتقال توسط کاربر، برای آنکه هیچ مدلی برای تخمین وجود ندارد اما نقاط هنوز روی خطی که طول آن تغییر می‌کند قرار گرفته اند (شکل ۵.۱۱ را ببینید که خط آب با یک خط محدود به پایین کشیده شده بود)؛ انتقال نواحی، با انتقال آزاد اما مقیاس ثابت (شکل ۵.۱۰ را ببینید که ماشین و پل به عنوان ناحیه انتقال علامت زده شدند)؛ و نواحی تغییر مقیاس یافته، با مقیاس یکنواخت تعریف شده توسط کاربر و انتقال آزاد (شکل ۵.۵ را ببینید).

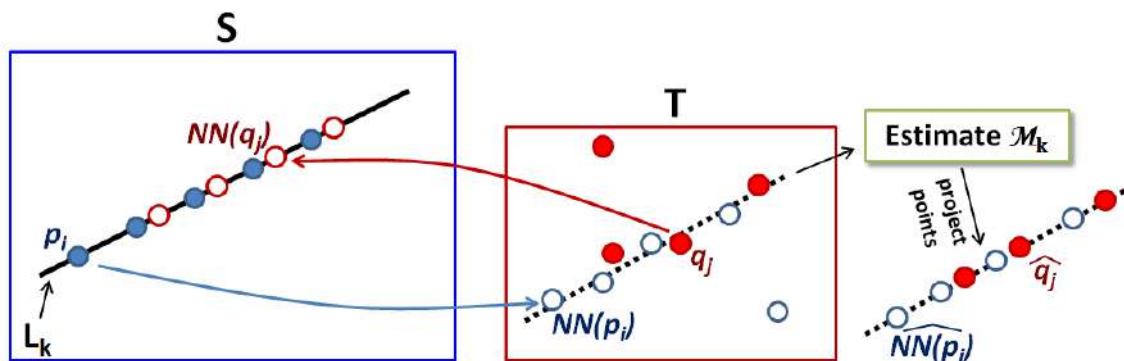
محدودیت‌های سخت: محدودیت‌های مدل تشریح شده در بخش قبلی معمولاً در نگهداری خطوط و نواحی استفاده شده اند. هرچند، در موارد دشوار، با عوامل مقیاسی بزرگ - یا هنگامی که

محدودیت‌هایی میان محدودیت‌های مختلف وجود دارند - آنها نمی‌توانند به طور خودکار به خوبی تصدیق شوند.



شکل ۵.۵ - محدودیت‌های مقیاس پذیر یکنواخت و خطوط آزاد. (الف) تصویر اصلی (ب) بدون هیچ محدودیتی بازسازی شده است. (ج) محدودیت‌ها با خطوط رنگی، خطوط راستی را ایجاد می‌کنند و دایره برای پُر کردن فضای محدود شده کاهش مقیاس یافته است.

در موارد دیگر، همچون در بُرزدن تصویر، کاربر ممکن است بخواهد موقعیتی از یک ناحیه در خروجی به عنوان محدودیت سخت در بهینه سازی تعریف کند. این می‌تواند در قالب ما، با ثابت کردن حوزه‌های NN نقاط ناحیه معادل برای انحرافات مطلوب براساس محدودیت‌های سخت انجام شود.

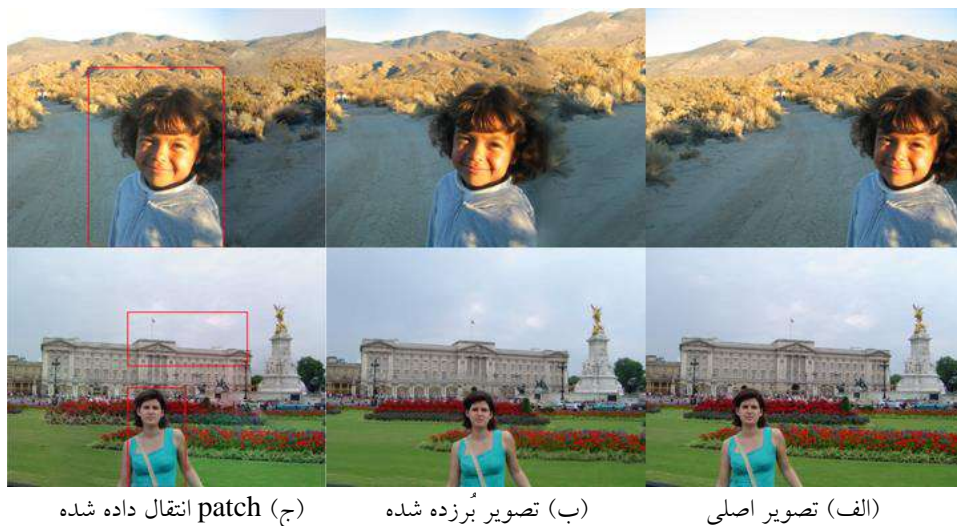


شکل ۶.۵ - محدودیت‌های مدل. L_k یک خط راست در تصویر مرجع S است. برای نقطه p_i روی L_k ، نزدیکترین همسایه در T ، $NN(p_i)$ است. یک نقطه q_j در T نزدیکترین همسایه $NN(q_j)$ دارد که روی L_k قرار می‌گیرد. همه ی نقاط به شکل $NN(p_i)$ و $NN(q_j)$ گردآوری شده است و بهترین خط \mathcal{M}_k در T محاسبه شده است. سپس نقاط را در خط تخمینی قرار داده‌ایم.

پس از هر تکرار EM ما به سادگی انحرافات را برای موقعیت خروجی تصحیح کردیم، به طوری که سایر نواحی پیرامون اشیاء به طور تدریجی خودشان را با این نواحی محدود شده هم تراز کردند. برای یک شی که از موقعیت خروجی اصلی خود جابجا می‌شود، سه گزینه ابتکاری برای کاربر در تشخیص مقدار اولیه محتوای حفره قبل از شروع بهینه سازی ارائه می‌کنیم: تعویض، که در آن سیستم به سادگی پیکسل‌های میان موقعیت‌های قبلی و جدید را تعویض می‌کند؛ درون‌یابی، که در آن سیستم با آرامی حفره‌های مرزها را درون‌یابی می‌کند (همانند پژوهش Wexler و همکاران [119])؛ نسخه برداری، که در آن سیستم به سادگی شی را در موقعیت اصلی آن نسخه برداری می‌کند. برای انتقالات کوچک، همه ی اینها خروجی‌های مشابهی تولید می‌کنند اما برای اشیاء بزرگ و حرکت بزرگ، این گزینه‌ها منجر به نتایج کاملاً متفاوتی می‌شوند (شکل ۱۱.۵ را ببینید).

مقیاس‌گذاری ساختاری محلی: یک ابزار نشان داده شده در شکل ۸.۵ به کاربر اجازه می‌دهد یک شی را علامت بزند و آن را در هنگام نگهداری ساختاری و الگوش تغییر مقیاس دهد (برخلاف مقیاس

گذاری منظم). ما این کار را با مقیاس پذیری تدریجی شسی و اجرای اندکی تکرار EM پس از هر تغییر مقیاس در تفکیک پذیری سخت، همانند فرایند بازسازی سراسری انجام می دهیم.



شکل ۷.۵ - مثال هایی از بُر زدن. تصاویر ورودی نشان داده شده اند. کاربر یک ناحیه سخت برای حرکت مشخص می کند و الگوریتم پس زمینه را به روشی سازگاز تکمیل می کند. اینکار نتایج انتقال patch است که اجرای آن چند دقیقه طول می کشد ولی الگوریتم آن را به صورت تعاملی اجرا می کند.



شکل ۸.۵ - مثال هایی از ابزار مقیاس گذاری محلی. در هر دو مثال، کاربر یک چند ضلعی مرجع مشخص می کند و سپس یک مقیاس گذاری غیر یکپارچه به چند ضلعی، با حفظ الگو اعمال می کند.

تغییرات کوچک جهت گیری و مقیاس در برخی مدل‌های دگرذیسی (مثلا خطوط آزاد و نواحی تغییر مقیاس یافته) می‌تواند با تنظیم ساده موقعیت‌های patch‌های موجود انجام شود. برای تغییرات مقیاس و زاویه بزرگ که ممکن است نیازمند عوامل بازسازی پیچیده باشد، ممکن است patch‌ها را چرخش/تغییر مقیاس نیز دهیم. در هر یک از موارد بالا، ما از یک نسخه وزنی از معادله (۱.۵) استفاده می‌کنیم و وزن patch‌هایی که در خطوط و نواحی مهم قرار دارند تا ۲۰٪ افزایش می‌دهیم. همچنین یادآوری می‌کنیم که سطوح خوب تر از روی هم انباشتن، تخمین‌های اولیه بهتری هم دارند و بنابراین، مسئله جستجو

ساده تر است و تکرارهای EM کمتری نیاز است، و در سطوح خوب تر از تعدادی از تکرارهای EM استفاده می‌کنیم که خطی بودن را کاهش می‌دهد.



شکل ۹.۵ - بازسازی. (الف) تصویر ورودی، (ب) Rubinstein و همکاران، (ج) Wang و همکاران، (د) محدودیت‌های - کاربر برای الگوریتم PatchMatch، (ه) نتیجه الگوریتم PatchMatch



شکل ۱۰.۵ - بازسازی. (الف) تصویر ورودی با محدودیت‌ها، (ب) Rubinstein و همکاران، (ج) نتیجه الگوریتم بازسازی

برای سطوح آخر لایه‌ها روی هم رفته، تطابق سراسری کمتر ضرورت دارد بنابراین می‌فهمیم که کاهش شعاع جستجوی تصادفی به $w = 1$ چندان کیفیت را تحت تاثیر قرار نمی‌دهد.

۵. ۴ نتایج، تشریح و پژوهش آینده

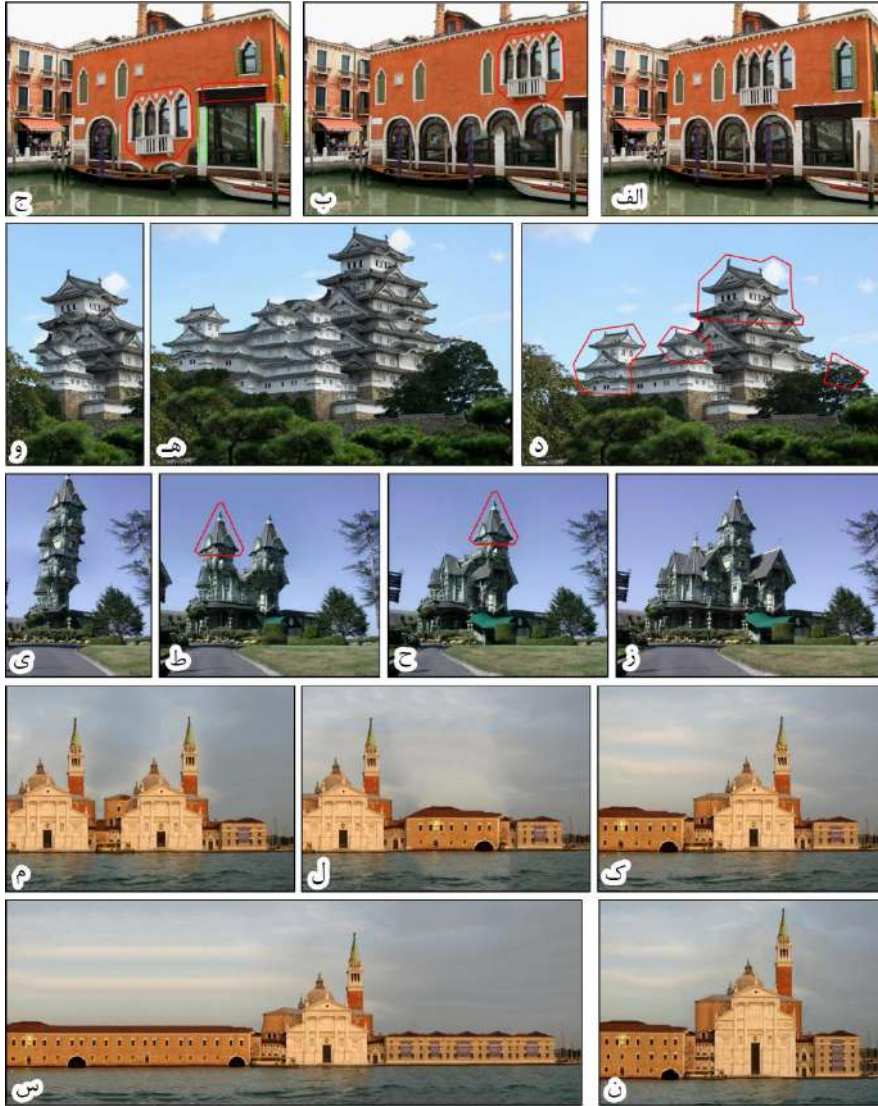
همانطور که تشریح کردیم، قالب نزدیک ترین همسایه ما می‌تواند برای بازسازی، تکمیل حفره، و بُرزدن محتوای تصویر استفاده شود. ما عملکرد و کیفیت سایر روشهای رقیب در این حوزه را مقایسه کردیم.

شکل‌های ۹.۵ و ۱۰.۵ تفاوت‌های میان نتایج روش ما و نتایج Rubinstein و همکاران و Wang و همکاران را نشان می‌دهند. در شکل ۹.۵ هر دو روش بازسازی موجود شکل یک کودک را در عکس تغییر می‌دهند با این حال، سیستم ما به ما اجازه می‌دهد به سادگی تصویر یک کودک را بُر بزیم بنابراین دستیابی به پس زمینه و فضای بیشتر برای بازسازی به طور خودکار به یک روش محتمل بازسازی شده است. در شکل ۱۰.۵، می‌بینیم که "حکاکی حفره" اعوجاج‌های هندسی غیر قابل اجتنابی در خطوط راست ایجاد می‌کند و عناصر تکرار شونده را مقایسه می‌کند. در مقابل، روش ما به ما اجازه می‌دهد خطوط منظره را نگه داریم و عناصر تکرار شونده را حذف کنیم.

با ایجاد نواحی ماسک، کاربران می‌توانند به صورت تعاملی حفره‌ها را پر کنند. برای مثال، در شکل ۵.۱، ما از سیستم خود برای انجام برخی اعمال روی تصویر معبد استفاده کرده‌ایم. ابزارهای بُر زنی ما ممکن است برای تغییر سریع ابعاد معماری و طرح‌ها همانطور که در شکل ۱۱.۵ نشان داده شد استفاده شوند. ساختمان‌های قابل قبول از نظر بصری - گرچه فانتزی است - می‌توانند به سادگی با الگوریتم ساخته شوند زیرا معماری معمولاً از الگوهای تکرار شونده استفاده می‌کند. بُرزدن می‌تواند همچنین برای حرکت افراد یا اشیاء ارگانیک روی پس زمینه‌ها همانطور که در شکل ۷.۵ نشان داده شد استفاده شود. هرچند، در برخی موارد محدودیت‌های خطی برای ثابت نگه داشتن هر عنصر خطی در پس زمینه که با پیش زمینه اشتراک دارد همانطور که در شکل ۹.۵ که در آن محدودیت خطی برای ایجاد سایه روی ماسه استفاده شده است نشان داده شد مورد نیاز هستند.

با همه‌ی رویکردهای ترکیب تصویر، الگوریتم ما برخی شکست‌های موردی هم دارد. برجسته‌ترین آنها، برای ورودی‌های آسیب دیده همانند مورد آزمایش ترکیب در بخش ۳.۸ است که ویژگی‌های همگرایی ضعیفی داریم. به علاوه، ویرایش‌های پیچیده یک تصویر می‌توانند گاهی نتیجه "سایه اندازی"

یا "ماتی" ایجاد کند که در آن الگوریتم به سادگی نمی تواند یک حوزه کمینه محلی بزرگ را از آ سیب حفظ کند.



شکل ۵. ۱۱ - تغییر معماری با بُر زدن (الف-ج) موقعیت پنجره برای یک (الف) ورودی تصویر به (ج) راست یا (د) به پایین ترین طبقه از ساختمان حرکت کرده است. (د-و) محدودیت‌های سخت روی یک ساختمان برای ایجاد اصلاحات مختلف استفاده شدند. (ز) خانه دیگر و (ح-ی) ترکیباتی از بازسازی و بُر زدن، انواع مختلفی از مدل سازی مجدد ایجاد میکنند. (م-ک) ساختمان‌های (ک) تصویر ورودی (ل) به طور افقی (م) نسخه برداری شده اند، (د) به طور عمودی کشیده شده اند و (س) گسترش یافته اند. هرچند، اشاره کردیم که سرعت الگوریتم، تعریف محدودیت‌های اضافی را ممکن می سازد یا به سادگی الگوریتم را با ورودی تصادفی برای دستیابی به راه حل‌های مختلف از نو اجرا می کند. گرچه

چنین آزمون‌های تکراری می‌توانند هزینه سنگینی با الگوریتمی آهسته تر ایجاد کنند در آزمایشات ما، از چنین اکتشافات فضایی از دستکاری تصویر خلاقانه لذت بردیم.

در میان و سعت هیجان انگیزی از پژوهش‌های آینده در این حوزه، ما برخی از مهمترین‌ها را در اینجا برجسته می‌کنیم:

توسعه الگوریتم تطابق: ممکن است کسی از استراتژی k -وابستگی [109] با الگوریتم بهره‌بردار. در کل، همانطور که در فصل ۲ تشریح کردیم، دریافتیم که الگوریتم نمونه برداری تصادفی بهینه تابعی از ورودی‌ها است. با کشف این سبک و سنگین‌ها و بررسی‌های بیشتر پیاده‌سازی‌های GPU، دستیابی به سرعت بیشتر با رونمایی برنامه‌های جدید پردازش فیلم و تصویر بلادرنگ ممکن می‌شود.

سایر برنامه‌های کاربردی: گرچه ما در این فصل روی دستکاری تصویر خلاقانه تمرکز داریم به پیاده‌سازی تکمیل، بازسازی و بُرزدن فیلم هم چشم داریم. Fitzgibbon و همکاران [42] نتایج جدیدی برای ترکیب منظره جدید با استفاده از روابط نمونه برداری patch و روابط هندسی به دست آوردند. جستجوی نزدیک ترین همسایه patch برای راه حل‌های مبتنی بر یادگیری سودمند نشان داده شده بود. ما همچنین فرض کردیم که با کار در حوزه مناسب، به کار بردن تکنیک‌های گفته شده در انجام بازسازی، پرکردن حفره و بُرزدن در هند سه سه بعدی یا حرکت چهار بعدی با دنباله‌های شبیه سازی حجمی می‌تواند ممکن شود. نهایتاً، گرچه بهینه سازی که انجام شده است هیچ رابطه همسایگی صریحی برای جلوگیری از انحرافات غیر پیوسته ندارد، ما باور داریم سرعت آن ممکن است به عنوان کامپوننتی در سیستم‌های تصویری نیازمند سرعت، تخمین‌های مترکم تناظر تصویر همچون ردیابی شی سودمند باشد.

خلاصه، ما الگوریتم تطابق سریع جدید خود را برای انواع گسترده‌ای از رویکردهای بهینه سازی مبتنی بر patch به کار بستیم، به طوری که ترکیب تصویر می‌تواند اکنون در رابط تعاملی بلادرنگ به کار رود. به علاوه، سادگی الگوریتم، تعریف متنوعی از کنترل‌های معنایی سطح بالا با کاربرانی که می‌توانند ذاتاً بهینه سازی را با محدود سازی فرآیند جستجوی نزدیک ترین همسایه جهت دهند را ممکن می‌سازد. ما باور داریم نمایه‌هایی از انواع کنترل‌های تعاملی ایجاد کردیم که با استفاده از این تکنیک امکان پذیر هستند.

فصل ششم

پرده‌های فیلم



شکل ۱.۶ - یک پرده چند مقیاسی یک فیلم ورودی به صورت یک تصویر مختصر قابل بزرگنمایی و یکپارچه را نمایش می‌دهد که می‌تواند با جابجایی در فیلم استفاده شود. بصری سازی، حاشیه مشخص میان فریم‌ها را با ارائه پیوستگی مکانی و نیز بزرگنمایی‌های پیوسته با تفکیک پذیری‌های زمانی خوب تر، حذف می‌کند. این شکل سه سطح مقیاس گسسته یک فیلم را نمایش می‌دهد. خطوط میان هر سطح مقیاس، ابعاد متناظر میان مقیاس‌ها را نشان می‌دهد.

۱.۶ مقدمه

در سالهای اخیر، تعداد فیلم‌های موجود در شکل دیجیتالی به تدریج افزایش یافت. هرچند، با توجه به حجم وسیعی از داده‌های درگیر، برای یک کاربر سخت است که منظره‌ای را در یک ویدئوی تنها بباید یا سریعاً محتوای یک ویدئو را با جستجو در یک نما درک کند. برای مثال، یک فیلم معمولاً شامل ۲۰۰۰۰۰ فریم می‌شود و ممکن است حتی ۲۰ برابر تصاویر خام قبل از ویرایش آن به فیلم نهایی وجود داشته باشند. برای کمک به مردم در جستجو، درک و جابجایی فیلم، هم نرم افزار تجاری و هم سیستم‌های تحقیقاتی کشف کردند چطور فیلم به شکل تصاویر استاتیک خلاصه کنند. در حوزه تجاری، ابزارهای ناوبری فیلم شامل آنچه در منوی فیلم‌ها و خطوط زمانی که دنباله‌ای از تصاویر را شامل می‌شوند همانطور که در نرم افزارهای ویرایش فیلم یافت می‌شوند، هستند. در مورد

خطوط زمانی، یک پیش‌نمایش برای هر تصویر از فیلم ممکن است نشان‌دهنده شود یا دنباله‌ای از تصاویر ممکن است در وقفه‌های زمانی با تناظر خطی با زمان‌های هر منظره نمایش داده شود. هر کدام از این نمایش‌ها موجب یک سبک و سنگینی می‌شوند: منوها به سادگی قابل درک هستند اما ممکن است کامل نباشند، جزئیات زمانی مهم را در نظر نگیرند. خطوط زمانی ویرایش فیلم کامل‌تر هستند زیرا شامل جزئیات دقیق‌تری می‌شوند - هر تصویر به صورت یک بلاک مجزا نشان داده شده است. - و آنها بزرگنمایی با جزئیات زمانی را فراهم می‌آورند اما معمولاً انتقال ادراک در میان سطوح بزرگ‌نمایی کاستی‌هایی دارد و می‌تواند از نظر بصری در هنگام تماشا در سطح بزرگ‌نمایی بالا، گیج‌کننده باشد.

در این فصل، یک رویکرد جدید برای بصری‌سازی خطوط زمان و جستجو در میان مناظر یک فیلم ارائه می‌کنیم که قابلیت درک یک منوی تکامل یافته و ناوبری خط زمان ویرایش فیلم را فراهم می‌سازد. پژوهش اخیر در خلاصه‌سازی فیلم بیشتر روی انتخاب فریم‌های مهم - "فریم‌های کلیدی" نامیده می‌شد - و تمرکز داشت. هرچند، چنین سیستم‌هایی در کل یک یا چند بعد مهم از تجربیات کاربری در جستجو در میان فیلم را در نظر نمی‌گیرند. اول، استفاده از حاشیه مشخص در میان فریم‌های مربعی حاصلی از این است که فیلم چطور به صورت افقی نمایش داده می‌شود و یک نمایش بصری بهینه از فیلم اهمیت ندارد. حاشیه‌های مشخص در میان فریم‌ها، محتوای تصویر برجسته و گیج‌کننده اضافی با ایجاد نمایش‌های گسسته سخت در تجزیه بصری تعریف می‌کنند. در مقابل، رویکرد ما از تکنیک‌هایی الهام گرفته است که هنرمندان در طول تاریخ برای نمایش حرکات به صورت پیوسته بدون حاشیه‌های مشخص در سبک‌های هنری مانند پرده‌های قرون وسطایی و ایرانی، حاشیه نویسی هنری و علائم رنگی برای هنر فیلمبرداری (شکل ۶.۲) استفاده شده است. دوم، برای برنامه‌هایی مانند ویرایش فیلم، نمایش مختصر آنلاین به صورت بلادرنگ باید ممکن باشد. سوم، باور داریم که کاربران باید قادر به بزرگنمایی در خلاصه فیلم برای نمایش جزئیات زمانی با مقیاس خوب باشند. همانطور که بیان کردیم نا پیوستگی‌های شدید در طرح مکانی ایراد دارند، ما همچنین باور داریم که نا پیوستگی‌های بزرگنمایی مکانی نیز نامطلوب هستند، چون می‌توانند حواس کاربر را پرت کنند. تحریک انتقالات میان

مقیاس‌ها می‌تواند به کاربر در تلفیق محتوا و جهتگیری انتقال کمک کند. در حالی که برخی سیستم‌های قبلی برخی اهداف گفته شده را عملی می‌سازند، هیچ سیستمی همه‌ی آنها را عملی نمی‌کند. یک قالب یکپارچه برای ایجاد خلاصه‌های یکپارچه از فیلم ارائه می‌کنیم که به کاربر اجازه می‌دهد به طور پیوسته در جزئیات زمانی بیشتری بزرگنمایی کند [2]. این خلاصه‌ها را پرده‌های چند مقیاسی می‌نامیم. نمونه‌ای از پرده در شکل ۱.۶ نشان داده شده است.

دستاوردها عبارتند از: مجموعه‌ای از معیارها برای ارزیابی کیفیت یک خلاصه بهینه؛ خلاصه‌های یکپارچه آمیخته شده در عرضشان با حفاظت از ناحیه دلخواه همراه آن؛ یک نمایش چند مقیاسی با بزرگنمایی پیوسته در میان مقیاس‌های زمانی؛ و تفسیر^{۲۴} پرده‌ها به صورت بلادرنگ یا پیش محاسبات محدود.



شکل ۱.۶-۲ - الگوریتم از تکنیک‌های هنری نمایش حرکات بدون حاشیه‌های مشخص همچون پرده‌های فیلم (شبیه نگارگری قدیمی قهوه‌خانه‌ای) و علائم رنگی برای هنر فیلم برداری الهام گرفته است.

۱،۱،۶ معیارها

برای ساخت پرده‌های فیلم چند مقیاسی، چهار کیفیت مهم پیشنهاد می‌کنیم که در خلاصه سازی بصری فیلم به ترتیب اولویت سخت مطلوب هستند.

ابتدا، باید با نمایش تنها موجودیت‌های بصری که در فیلم مرجع ظاهر می‌شوند، منسجم باشد. این معیار تمایل ما به حذف مرزهای فریم را تقویت می‌کند زیرا چنین ساختارهایی در محتوای مرجع وجود ندارند.

دوم، باید نمایش دهنده رویدادها به ترتیب زمان وقوع که با ترتیب زمانی آنها در فیلم متناظر می‌شود باشد. در این پژوهش همانند سایر مقالات، از ترتیب چپ به راست استفاده کردیم اما باید بالا به پایین و راست به چپ هم ممکن باشد. گرچه طرح افقی همه‌ی شکل‌های پنجره را پر نمی‌کند ناوبری با نگاشت طبیعی "چپ" و "راست" به "قبل" و "بعد" موثر واقع می‌شود.

سوم، باید در فضای مقیاس، با انتقالات بصری آرام از مقیاس‌های زمانی سخت به نرم، پیوسته باشد.



شکل ۳.۶ - نمونه‌ای از چینش‌ها برای ایجاد پرده‌های فیلم در پژوهش‌های قبلی با استفاده از فریم‌های کلیدی و دیگرام ورونی، طرح مستطیلی و اختلاط تصاویر با حاشیه نرم

چهارم، شامل اغلب محتوای بصری منحصر به فرد در فیلم مرجع حداقل امکان با همه بیکسل‌های موجود و کامل باشد. از آنجایی که پرده‌ها بیکسل‌های خیلی کمی نسبت به تصویر مرجع دارند، محتوای منحصر به فرد تر را در سراسر محتوای تکراری براساس اهمیت اولویت بندی می‌کنیم.

مشاهده می‌کنیم که دو تا این نیازمندی‌های پرده‌ها، وابستگی و تکمیل، قبلا با درک تشابه دوطرفه (BDS) فرموله سازی شدند و با موفقیت به مسائل مرتبط با اختلاط تصویر و فیلم اعمال شدند. به علاوه، روش‌های اخیر برای تخمین تشابه دوطرفه چنین الگوریتم‌های ترکیب تصویر تجربی برای کاربرد تعاملی کیفیت بالا ایجاد کردند که در فصل ۵ نشان داده شد. بنابراین، سیستم براساس الگوریتم ترکیبی Simakov و همکاران ساخته شد و الگوریتم PatchMatch توصیف شده در فصل ۳ به عنوان پایه و

اساس آن، با محدودیت‌های اضافی برای اعمال به معیار دیگری از رویدادها به ترتیب زمان وقوع و پیوستگی مقیاس-مکان است.

۲.۶ پرده‌های تک مقیاسی

برای سادگی، ما با در نظر گرفتن یک شی در یک مقیاس بزرگنمایی تنها شروع می‌کنیم. تابع هدف برای پرده تک مقیاسی بهینه از پژوهش Simakov و همکاران [98] الهام گرفته است، که یک تابع هدف کمینه برای بازسازی تصویر تعریف کرد. هدف شامل دو خطای مکمل d_{cohere} و $d_{complete}$ می‌شود که تضمین کند هر patch در تصویر مرجع در تصویر هدف هم یافت شود و برعکس. هدف کامل به صورت زیر است:

$$d_{BDS}(S, T) = \frac{d_{complete}(S, T)}{\frac{1}{N_S} \sum_{s \in S} \min_{t \in T} D(s, t)} + \frac{d_{cohere}(S, T)}{\frac{1}{N_T} \sum_{t \in T} \min_{s \in S} D(t, s)} \quad (۱.۶)$$

که این معادله همچون معادله (۵.۱) برای ویرایش تصویر در نظر گرفته شده است. در اینجا S مرجع یا تصویر اصلی است، T تصویر هدف است، patch‌های تصویر مستطیلی کوچک S و t از تصاویر مرجع و هدف نمونه برداری شده اند و تعداد patch‌های مرجع و هدف N_S و N_T هستند. patch‌ها با اندازه ثابت هستند و از بخش‌های ۷ در ۷ در تصاویر استفاده می‌کنیم. فاصله $D(S, T)$ ، فاصله فضای رنگی میان این patch‌های مربع است و از فاصله L^2 در فضای RGB استفاده می‌کنیم. در هنگام بازسازی، تصویر مرجع S ابعاد متفاوتی نسبت به تصویر بازسازی شده T خواهد داشت. Simakov و همکاران [98] همچنین از تابع انرژی مشابهی برای فیلم‌های کوتاه شده با فرض اینکه S و T نشان دهنده حجم تصاویر در ابعاد مختلف و S و t نشان دهنده patch (جعبه)های کوچک فضا-زمان باشند، هستند [2].

رویکرد پرده تک مقیاسی از تعریف مشابهی از بهدینگی در معادله ۶.۱، با تغییرات مقابل در عبارات تعریف شده استفاده می‌کند: ما با یک فیلم ورودی S با سه بعد، برای تولید یک تصویر خلاصه (پرده) T با دو بعد آغاز می‌کنیم. ما تکه‌های تصویر S و t را می‌گیریم، بنابراین جمع در d_{cohere} در سراسر همه ی تکه‌های تصویر $p \times p$ در تصویر هدف T گرفته شده است و جمع در $d_{complete}$ در سراسر همه ی patch‌های تصویر $p \times p$ در هر فریم از فیلم مرجع S گرفته شده است. همچنین انتظار متحمل شدن حداقل یک ترتیب زمانی بی قاعده در خلاصه نهایی، با پیشرفت زمان تقریبی از چپ به راست

داریم. این با تعریف یک عبارت اضافی برای تابع فاصله $D(S, T)$ در میان تکه‌های S و t انجام شده است که بعد زمان فیلم S را به محور x از خلاصه T نگاشت می‌دهد.

$$D(S, T) = D_{color}(s, t) + \alpha(\tau_s - \beta x_t)^2 \quad (۲.۶)$$

که در این τ_s زمان در فیلم ورودی را نشان می‌دهد، x_t موقعیت افقی در پرده خروجی را نشان می‌دهد، α یک پارامتر کاربر است که کنترل می‌کند زمان چطور باید به صورت خطی از چپ به راست افزایش یابد و β یک عامل تناسب فضا-زمان انتخاب شده است بنابراین طرف راست از پرده T با آخرین فریم از فیلم ورودی S منطبق می‌شود به یاد داشته باشید که D_{color} فواصل فضای رنگی میان patchها است که در بالا توصیف شده است.

در اصل، با یک فیلم ورودی دلخواه S ، بهترین خلاصه T از یک تفکیک پذیری مشخص شده توسط کاربر می‌تواند با بهینه سازی معادله (۲.۶) یافت شود. هرچند، این در کل یک مسئله NP-سخت است، بنابراین، تقریب‌های کارا باید با حل کارای آن تعریف شوند. Simakov و همکاران [98] یک الگوریتم‌های تکرار شونده پیشنهاد کردند که با یک تخمین اولیه آغاز می‌شود و T را برای تولید یک تصویر هدف با خطای کمینه تصحیح می‌کند. این الگوریتم تکرار شونده می‌تواند با الگوریتم PatchMatch توصیف شده در فصل ۳ برای انجام ترکیب تصویر در نرخ‌های تعاملی سرعت گیرد. پیاده سازی‌های ما به این رویکردها وابسته اند اما برنامه همچنان تعاملی خواهد بود. انجام بهینه سازی روی فیلم ورودی S ناکارآمد خواهد بود زیرا در اغلب موارد این فیلم نمی‌تواند حتی در حافظه اصلی جای گیرد. حتی با حافظه کافی، بهینه سازی برای گام پیش پرداز خیلی کند، خواهد بود.

به همین دلیل، ما بهینه سازی را به دو گام، با شروع از سطحی از سراسر فریم‌ها و سپس پیشرفت به سطح بهتری از patchهای تصویر با فریم‌ها تقسیم می‌کنیم. اول، ما یک زیر مجموعه از فریم‌های کلیدی از فیلم ورودی می‌یابیم که به تقریب سطح فریم از هدف (۲.۶) را در سراسر مجموعه فریم‌های ورودی، بهینه می‌سازد. این می‌تواند همچنین به صورت خوشه‌بندی در سراسر مجموعه فریم‌ها نشان داده شود. دوم، با استفاده از تنها این فریم‌های کلیدی به عنوان یک بعد محدود شده S معادله ۲.۶ را در سطحی از patchهای تصویر کوچک بهینه می‌کنیم. چون گام خوشه‌بندی محاسبات دشواری است

می‌تواند به صورت بهینه با یک نمونه برداری با نرخ ثابت از فریم‌های ورودی یا حتی با استفاده از انتخاب فریم دستی جابجا شود.

۳.۶ پرده‌های چند مقیاسی

متاسفانه، فرموله سازی پرده‌های یک مقیاسی تو صیف شده در بخش قبلی معیارهای گفته شده از یکپارچگی در میان مقیاس‌ها را در خود جای نمی‌دهد. در واقع، در دو مقیاس مختلف، زیرمجموعه‌ای از فریم‌های کلیدی انتخاب شده در گام اول ممکن است جالب نباشند. و حتی اگر اینگونه باشد، ما هنوز با چالش‌هایی از درون یابی در میان تصاویر با اندازه مختلف و تفاوت فراوانی در محتوا مواجه هستیم.

بنابراین، ما باید اهداف خود در دستکاری پرده‌های چند مقیاسی را تغییر دهیم و گام سومی برای ترکیب پرده‌های میانی در میان مقیاس‌ها اضافه کنیم. در بخش‌های فرعی در زیر هر گام از تولید پرده چند مقیاسی را تشریح می‌کنیم. تولید پرده تک مقیاسی با دو گام اول کاملاً تشابه دارد اما بدون محدودیت زیر مجموعه که کلمات کلیدی هر سطح بزرگ نمایی در سطوح بزرگنمایی بهتر حاضر هستند.

۱،۳،۶ خوشه‌بندی فریم کلیدی

در فرآیند خوشه‌بندی خودکار، برای یافتن تعداد ثابتی از فریم‌های کلیدی n_1 برای سخت‌ترین سطح (از $n_1 = 24$ استفاده می‌کنیم) تلاش می‌کنیم. برای سطوح بهتر $i = 2, 3, \dots, d$ که d تعداد سطوح برای دستیابی به بیشینه نرخ نمونه برداری زمانی (مثلاً ۲ فریم در ثانیه) است، تعداد فریم‌های کلیدی n_i را به صورت هندسی افزایش می‌دهیم ($n_i = n_{i-1} * \rho$ که در آن در پیاده سازی ما $\rho = 2$ است). برای تابع هدف معادله (۱.۶)، خوشه‌بندی خود را به صورت یک پیش محاسبه آفلاین انجام می‌دهیم. فرض کنید برای انتخاب مجموعه‌ای از فریم‌های کلیدی K در سطح بزرگ نمایی اول که تابع هدف را کمینه می‌کند تلاش می‌کنیم. برای انجام این خوشه‌بندی به صورت کارا، ما نیاز به ارزیابی سریع معادله (۱.۶) داریم. فرض کنید f_1, f_2, \dots, f_n فریم‌های گسسته از فیلم ورودی را نشان می‌دهند. ما یک

ماتریس پیوستگی نامتقارن $n \times n$ با نام A محاسبه می‌کنیم که در آن A_{ij} یک جهت در تابع هدف ما (۶.۱) است:

$$A_{ij} = \frac{1}{N_{f_i}} \left(\sum_{s \subset f_i} \min_{t \subset f_j} D_{color}(s, t) + \alpha (\tau_{f_i} - \tau_{f_j})^2 \right) \quad (۳.۶)$$

D_{color} فا صله رنگی میان s و t را نشان می‌دهد و τ_{f_i} و τ_{f_j} زمان مربوط به فریم‌های i و j را نشان می‌دهد. به یاد داشته باشید که فریم‌های کلیدی در K مقادیر زمان مشخصی دارند، بنابراین از آنها برای زمان مربوطه به طور مستقیم به جای زمان نگاشت زمان مکانی βx_t در معادله (۶.۲) استفاده می‌کنیم. به علاوه، جایی که $(\tau_{f_i} - \tau_{f_j})^2$ از حد آستانه تجاوز می‌کند همواره اختلافات رنگ $patch$ را نشان می‌دهد و بنابراین می‌توانیم گام پیش پردازش را با حذف محاسبات ماتریس پیوستگی خارج یک دسته قطر مرکزی تسریع کنیم.

با ماتریس پیوستگی A و مجموعه‌ای از فریم‌های کلیدی $K = \{K_1, \dots, K_m\}$ ، معادله (۶.۱) را به صورت زیر تقریب می‌زنیم:

$$d_{BDS}(K) = \frac{\overbrace{d_{complete}(K)}^{\frac{1}{n} \sum_{i=1}^n \min_{j=1 \dots m} A_{i,k_j}}}{\frac{1}{n} \sum_{i=1}^n \min_{j=1 \dots m} A_{i,k_j}} + \frac{\overbrace{d_{cohere}(K)}^{\frac{1}{m} \sum_{i=1}^m \min_{j=1 \dots m} A_{k_i,j}}}{\frac{1}{m} \sum_{i=1}^m \min_{j=1 \dots m} A_{k_i,j}} \quad (۴.۶)$$

عبارت دوم $d_{cohere}(K)$ صفر است، چون عناصر قطری A صفر هستند: هر یک از فریم‌های کلیدی نیز در مجموعه‌ای از فریم‌های ورودی وجود دارند. به یاد داشته باشید که این تنها یک محدوده ورودی برای هدف در دست است همانطور که برای $d_{complete}$ عملگر کمینه در معادله (۶.۳) تنها در حوزه یک فریم کلیدی به جای مجموعه‌ای از فریم‌های کلیدی گرفته شده است.

در اینجا برای کمینه سازی این هدف الگوریتم خوشه‌بندی k -medoids [12] به کار گرفته شده است. فریم‌های کلیدی در هر سطح با گرفتن فریم‌های کلیدی سطح قبلی و حل مسئله برای بهترین فریم‌های کلیدی قبلی برای افزودن به طرح یافت می‌شوند. در حالی که فریم‌های موجود حذف نشدند یا تغییر نیافتند. بنابراین فریم‌های کلیدی در هر سطح یک زیرمجموعه از فریم‌های سطح بعدی هستند. این فرآیند انتخاب فریم کلیدی خودکار معمولاً در برجسته کردن اطلاعات مهم موثر هستند ولی می‌تواند به صورت بهینه با نمونه‌گیری فرعی ساده در زمان (مثلاً ۲ فریم در ثانیه) جابجا شود یا کاربر

می‌تواند به صورت دستی فریم‌های کلیدی را برای یک نتیجه بهتر انتخاب کند. نمونه‌گیری فرعی یکنواخت این مزیت را به ما می‌دهد که پرده نهایی تقریباً به صورت خطی با زمان حرکت کند، که ممکن است برای برنامه‌های ویرایش فیلم مطلوب باشد که طول رویداد اهمیت دارد. به علاوه، هیچ فرایند مکانی نیاز ندارد. انتخاب دستی مزیت درک سطح بالای انسان از شخصیت‌ها، نمودار، و داستان را به همراه دارد [2].



شکل ۶. ۴ - طرح آجری با استفاده از تخمین اولیه برای بهینه سازی

۲,۳,۶ پرده‌های مجزا

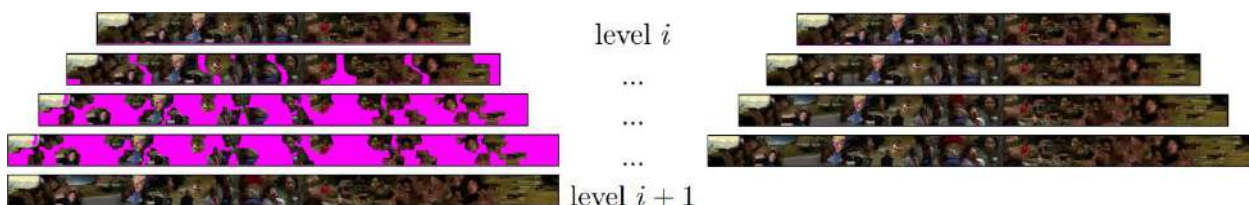
با فریم‌های کلیدی دلخواه، ما برای پرده بهینه به طور مستقل در هر مقیاس با کمینه سازی هدف در معادله (۶.۱) با روش Simakov و همکاران [98] مسئله را حل کردیم که گام‌های سرازیری در تابع هدف را در بر می‌گیرد^{۲۵}. از یک طرح آجری به عنوان تخمین اولیه خود استفاده شده است: فریم‌های کلیدی در دو ردیف مرتب شده اند، در ترتیب افزایش زمانی که در شکل ۶. ۴ نشان داده شد. سپس این تصویر ورودی را با یک عامل ۷۵٪ در جهت y با تقویت ساختارهای تکرار شونده برای ادغام و ترکیب یکپارچه رویداد بازسازی شده است. این فرایند از طریق آزمایشات به دست آمده است؛ به یاد داشته باشید که گرچه از یک طرح ویژه همانند تخمین اولیه استفاده می‌کنیم، اما تنها patch‌های فریم‌های کلیدی خودشان در عبارت S استفاده شده اند بنابراین نواحی تخمین اولیه که با فریم‌های کلیدی چندگانه اشتراک دارند با فرایند بازسازی ترکیب یا فشرده خواهد شد.

این روش با موفقیت، پرده را با حذف ویژگی‌های اضافه تصویر، خلاصه سازی عناصر تکراری و ترکیب نواحی تصویر به صورت یکپارچه خلاصه می‌کند. هرچند، می‌تواند گاهی اطلاعات معنایی سطح

۲۵. این بار در سطح patch، برخلاف سطح فریم در بخش قبلی

بالا همچون چهره‌ها را از بین ببرد، بنابراین، ما یک عامل وزنی برای هر patch تعریف می‌کنیم و وزن patchهایی که با چهره‌ها اشتراک دارند، افزایش می‌دهیم.

برای کارایی، پرده‌ها را در کاشی‌های گسسته از حدود و سعت ۵۰۰ پیکسل محاسبه می‌کنیم. اگرچه این در اصل خروجی را تحت تاثیر می‌گذارد، دریافتیم در عمل تاثیر اندکی دارد، چون زمان از تابع فاصله در معادله ۲.۶ تعاملات میان نواحی پرده که خیلی منفصل هستند را محدود می‌کند. از یکپارچگی در میان کاشی‌ها با اشتراک کاشی‌های خروجی خودداری می‌کنیم و در فرآیند بازسازی یک محدودیت سخت تعریف می‌کنیم که رنگ‌ها در ناحیه اشتراکی باید کاشی‌های محاسبه شده قبلی را تطابق دهند. پیاده‌سازی این محدودیت‌های سخت مشابه با آنچه در فصل ۵ آورده شد است به استثنای آنچه اینجا پس از هر تکرار از الگوریتم بازسازی آورده شد، می‌باشد. همچنین در اینجا کپی‌های سایه دار شده از کاشی‌های مشخص را با ترکیب آلفا برای اجتناب از ناپیوستگی‌های بصری شدید ترکیب می‌کنیم.



شکل ۲.۶ - ۵ - بزرگنمایی پیوسته. چپ: "محدودیت‌های" جزیره" روی دنباله بزرگنمایی محرک در میان یک پرده مجزا در یک مقدار بزرگنمایی کوچکتر (بالا) و مقدار بزرگنمایی بزرگتر (پایین). نواحی نشان داده شده در هر دو تصویر در حرکت با سرعت ثابت خطی محدود شده‌اند. نواحی قهوه‌ای محدود نشده‌اند. درون یابی با تصویر پایینی به عنوان تخمین اولیه آغاز می‌شود و تصویر را به اندازه‌های کوچکتر با حفظ جزیره‌ها با حرکت خطی به صورت محدودیت‌های سخت بازسازی می‌کند. جزیره‌ها به صورت تصویری کوچکتر با تحمیل همگرایی توسعه می‌یابند.

راست: نتایج بازسازی اینگونه است که نواحی (قهوه‌ای) محدود نشده ترکیب شده‌اند. بزرگنمایی دنباله‌ای، یکپارچگی زمانی را نشان می‌دهد.

در همگام تفسیر پرده‌ها، در حالت کیفیت بالا، همه‌ی کاشی‌ها برای همه‌ی سطوح بزرگنمایی از پیش محاسبه شده‌اند. در این هنگام پرده‌ها به صورت یک فرآیند تعاملی با تفکیک پذیری پایین تر، برای کاشی‌های بزرگنمایی شده، محاسبه می‌شود. حتی در هنگام اجرا در حالت تعاملی با تفکیک پذیری پایین تر، فرآیند بازسازی حدود ۰,۵ ثانیه برای اجرای هر کاشی زمان می‌برد بنابراین، کاشی‌ها را در

حافظه نهان می‌گذاریم و از وقفه در رابط کاربری جلوگیری می‌کنیم و از یک thread پس زمینه برای پیش ذخیره کاشی‌ها در حافظه نهان در یک هم‌سایگی کوچک از موقعیت فعلی کاربر در جهت x و در فضای مقیاس استفاده می‌کنیم.

۳,۳,۶ بزرگنمایی پیوسته

در اینجا، ما پرده‌های گسسته را در مجموعه ثابتی از سطوح گسسته محاسبه کردیم. برای تصدیق نیاز به یکپارچگی در انیمیشن در میان سطوح گسسته، اکنون برای پرکردن حجم فضا-زمان میان هر جفت از پرده‌های گسسته به روش یکپارچگی زمانی تلاش می‌کنیم. فرض کنید یک پرده کوچک در سطح بزرگنمایی i به صورت A و یک پرده بزرگتر در سطح $i + 1$ به صورت B داریم؛ هدف تکمیل کردن ناحیه فضا-زمان میان A و B است.

الگوریتم پرکردن این ناحیه به صورت زیر پیش می‌رود: اول، سیستم ما نواحی متناظر در میان دو پرده مجزا A و B را شناسایی می‌کند. این نواحی به صورت خطی در امتداد شکاف میان A و B حرکت می‌کنند. نهایتاً، نواحی باقی مانده با ترکیب‌های تشابه دوطرفه پر می‌شوند.

یافتن تناظرها: در بخش ۶.۳.۱ تضمین کردیم که فرم‌های داخل A زیر مجموعه‌ای از فریم‌های داخل B هستند. بنابراین می‌توان تناظرهای میان A و B ، مجدداً با استفاده از الگوریتم تناظر سریع فصل ۳ پیدا کرد. این تناظرهای متراکم میان patch‌های مربع کوچک با اندازه $p \times p$ را انتشار می‌دهد.

شنا سایی نواحی تناظر یکپارچه: سپس برای یافتن نواحی متناظر میان دو پرده که اندازه آستانه‌ای دارند تلاش می‌کنیم. ما یک گراف با یال E می‌سازیم و اجزای متصل بزرگ با حداقل اندازه R را انتخاب می‌کنیم. گراف با یال E راس‌هایی شامل مختصات A دارد و یال‌های افقی و عمودی در صورتی نصب می‌شوند که حوزه تناظر ملایم باشد برای مثال بردار حوزه کمتر از حد آستانه تغییر کرده باشد. این نواحی تناظر بزرگی در میان دو تصویر به ما می‌دهد که آنها را "جزایر" می‌نامیم. در ناحیه فضا-زمان ما بین A و B را پر می‌کنیم، ما از نواحی "جزیره" متناظر به عنوان محدودیت‌های سخت استفاده می‌کنیم و آنها به حرکت با سرعت خطی ثابت محدود شده‌اند. به خاطر داشته باشید که اگر یک فریم کلیدی از ردیف بالایی به پایینی (یا برعکس) تغییر کند ممکن است در طی بزرگنمایی ایراد دار باشد.

بنابراین، ما با اختیار خود گذر دوم از خوشه‌بندی مجموعه‌های پیوسته نیازمند خوشه‌بندی فریم کلیدی را اجرا می‌کنیم.

بازسازی: بعد، با محدودیت‌های داده شده، ما بخش‌های محدود نشده از بعد فضا-زمان را که با قهوه‌ای در چپ شکل ۶.۵ نشان داده شد را پر می‌کنیم. ما در تصویر بزرگتر B شروع می‌کنیم و به تفکیک پذیری‌های کوچکتر تا رسیدن به اندازه A بازسازی می‌کنیم. برای هر تفکیک پذیری، مکرراً الگوریتم خلاصه سازی را برای بازسازی تصویر فعلی با تصویر مرجع S در معادله (۶.۱) به صورت پرده بزرگتر B اجرا می‌کنیم. ما عبارت $d_{complete}$ را از هدف حذف می‌کنیم زیرا بعد ورودی به محض انتقال به مقیاس گسسته بعدی تغییر می‌کند. همچنین فرآیند را با بازسازی تنها در بهترین مقیاس تسریع می‌کنیم.

شرایط مرزی: چون تخمین اولیه ما در B شروع می‌شود، شرط مرزی در پایین بعد فضا-زمان اعمال می‌شود. هرچند، ما نیاز به تضمین این داریم که دنباله انیمیشن در پرده کوچکتر A پایان یابد. برای انجام اینکار ما از بعد ورودی S خود به عنوان ترکیبی وزنی از تکه‌های A و B با درون یابی خطی عامل وزن دهی استفاده می‌کنیم بنابراین انیمیشن به A در فریم آخر همگرا می‌شود. ما همچنین جزایر را با بزرگ کردن آنها همانطور که A را در بعد فضا-زمان رونمایی کردیم رشد می‌دهیم.

یک مثال از درون یابی فضا-زمان یکپارچه در شکل ۶.۵ سمت راست نشان داده شد. همانند بخش قبلی، این شکل با کاشی‌های اشتراکی به صورت آنلاین محاسبه شده است.

۶.۴ پیاده سازی و نتایج

نتایج نشان دهنده مقیاس‌های پرده در شکل‌های ۶.۱ و ۶.۶ نشان داده شدند. فضا و زمان استفاده شده توسط الگوریتم ارائه شده براساس سطح تقریب‌های ایجاد شده متفاوت اند. پیش پردازش‌های خوشه‌بندی برای یک فیلم کوتاه (۱۰ دقیقه با نمونه برداری ۲ فریم در ثانیه) حدود ۷۵ دقیقه طول می‌کشد: ۱۵ دقیقه برای خوشه‌بندی واقعی و ۶۰ دقیقه برای محاسبه ماتریس پیوستگی مربعی. برای خوشه‌بندی فریم‌ها در فیلم‌های طولانی، محاسبه ماتریس پیوستگی زمان اجرای زیادی صرف می‌کند. به

عنوان یک تقریب، تمام ماتریس پیوستگی نیاز نیست محاسبه شود و تنها دسته‌ای در فاصله آستانه قطر اصلی همانطور که در بخش ۶.۳.۱ بیان شد نیاز به محاسبه دارد [2].



شکل ۶.۶ - پرده‌های مجزا برای دو فیلم مختلف. خطوط میان هر سطح بزرگنمایی نواحی متناظر در هر مقیاس را نشان می‌دهد.

با این وجود، حتی با این تسریع، محاسبه ماتریس پیوستگی برای یک فیلم ۷۵ دقیقه‌ای ۶ ساعت طول می‌کشد. به یاد داشته باشید که فرآیندهای خوشه‌بندی بهینه هستند و می‌توانند صرف نظر شوند یا می‌توانند با فرآیند کارآتری جایگزین شوند.

به محض اینکه فریم‌های کلیدی انتخاب شدند، پرده‌های کیفیت بالای با تفکیک پذیری بالا می‌توانند به صورت آفلاین محاسبه شوند. هر کاشی گسسته (به و سعت ۵۰۰ پیکسل) حدود ۱۰ ثانیه برای محاسبه زمان می‌برد. درون یابی بزرگنمایی پیوسته از کاشی‌های با اندازه یکسان استفاده می‌کند، و حدود ۱۰ ثانیه برای محاسبه حرکت بزرگنمایی میان مقیاس‌ها زمان می‌برد. متناوباً، رابط می‌تواند در نرخ‌های تعاملی در کیفیت و تفکیک پذیری‌های پایین‌تر اجرا شود. پیاده‌سازی تعاملی کاشی‌ها با و سعت ۵۰۰ پیکسل از هر پرده گسسته ۰,۵ ثانیه‌ای را محاسبه می‌کند و هر کاشی بزرگنمایی می‌تواند در حدود ۲ ثانیه محاسبه شود. همانطور که قبلاً تشریح شد، برای اجتناب از وقفه در رابط کاربری، ما کاشی‌ها را

در همسایگی ناحیه فضای مقیاس فعلی کاربر از پیش بارگذاری می‌کنیم. بنابراین کاربر می‌تواند در پیرامون فضای مقیاس به صورت تعاملی حرکت کند.

۵.۶ تشریح و پژوهش آینده

در هر گام از الگوریتم ارائه شده، ما تلاش می‌کنیم همه ی چهار معیار توصیف شده در بخش ۶.۱.۱ را ننگه داریم. در انتخاب فریم کلیدی، تحت محدودیت‌هایی تمام فریم‌ها پذیرفته یا رد می‌شوند. در حالی که ترتیب وقوع و یکپارچگی میان مقیاس‌ها با استفاده از محدودیت‌های زیر مجموعه به دست آمده‌اند. در تولید پرده ثابت، سیستم بهینه سازی‌هایی برای تشابه دو طرف با به کار بردن فاصله زمانی اضافی در ترتیب وقوع را استفاده می‌کند. در اینجا پیوستگی مقیاس-مکان به صورت صریح انجام نمی‌شود بلکه صریحاً از محدودیت‌های انتخاب فریم کلیدی مشتق شده است. نهایتاً، هنگام ایجاد حرکات بزرگنمایی، محدودیت پیوستگی با ایجاد و درون‌یابی "جزایر" انجام شده است. نهایتاً، هنگام ایجاد حرکات پر کردن فضای باقی مانده بهینه شده است و ترتیب وقوع رویدادها صریحاً از پرده‌های ثابت مشتق شده است.

ممکن است کارآمد به نظر برسد که قالب ارائه شده هیچ فرآیند تشخیص بریدگی صریحی همانند بسیاری از تکنیک‌های تحلیل فیلم رایج دیگر ندارد. هرچند، در فیلم‌های ویرایش شده، برش‌ها دیده نمی‌شوند بنابراین ما هیچ اهمیت مکانی در موقعیت برش قائل نمی‌شویم: تنها تشابه میان فریم‌ها اهمیت دارد. برای مثال، اگر یک منظره شامل سری سریعی از صحنه‌های جابجا شونده بین دو شخصیت باشد، خلاصه سازی آن با استفاده از فریم‌های کلیدی اندکی برای هر شخصیت به جای یک فریم کلیدی برای هر صحنه محتمل است.

انتخاب فریم کلیدی: الگوریتم انتخاب فریم کلیدی، یک راه حل تئوری ساده ارائه می‌کند که همان تابع انرژی را به صورت ترکیب صحنه مجزا بهینه می‌کند. هرچند، سیستم به استفاده از روش انتخاب فریم کلیدی وابسته نیست و در واقع سایر روش‌های انتخاب فریم کلیدی ممکن است برای برنامه‌های خاصی سودمند باشند. برای مثال، انتخاب فریم کلیدی یکنواخت دو مزیت سرعت-پیش‌محا سبه‌ای نیاز نیست- و یک نداشت خطی از مختصات X پرده ارائه می‌کند. انتخاب فریم کلیدی دستی مزایای

ادراک انسانی و زیبایی شناختی در انتخاب فریم‌های کلیدی حاوی اطلاعات مفید و با زیبایی بصری ارائه می‌کند.

موارد شکست: گرچه الگوریتم ترکیب تشابه دوطرفه، محتوای بصری تکراری را حذف و ترکیب می‌کند، اغلب اتفاق می‌افتد که دو فریم کلیدی مجاور در یک طرح اولیه، محتوای بصری کاملاً متفاوتی دارند. در این موارد، الگوریتم با ایجاد یک خط تیره و تار در امتداد مرز شکست می‌خورد. این روش از تشخیص چهره به عنوان یک پیش پردازش استفاده می‌کند: هنگامی که شکست می‌خورد می‌توانیم برخی چهره‌های لکه دار را در پرده نهایی ببینیم. اما هزینه‌ی مثبت‌های کاذب پایین است بنابراین می‌توانیم یک بخش پیچیده از منحنی ROC را برای تخمین نواحی چهره استفاده کنیم. تنها نتیجه آن است که برهی نواحی غیر چهره ممکن است در فشرده سازی شکست بخورند. با این وجود، تشخیص گر چهره ممکن است در کار روی چهره‌ها شکست بخورد (مثلاً ربات‌ها، چهره‌های ریش دار، چهره‌های کارتونی). تشخیص چهره تنها گزینه برای حفظ ساختار نیست؛ این روش شناسه‌های پیچیده‌ای از سایر اشیا و نواحی مهم در فیلم را پشتیبانی می‌کند که می‌توانند یا به صورت دستی یا تکنیک‌های بینایی کامپیوتری (مثلاً تشخیصی گره‌های ناحیه برجسته و تشخیص گره‌های شی) تامین شوند.

توسعه دیگر در ایجاد پرده‌های محرک خواهد بود که در آن، ناحیه زیرین ماوس شروع به "نمایش" یک دنباله کوتاه یا دنباله‌های متعدد در پرده به منظور بصری سازی محتوای پویا از آن منظره می‌کند. بهبودهای دیگری در تولید پرده می‌توانند با افزودن یک عبارت سازگاری مرزی برای فریم‌های کلیدی مجاور برای تقویت پرده‌های پیوسته تر به دست آیند. در این پژوهش ما یک بهینه سازی ارائه کردیم که در کمینه سازی یک تابع انرژی با تعریف گام‌های متعدد از تقریبات ارائه شود. در آینده به کشف امکان ساخت یک پرده با کمینه سازی مستقیم یک تابع هدف یکپارچه به جای گام‌های جایگزین متعدد با تقریب‌های متفاوت علاقمند هستیم.

خلاصه، ما تکنیک خلاصه سازی فیلم جدیدی ارائه کردیم که پیوستگی مکانی و بصری سازی‌های قبل بزرگنمایی فیلم را ایجاد می‌کند. ما یک تابع هدف برای چنین خلاصه‌هایی ارائه کردیم و این هدف را با استفاده از یک سری گام با محاسبه گام‌های بلادرنگ بهینه می‌کنیم. امیدواریم که این تکنیک برای ناوبری فیلم، ویرایش فیلم و نگهداری نتایج جستجوی فیلم مفید واقع شود.

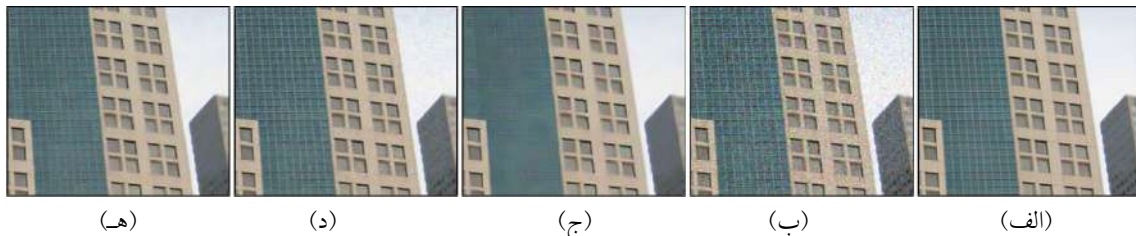
فصل هفتم

کاربردهای بینایی کامپیوتری

۱.۷ مقدمه

محاسبه تناظرهای میان نواحی تصویر مسئله اصلی در مسائل بینایی کامپیوتری است. از مسائل سنتی مانند ردیابی الگو و ردیابی جریان حرکتی، تا پردازش تصویر سطح پایین مانند ترکیب الگو و رنگ آمیزی، تا وظایف تحلیل تصویر سطح بالا مثل تشخیص شی، طبقه بندی و تقسیم بندی تصویر. جستجوهای تناظر می توانند به صورت محلی، که جستجو در پنجره مکانی محدود شده ای انجام می شود یا سراسری، که همه جایگزین های ممکن در نظر گرفته می شوند، باشند. تناظرها می توانند همچنین به صورت خلوت، با تشخیص تنها در یک زیر مجموعه از نقاط کلیدی مهم یا متراکم، با تشخیصی در هر پیکسل یا در یک شبکه متراکم در ورودی طبقه بندی شوند.

برای کارایی، الگوریتم های رایج متعددی تنها از تناظرهای محلی یا خلوت استفاده می کنند. جستجوی محلی می تواند تنها جایگزین های کوچک را شناسایی کند بنابراین پالایش های با تفکیک پذیری های چندگانه اغلب استفاده شده است، اما حرکت های بزرگ اشیا کوچک می تواند از دست رود.



شکل ۱.۷ - حذف نویز با PatchMatch سراسری. (الف) تصویر اصلی (ب) خراب شده با نویز گوسی. (ج) Buades و همکاران. (د) با میانگین گیری از patch های مشابه، در یک پنجره محلی کوچک نویز حذف شده است. (ه) استفاده از PatchMatch برای جستجوی غیرمحلی، بهبود ویژگی های تکرار شونده را در بر دارد، اما نواحی نویزی باقی می ماند.

تناظرهای نقاط اصلی خلوت معمولاً برای همترازی، بازسازی های سه بعدی و شناسایی و تشخیصی شی استفاده شده اند. این روش ها روی مناظر الگودار با تفکیک پذیری بالا خوب کار می کنند اما در

سایر موارد کارایی کمی دارند. روش‌های پیشرفته‌تر [20, 99] با تطابق‌های خلوت شروع می‌شوند و سپس آنها را انتشار می‌دهند. بنابراین، چنین روش‌هایی می‌توانند از آرمیدگی فر ضیات خلوت و محلی بهره ببرند. به علاوه، برنامه‌های تحلیل متعدد و برنامه‌های ترکیب [29, 37, 43, 98] به طور یکپارچه‌ای به تناظرهای سراسری متراکم برای عملکرد مناسب نیاز دارند.

الگوریتم تطابق PatchMatch کلی، تناظرهای سراسری متراکم را سریع‌تر از رویکردهای قبلی می‌یابد همچون کاهش ابعاد (مثلاً PCA) ترکیب شده با ساختارهای درختی مانند درخت‌های kd، درخت‌های VP و TSVQ. الگوریتم ارائه شده یک نزدیک‌ترین هم‌سایه تقریبی در یک تصویر برای هر مستطیلی کوچک (مثلاً ۷ در ۷) در تصویر دیگر با استفاده از یک استراتژی تپه‌نوردی تصادفی می‌یابد.

مسائل بینایی، سناریوهای تطابق چالش برانگیز را در بر می‌گیرند بنابراین ما نیاز به تمام توان الگوریتم تطابق کلی داریم. برای مثال، برای مسائل مانند تشخیص شی، حذف نویز و تشخیص تقارن، ما در تشخیص تطابق‌های داوطلب متعدد برای هر patch تقاضه شده تلاش می‌کنیم. بنابراین ما الگوریتم نزدیک‌ترین هم‌سایه‌های k را نیاز داریم. همچنین، برای مسائل مانند فرا تفکیک پذیری، تشخیص شی، طبقه‌بندی تصویر و ردیابی T ممکن است ورودی‌ها در مقیاس‌ها و چرخش‌های متفاوتی باشند بنابراین انواع الگوریتم تطابق مختلفی نیاز داریم که در میان این ابعاد جستجو می‌کنند. سوم، برای مسائلی مانند تشخیص شی، patchها برای تغییر در ظاهر و هندسه بسیار بزرگ هستند بنابراین ممکن است رد این موارد به تطابق با انواع توصیف‌گرهای تصویر نیاز داشته باشیم.

در این فصل، کاربردهایی از الگوریتم جدید برای مسائل بینایی کامپیوتر زیر ارائه می‌کنیم: حذف نویز محلی، تشخیص کپی، تشخیص تقارن، SIFT و تشخیص شی. باور داریم که الگوریتم PatchMatch کلی می‌تواند به عنوان یک کامپوننت کلی در نوعی از روش‌های بینایی کامپیوتری موجود و آینده به کار گرفته شود و قابلیت آن برای حذف نویز تصویر، یافتن جعل در تصاویر، تشخیص تقارن و تشخیص شی را بررسی می‌کنیم.

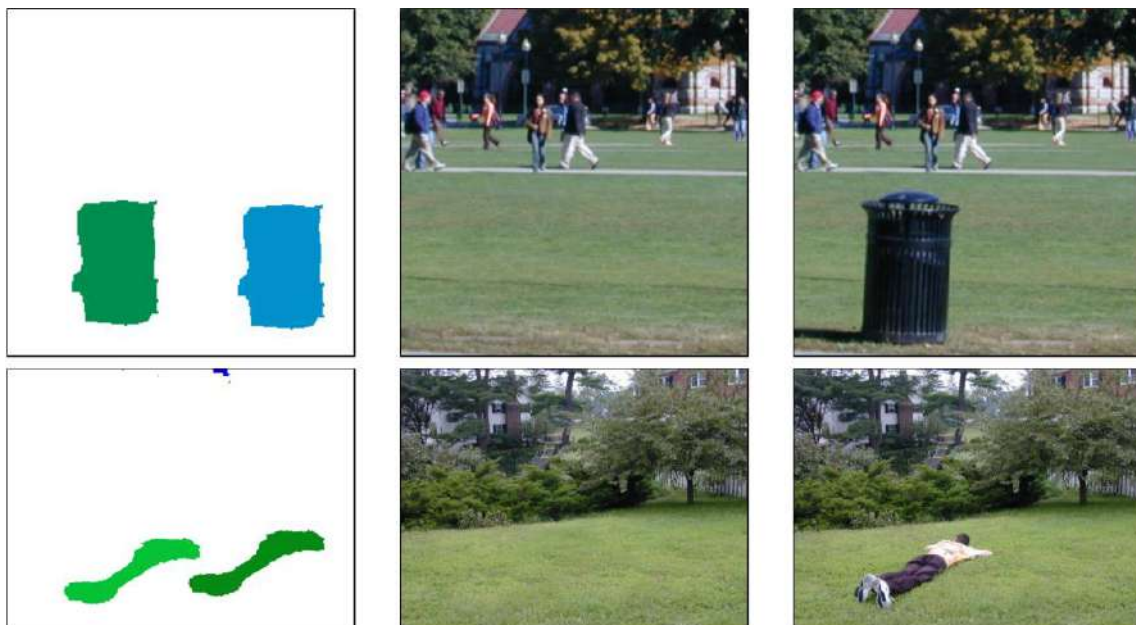
۲.۷ حذف نویز میانگین غیر محلی

برای حذف نویز تصویر، Buades و همکاران [21] نشان دادند که نتایج کیفیت بالا می‌توانند با حذف نویز میانگین غیر محلی به دست آیند. یافتن patchهای مشابه در تصویر و سپس میانگین‌گیری

آنها. پژوهش‌های زیر مجموعه نشان دادند که این روش مبتنی بر patch می‌تواند برای دستیابی به نتایج جدید با انجام گام‌های فیلترینگ اضافی توسعه یابند. هنگامی که Buades و همکاران برای تکه‌های مشابه در پنجره جستجوی محدودی جستجو می‌کردند، Brox و همکاران [19] نشان دادند که یک روش مبتنی بر درخت می‌تواند برای دستیابی به کیفیتی بهتر برای برخی ورودی‌ها استفاده شود. هرچند آنها فاصله را برای patch‌های دور افزایش می‌دهند بنابراین جستجو هنوز محدود به برخی نواحی محلی است.

الگوریتم kNN که در فصل ۳ توصیف شد می‌تواند برای یافتن patch‌های مشابه در یک تصویر استفاده شود بنابراین می‌تواند به عنوان یک کامپوننت در این الگوریتم‌های حذف نویز استفاده شود [4]. بنابراین روش ساده‌ای با استفاده از آنچه گفته شد و الگوریتم kNN برای این کار پیاده‌سازی شده است. این روش با آزمون هر patch مرجع از یک تصویر با انجام یک جستجوی محلی در سراسر همه

ی patchها در یک فاصله ثابت r از تکه مرجع با محاسبه یک فاصله d ی با وزن L^2 در میان patch مرجع و هدف و محاسبه یک میانگین وزنی برای رنگ پیکسل مرکزی با تابع وزنی $f(d)$ کار می‌کند. برای استفاده از الگوریتم kNN ما در این قالب حذف نویز، می‌توانیم به سادگی تعدادی از همسایه‌های k را انتخاب کنیم و برای هر patch مرجع، از kNN آن در سراسر تصویر به صورت لیستی از patchهای هدف استفاده کنیم.



(ج) شناسایی بخش‌های جعل شده

(ب) تصاویر جعل شده

(الف) تصاویر اصلی

شکل ۲.۷ - تشخیص نواحی تصویر جعل شده با روش کپی کردن بخش‌های دیگر. (الف) تصاویر اصلی که تغییر نکرده است. (ب) تصاویر جعل شده. (ج) نواحی کپی شده با الگوریتم kNN و کامپوننت‌های مرتبط با آن.

۳.۷ تشخیص کپی

یک تکنیک برای جعل تصاویر دیجیتال، حذف یک ناحیه از یک تصویر با کپی برداری ناحیه‌ای دیگر است.

روش‌های تشخیص چنین جعل‌هایی اخیراً ارائه شده است [11, 89]. این روش‌ها، تجزیه تصویر به patch‌های مربع یا اشکال نامنظم، استفاده از PCA یا DCT برای رد بخش‌های فرعی در تصویر با توجه به نویز یا فشرده سازی و مرتب کردن بلاک‌های حاصل برای تشخیص تکرار را پیشنهاد می‌کنند. ما می‌توانیم الگوریتم kNN خود را برای تشخیص نواحی کپی شده استفاده کنیم. به جای مرتب کردن همه ی بلاک‌ها در یک لیست مرتب، می‌توانیم برای هر تکه، k-NN آن را به عنوان کاندیداهای کپی شده در نظر بگیریم و نواحی کپی شده را با تشخیص "جزایر" متصل از patch‌هایی که همه نزدیک ترین همسایه‌های مشابهی دارند شناسایی کنیم.

به خصوص، ما یک گراف می‌سازیم و کامپوننت‌های متصل از گراف را برای شناسایی نواحی کپی شده استخراج می‌کنیم. رئوس گراف مجموعه‌ای از همه مختصات پیکسل (x, y) از تصویر هستند. برای هر مختصات (x, y) ، یک یال افقی یا عمودی در گراف می‌سازیم اگر kNN‌ها به ترتیب با همسایه در $(x + 1, y)$ یا $(x, y + 1)$ مشابه باشند، دو مجموعه A و B از kNN را مشابه می‌نامیم اگر برای هر جفت از نزدیک ترین همسایه‌ها $(ax, ay) \in A$ و $(bx, by) \in B$ ، نزدیک ترین همسایه‌ها در یک فاصله آستانه T از یکدیگر باشند و هر دو یک فاصله patch کمتر از یک آستانه فاصله بیشینه داشته باشند.

نهایتاً، کامپوننت‌های متصل در گراف را تشخیص می‌دهیم و هر کامپوننت را با یک ناحیه در بالای کمینه اندازه ناحیه کپی شده C در نظر می‌گیریم تا ناحیه کپی شده باشد. مثال‌هایی از پیاده سازی تشخیص کپی در شکل ۷.۲ نشان داده شدند. به یاد داشته باشید که نواحی کپی شده به درستی شناسایی شده‌اند. هرچند، ناحیه کپی دقیقاً مثل ناحیه حذف شده نیست زیرا نمونه اولیه ما برای نویز، نتیجه فشرده سازی، یا آراستن بزرگ نیست.

۷.۴ تشخیص تقارن

تشخیص ویژگی‌های متقارن در تصاویر اخیراً مورد توجه بوده است. یک بررسی تکنیک‌ها برای یافتن تقارن‌های چرخشی و انعکاسی توسط Park و همکاران [86] انجام شده است. روش‌هایی نیز برای یافتن تقارن‌های انتقالی در شکل شبکه‌های منظم توسعه داده شده‌اند. چون تطابق‌های الگوریتم kNN ما، ویژگی‌های غیر محلی را تکرار کردند می‌توانند به عنوان یک کامپوننت در الگوریتم‌های تشخیص تقارن استفاده شوند [4]. تقارن‌ها با نقاط خلوت دلخواه تشخیص

داده شده اند. مانند تشخیص گره‌های مرز یا SIFT یا نقاط یال. در مقابل روش‌های خلوت، الگوریتم ارائه شده می‌تواند توصیف گره‌های نمونه‌گیری شده متراکم همانند توصیف گره‌های SIFT و patchها را تطبیق دهد و تقارن‌ها می‌توانند با آزمون حوزه تناظر تراکم ایجاد شده، یافت شوند. الگوریتم ما ممکن است قادر به یافتن کامپوننت‌های متقارن حتی در موردی که هیچ نقطه دلخواهی وجود ندارد باشد. برای نمایش اینکه چگونه روش می‌تواند برای تشخیص تقارن استفاده شود، یک الگوریتم ساده برای تقارن‌های انتقالی در عنا صر جابجا شده روی یک شبکه ارائه می‌کنیم. ابتدا، ما الگوریتم kNN را اجرا می‌کنیم. توصیف گر برای الگوریتم تکه‌های ۷ در ۷ است. سپس فاصله patch را با استفاده از L^2 میان پیکسل‌های متناظر پس از تصحیح برای تغییرات محدود در شفاف سازی با نرمال سازی میانه و انحراف استاندارد برای رسیدن به تساوی محاسبه می‌کنیم.



شکل ۳.۷ - نتایج تشخیص تقارن با استفاده از یک شبکه منظم (با نقاط سفید نشان داده شد).

همچنین نزدیک ترین همسایه‌های $K = 16$ را یافته و سپس از RANSAC برای یافتن بردارهای پایه v_1 و v_2 از شبکه استفاده می‌کنیم. مختصات جایی که فاصله میان همه ی kNNها کوچک است در درون ناحیه در نظر می‌گیریم. نتایج تشخیص تقارن در شکل ۳-۷ نشان داده شده است.

۵.۷ تشخیص شی

روش‌های تشخیص شی شامل الگوهای بد شکل [54]، boosted cascades [114]، تطابق ویژگی‌های خلوت همچون SIFT [73] و غیره می‌شود. الگوریتم ارائه شده می‌تواند با ویژگی‌های

نمونه گیری متراکم، شامل patchهای نادرست، patchهای چرخش یافته یا تغییر مقیاس یافته، یا توصیف گرهایی مانند SIFT تطابق یابد. این تطابقها سراسری هستند پس این تناظرها می توانند حتی در زمانی که تغییر مقیاس زیادی می یابد پیدا شوند [4].



شکل ۴.۷ - تشخیص اشیا. الگوهای چپ، با تصویر، راست، تطابق دارند. patchهای مربعی، جستجو در تمام چرخشها و مقیاسها همانطور که در بخش ۳.۵ توصیف شده تطابق یافته اند. یک انتقال مشابه با تناظرهای حاصل با RANSAC تطابق یافته است.

در شکل ۴.۷، مثالی از تشخیص شی نشان داده شده است. الگو را به patchهایی که اشتراک دارند، شکسته ایم. این patchها را در مقابل تصویر هدف، با جستجو در چرخشها و محدوده مقیاسها مانند بخش ۳.۵ جستجو کرده ایم. یک تبدیل مشابه از الگو در هدف با استفاده از RANSAC یافت شده است و فاصله تکه را با استفاده از L^2 ، پس از تصحیح رو شنایی، همانطور که در تشخیص تقارن نیز انجام دادیم محاسبه کرده ایم. نتیجه این است که اشیا تحت انسداد جزئی را در مقیاسها و چرخشهای مختلف می توانیم بیابیم.

برای ثبات بیشتر در تغییرات ظاهر و رو شنایی، یک مدل محلی پیشرفته مورد نیاز است. برای مثال، فرض کنید تصاویری از دو شی مشابه با ظاهری مختلف داریم.

ما ممکن است در انتشار برچسبها از یک تصویر به دیگری برای همه اشیا مشابه و پس زمینه تلاش کنیم. پژوهش SIFT [71] نشان می دهد که این می تواند با کمک تناظر ویژگی های SIFT در یک شبکه متراکم با یک ردیابی جریان حرکتی ترکیب شود. حوزه حاصل با کمک یک رویکرد سخت به نرم و

بهینه سازی سراسری یافت می شود. مانند اغلب روش های ردیابی جریان حرکتی، جریان SIFT، محلیت و ملایمت جریان را در نظر می گیرد و سپس در همترازی تحت جابجایی های بزرگ شکست، ممکن است شکست بخورد. همانطور که در شکل ۵.۷ نشان داده شد، می توانیم به درستی برچسب ها را هنگام حرکت اشیا به میزان زیادی تبدیل کنیم. این کار را با نمونه گیری متراکم توصیف گرهای SIFT و سپس تطابق این ها همانطور که در بخش ۶.۳ نشان داده شد، انجام داده ایم.



شکل ۵.۷ - تغییر برچسب با (الف) توصیف گرهای SIFT (الف) ماشین اول؛ (ب) ماشین دوم، و (ج) هر دو ماشین یکسان برچسب زده شده اند؛ (د) برای تطابق با ماشین دیگری با استفاده از SIFT و نیز ماسک برچسب (ه). (و) با روش ارائه شده و برچسب جابجا شده در (ز). جریان در کل ملایم تر است اما می تواند حرکات بزرگ دلخواه را نیز بگرداند.

فصل هشتم

جمع بندی

این پایان نامه، در مورد پیشرفت‌هایی که در تطابق تصویر و ویدئو و کاربردهای مرتبط داشتیم بحث کرد. موارد زیر بررسی شدند:

الگوریتم‌های تطابق الهام گرفته از تصاویر طبیعی: یک آرگومان آماری ساختیم که ابتکاراتی که الگوریتم تطابق از آنها استفاده می‌کند را تقویت می‌کند. یک الگوریتم تطابق، PatchMatch، و کلی سازی‌های آن را معرفی کردیم که از طریق انتقالات دلخواه، چرخش‌ها، توصیف گر‌ها و یافتن نزدیک ترین k همسایه کار می‌کند. بسته به اینکه کدام نوع از الگوریتم آزمون شده است، بالای یک یا دو مزیت نسبت به تکنیک‌های قبلی وجود دارد. همچنین انواع موازی و یک توسعه، PatchWeb، برای تطابق در مجموعه‌های تصویر بزرگ معرفی کردیم.

ویرایش تصویر: ما نشان دادیم که الگوریتم تطابق سریع می‌تواند کاربردهای تعاملی دیگر در تکمیل تصویر، بازسازی، و بُرزدن داشته باشد. همچنین محدودیت‌های جدیدی برای کمک به هدایت کاربر در فرایند ترکیب معرفی کردیم.

پرده‌های فیلم: یک روش جدید از خلاصه سازی ویدئو معرفی کردیم. این پرده‌ها هم قابلیت مکانی، بدوم حاشیه مشخصی میان فریم‌ها، و هم زمانی، که در آن حرکت بزرگنمایی ملایم برای سطوح جزئیات دقیق فیلم را ممکن می‌سازد، ایجاد می‌کنند. بهینه سازی‌های انجام گرفته برای ایجاد پرده‌ها از الگوریتم تطابق سریع، از تفسیر بلادرنگ پرده‌ها استفاده می‌کند.

کاربردهای بینایی: با استفاده از الگوریتم تطابق کلی، تعدادی از کاربردهای بینایی را بررسی کردیم که شامل حذف نویز تصویر، یافتن جعل در تصاویر، تشخیص متقارن، SIFT و تشخیص شی می‌شود. حوزه‌های متعددی برای پژوهش آینده وجود دارند. در فصل ۲، ذکر کردیم که آرگومان آماری می‌تواند برای ایجاد الگوریتم‌های تطابق کارآمد در آینده استفاده شود به خصوص برای حوزه‌های جدیدی مانند ویدئو که در آن الگوهای جستجوی بهینه را تغییر دهیم یا در شرایط متغیر، الگوهای جستجوی متفاوتی فراهم کنیم. در بخش ۴.۲.۱، پیشنهاد کردیم که enrichment می‌تواند در مواردی

که یک تصویر با خودش تطابق ندارد استفاده شود. در بخش ۵. ۴، پیشنهاد کردیم که معیارهای همگرایی یا پارامترهای مختلف می‌توانند، به خصوص با الگوریتم‌های GPU بهتر، برای ایجاد برنامه‌هایی در بینایی بلادرنگ یا پردازش ویدئو استفاده شوند. نهایتاً، در بخش ۶. ۷، برای کاربرد پرده‌های ویدئو، پیشنهاد کردیم که موارد شکست می‌توانند بهبود یابند یا پرده‌ها می‌توانند متحرک باشند.

اکنون توسعه‌های ممکن سطح بالاتری برای پژوهش آینده پیشنهاد می‌کنیم.

ابتدا، الگوریتم خودش می‌تواند گسترش یابد، این کار می‌تواند به طور جزئی، با به کارگیری الگوریتم برای سیگنال‌های صوتی، رشته‌های ژن، یا تطابق مرزی در تصاویر یا سیگنال‌های سه بعدی مانند داده‌های حجیم با نمایش‌های سطحی توری شکل انجام شود. هرچند، نمایش اینکه در حوزه یک مسئله خاص، الگوریتم باید با استفاده از تکنیک‌های جستجوی مبتنی بر اولویت برای آن حوزه تناسب یابد. همچنین، چون توصیف گرهای بینایی کامپیوتری متعددی براساس نقاط خلوت دلخواه نمونه‌گیری شدند، می‌توان نوع دیگری از الگوریتم ایجاد کرد که به جای توصیف گرهای مترکم روی حالت خلوت کار کند. یا حتی به طور کلی‌تر، ممکن است ایجاد یک الگوریتم، که هیچ تعبیه مکانی خاصی را در نظر نمی‌گیرد با استفاده از ایده‌های **enrichment** و **binning** بیان شده در بخش ۴. ۲ امکان پذیر باشد.

به عنوان توسعه دوم، برای پژوهش آینده، الگوریتم تطابق می‌تواند بیشتر بهینه شود. در یک سطح بالاتر، ذکر کردیم که حداقل چهار اپراتور تطابق ممکن وجود دارند: انتشار، جستجوی تصادفی، **enrichment** و **binning**. شاید سایر اپراتورها نیز بتوانند توسعه یابند. به علاوه، تطابق می‌تواند در تفکیک پذیری‌های متعدد تطابق یابد: ناحیه‌هایی که همگرا شدند می‌توانند شناسایی شوند و دیگر تکرار روی آنها انجام نشود. تعیین اینکه کدام ترکیب از این تکنیک‌ها و تحت تنظیم کدام پارامترها خیلی موثر تر است جالب خواهد بود. این تفاوت‌ها به برنامه کاربردی و حتی ورودی خاص استفاده شده بستگی دارند. به علاوه، ترکیب این تکنیک‌ها می‌تواند به صورتی خلاقانه و با پیش محاسبات مختلفی انجام شوند.

نهایتاً، ما تعدادی از کاربردهای آینده ممکن را پیشنهاد می‌کنیم که به صورت بالقوه از تکنیک‌های مبتنی بر **patch** استفاده می‌کنند: اختلاط تصویر، ترکیب هندسه سه بعدی، پر کردن حفره ویدئو، ترکیب الگوری ویدئو، طبقه بندی تصویر و ویدئو، ردیابی بلادرنگ، فرا تفکیک پذیری، نقاشی با اعداد، تحلیل تصویر، و فشرده سازی عکس و ویدئو. ما همچنین می‌توانیم برنامه‌های کاربردی موجود خود را بهبود دهیم. اغلب الگوریتم‌های ما - مانند برزدن - خروجی‌های هم خوب و هم بد بسته به محدودیت‌های

کاربر تولید می‌کند. یک ایده کلی پس از آن، تولید تصاویر خروجی متعدد و انتخاب خودکار بهترین تصویر از این مجموعه است. متناوبا، چنین محدودیت‌هایی ممکن است حداقل در گام‌های اولیه به صورت الگوریتمی ارائه شوند.

بخاطر تنوع گسترده‌ای از توسعه‌ها و کاربردهای الگوریتم ارائه شده، باور داریم الگوریتم ارائه شده می‌تواند کلی سازی شود و برای حوزه‌های مختلف گسترش یابد.

مراجع

- [1] Connelly Barnes, Eli Shechtman, Adam Finkelstein, Dan B Goldman. PatchMatch: A randomized correspondence algorithm for structural image editing. In *ACM Transactions on Graphics.*, 2009, pages 24:1-24:11.
- [2] Connelly Barnes, Dan B Goldman, Eli Shechtman, Adam Finkelstein. Video tapestries with continuous temporal zoom. *ACM Transactions on Graphics*, 29(4):89, 2010.
- [3] Michael Ashikhmin. Synthesizing natural textures. In *I3D Proceedings*, pages 217-226. ACM, 2001.
- [4] Connelly Barnes, Eli Shechtman, Dan B Goldman, Adam Finkelstein. The generalized patchmatch correspondence algorithm. In *European Conference on Computer Vision*, pages 29-43, 2010.
- [5] Shai Avidan and Ariel Shamir. Seam carving for content-aware image resizing. *ACM Transactions on Graphics (Proc. SIGGRAPH)*, 26(3):10, 2007.
- [6] S. Bagon, O. Boiman, and M. Irani. What is a good image segment? A unified approach to segment extraction. In *Proc. ECCV*, page IV: 44. Springer, 2008.
- [7] S. Baker, D. Scharstein, JP Lewis, S. Roth, M.J. Black, and R. Szeliski. A database and evaluation methodology for optical flow. In *Proc. ICCV*, volume 5, 2007.
- [8] C. Barnes, E. Shechtman, A. Finkelstein, and D.B. Goldman. PatchMatch: a randomized correspondence algorithm for structural image editing. *ACM Transactions on Graphics (Proc. SIGGRAPH)*, 28(3):24, 2009.
- [9] Connelly Barnes, Dan B Goldman, Eli Shechtman, and Adam Finkelstein. Video tapestries with continuous temporal zoom. *ACM Transactions on Graphics (Proc. SIGGRAPH)*, 29(3), August 2010.
- [10] Connelly Barnes, Eli Shechtman, Dan B Goldman, and Adam Finkelstein. The generalized patchmatch correspondence algorithm. In *European Conference on Computer Vision (ECCV)*, September 2010.
- [11] S. Bayram, H.T. Sencar, and N. Memon. A Survey of Copy-Move Forgery Detection Techniques. *IEEE Western New York Image Processing Workshop*, 2008.
- [12] P. Berkhin. *Grouping Multidimensional Data: A survey of clustering data mining techniques*. Springer, 2002.
- [13] Steven Bernstein. *Film Production, Second Edition*. Focal Press, 1994.
- [14] O. Boiman, E. Shechtman, and M. Irani. In defense of nearest-neighbor based image classification. In *Proc. IEEE Conf. on Computer Vision and Pattern Recognition*, volume 2, page 6, 2008.
- [15] Oren Boiman and Michal Irani. Detecting irregularities in images and in video. In *IEEE International Conference on Computer Vision (ICCV)*, volume 1, pages 462-469, 2005.
- [16] S. Boltz and F. Nielsen. Randomized motion estimation. In *Image Processing (ICIP)*, 2010 17th IEEE International Conference on, pages 781-784. IEEE.

- [17] J. Boreczky, A. Girgensohn, G. Golovchinsky, and S. Uchihashi. An interactive comic book presentation for exploring video. In *Proceedings of SIGCHI*, pages 185-192. ACM, 2000.
- [18] L. Bourdev and J. Brandt. Robust object detection via soft cascade. In *IEEE CVPR 2005*, volume 2, 2005.
- [19] T. Brox, O. Kleinschmidt, and D. Cremers. Efficient nonlocal means for denoising of textural patterns. *IEEE Transactions on Image Processing*, 17(7):1083-1092, 2008.
- [20] T. Brox and J. Malik. Large displacement optical flow. *CVPR*, 2009.
- [21] A. Buades, B. Coll, and J. Morel. A non-local algorithm for image denoising. In *Proc. CVPR*, page II: 60, 2005.
- [22] T. Chen, M.M. Cheng, P. Tan, A. Shamir, and S.M. Hu. Sketch2Photo: internet image montage. *ACM Transactions on Graphics (TOG)*, 28(5):1-10, 2009.
- [23] M.M. Cheng, F.L. Zhang, N.J. Mitra, X. Huang, and S.M. Hu. RepFinder: finding approximately repeated scene elements for image editing. *ACM Transactions on Graphics (TOG)*, 29(4):1-8, 2010.
- [24] P. Chiu, A. Girgensohn, and Q. Liu. Stained-glass visualization for highly condensed video summaries. In *IEEE ICME 2004*, 2004.
- [25] Taeg Sang Cho, Moshe Butman, Shai Avidan, and William Freeman. The patch transform and its applications to image editing. *IEEE Conference on Computer Vision and Pattern Recognition (CVPR)*, 2008.
- [26] M.G. Christel, A.G. Hauptmann, H.D. Wactlar, and T.D. Ng. Collages as dynamic summaries for news video. In *ACM Multimedia*, pages 561-569, 2002.
- [27] Andy Cockburn, Amy Karlson, and Benjamin B. Bederson. A review of overview+detail, zooming, and focus+context interfaces. *ACM Comput. Surv.*, 41(1):1-31, 2008.
- [28] Carlos D. Correa and Kwan-Liu Ma. Dynamic video narratives. *ACM Transactions on Graphics (Proc. SIGGRAPH)*, 29(3), 2010.
- [29] A. Criminisi, P. Perez, and K. Toyama. Object removal by exemplar-based inpainting. *IEEE Conference on Computer Vision and Pattern Recognition (CVPR)*, 2:721, 2003.
- [30] K. Dabov, A. Foi, V. Katkovnik, and K. Egiazarian. Image denoising by sparse 3-D transformdomain collaborative filtering. *IEEE Trans. Image Processing*, 16(8), 2007.
- [31] Kevin Dale, Micah K. Johnson, Kalyan Sunkavalli, Wojciech Matusik, and Hanspeter Pfister. Image restoration using online photo collections. In *Proc. IEEE International Conference on Computer Vision (ICCV)*, 2009.
- [32] Datar, Immorlica, Indyk, and Mirrokni. Locality-sensitive hashing scheme based on p-stable distributions. In *COMPGEOM: Annual ACM Symposium on Computational Geometry*, 2004.
- [33] M.E. Davis. Media streams: representing video for retrieval and repurposing. PhD thesis, Wesleyan University, 1995.
- [34] Daniel Dementhon, Vikrant Kobra, and David Doermann. Video summarization by curve simplification. In *ACM Multimedia*, pages 211-218, 1998.

- [35] Iddo Drori, Daniel Cohen-or, and Hezy Yeshurun. Fragment-based image completion. *ACM Transactions on Graphics (Proc. SIGGRAPH)*, 22:303-312, 2003.
- [36] Alexei A. Efros and William T. Freeman. Image quilting for texture synthesis and transfer. In *ACM Transactions on Graphics (Proc. SIGGRAPH)*, pages 341-346. ACM, 2001.
- [37] Alexei A. Efros and Thomas K. Leung. Texture synthesis by non-parametric sampling. *IEEE International Conference on Computer Vision (ICCV)*, 2:1033, 1999.
- [38] M. Eisemann, E. Eisemann, H.P. Seidel, and M. Magnor. Photo zoom: high resolution from unordered image collections. In *Proceedings of Graphics Interface 2010 on Proceedings of Graphics Interface 2010*, pages 71-78. Canadian Information Processing Society, 2010.
- [39] Hui Fang and John C. Hart. Detail preserving shape deformation in image editing. *ACM Transactions on Graphics*, 26(3):12, 2007.
- [40] L. Fei-Fei and P. Perona. A bayesian hierarchical model for learning natural scene categories. In *Computer Vision and Pattern Recognition, 2005. CVPR 2005. IEEE Computer Society Conference on*, volume 2, pages 524-531. Ieee, 2005.
- [41] Martin A. Fischler and Robert C. Bolles. Random sample consensus: a paradigm for model fitting with applications to image analysis and automated cartography. *Commun. ACM*, 24(6):381-395, 1981.
- [42] Andrew Fitzgibbon, Yonatan Wexler, and Andrew Zisserman. Image-based rendering using image-based priors. In *IEEE International Conference on Computer Vision (ICCV)*, page 1176, 2003.
- [43] W.T. Freeman, T.R. Jones, and E.C. Pasztor. Example-based super-resolution. *Computer Graphics and Applications, IEEE*, 22(2):56-65, 2002.
- [44] D. Glasner, S. Bagon, and M. Irani. Super-Resolution from a Single Image. In *Proc. of ICCV*, 2009.
- [45] G. Guo and C.R. Dyer. Patch-based image correlation with rapid filtering. In *The 2nd Beyond Patches Workshop*, in conj. with *IEEE CVPR'07*, 2007.
- [46] Y. HaCohen, R. Fattal, and D. Lischinski. Image upsampling via texture hallucination. In *Computational Photography (ICCP), 2010 IEEE International Conference on*, pages 1-8. IEEE, 2010.
- [47] Yoav HaCohen, Eli Shechtman, Dan B Goldman, and Dani Lischinski. Non Rigid Dense Correspondence with Applications for Image Enhancement. *ACM Transactions on Graphics (Proc. SIGGRAPH)*, 30(4), 2011.
- [48] P. Haghani, S. Michel, P. Cudre-Mauroux, and K. Aberer. LSH At Large-Distributed KNN Search in High Dimensions. In *International Workshop on Web and Databases (WebDB)*. Citeseer, 2008.
- [49] Tim Hauser. *The Art of Wall-E*. Chronicle Books LLC, 2008.
- [50] J. Hays and A.A. Efros. Scene completion using millions of photographs. *Communications of the ACM*, 51(10):87-94, 2008.
- [51] J. Hays, M. Leordeanu, A.A. Efros, and Y. Liu. Discovering texture regularity as a higher-order correspondence problem. *Lec. Notes in Comp. Sci.*, 3952:522, 2006.

- [52] Aaron Hertzmann, Charles E. Jacobs, Nuria Oliver, Brian Curless, and David Salesin. Image analogies. In *ACM Transactions on Graphics (Proc. SIGGRAPH)*, pages 327-340, 2001.
- [53] D.E. Jacobs, D.B. Goldman, and E. Shechtman. Cosaliency: where people look when comparing images. In *Proceedings of the 23rd annual ACM symposium on User interface software and technology*, pages 219-228. ACM, 2010.
- [54] A.K. Jain, Y. Zhong, and M.P. Dubuisson-Jolly. Deformable template models: A review. *Signal Processing*, 71(2):109-129, 1998.
- [55] Micah K. Johnson, Kevin Dale, Shai Avidan, Hanspeter Pfister, William T. Freeman, and Wojciech Matusik. CG2Real: Improving the realism of computer generated images using a large collection of photographs. *IEEE Transactions on Visualization and Computer Graphics*, 2010.
- [56] F. Jurie and B. Triggs. Creating efficient codebooks for visual recognition. *IEEE International Conference on Computer Vision (ICCV)*, 2005.
- [57] B. Kaneva, J. Sivic, A. Torralba, S. Avidan, and W.T. Freeman. Infinite Images: Creating and Exploring a Large Photorealistic Virtual Space. *Proceedings of the IEEE*, 98(8):1391-1407, 2010.
- [58] H.W. Kang, Y. Matsushita, X. Tang, X. Chen, PR Hefei, and PR Beijing. Space-time video montage. In *CVPR06*, pages 1331-1338, 2006.
- [59] Kihwan Kim, Irfan Essa, and Gregory D. Abowd. Interactive mosaic generation for video navigation. In *ACM Multimedia*, pages 655-658, 2006.
- [60] Nikos Komodakis and Georgios Tziritas. Image completion using efficient belief propagation via priority scheduling and dynamic pruning. *IEEE Transactions on Image Processing*, 16(11):2649-2661, 2007.
- [61] Johannes Kopf, Chi-Wing Fu, Daniel Cohen-Or, Oliver Deussen, Dani Lischinski, and TienTsin Wong. Solid texture synthesis from 2d exemplars. *ACM Transactions on Graphics (Proc. SIGGRAPH)*, 26(3):2:1-2:9, 2007.
- [62] W. Kraaij, A.F. Smeaton, P. Over, and J. Arlandis. Trecvid 2004-an overview. In *TRECVID video retrieval online proceedings*, 2004.
- [63] N. Kumar, L. Zhang, and S. K. Nayar. What is a good nearest neighbors algorithm for finding similar patches in images? In *European Conference on Computer Vision (ECCV)*, pages II: 364-378, 2008.
- [64] Vivek Kwatra, Irfan Essa, Aaron Bobick, and Nipun Kwatra. Texture optimization for example-based synthesis. *ACM Transactions on Graphics (Proc. SIGGRAPH)*, 24, 2005.
- [65] Vivek Kwatra, Arno Schodl, Irfan Essa, Greg Turk, and Aaron Bobick. Graphcut textures: Image and video synthesis using graph cuts. *ACM Transactions on Graphics (Proc. SIGGRAPH)*, 22(3):277-286, July 2003.
- [66] S. Lazebnik, C. Schmid, and J. Ponce. Beyond bags of features: Spatial pyramid matching for recognizing natural scene categories. In *Computer Vision and Pattern Recognition, 2006 IEEE Computer Society Conference on*, volume 2, pages 2169-2178. IEEE, 2006.
- [67] Sylvain Lefebvre and Hugues Hoppe. Parallel controllable texture synthesis. *ACM Transactions on Graphics (Proc. SIGGRAPH)*, 24(3):777-786, 2005.

- [68] Anat Levin and Boaz Nadler. Natural Image Denoising: Optimality and Inherent Bounds. IEEE Conference on Computer Vision and Pattern Recognition (CVPR), 2011
- [69] Lin Liang, Ce Liu, Ying-Qing Xu, Baining Guo, and Heung-Yeung Shum. Real-time texture synthesis by patch-based sampling. ACM Transactions on Graphics, 20(3):127-150, 2001.
- [70] C. Liu and W. Freeman. A high-quality video denoising algorithm based on reliable motion estimation. European Conference on Computer Vision (ECCV), pages 706-719, 2010.
- [71] C. Liu, J. Yuen, A. Torralba, J. Sivic, and W.T.F. MIT. SIFT flow: dense correspondence across different scenes. In Proc. ECCV, page III: 28. Springer, 2008.
- [72] Feng Liu and Michael Gleicher. Automatic image retargeting with fisheye-view warping. In UIST, pages 153-162. ACM, 2005.
- [73] D.G. Lowe. Distinctive image features from scale-invariant keypoints. International journal of computer vision, 60(2):91-110, 2004.
- [74] Y.F. Ma and H.J. Zhang. A model of motion attention for video skimming. In Proc. Image Processing, Int'l Conf., volume 1, pages I-129-I-132, 2002.
- [75] J. Mairal, F. Bach, J. Ponce, G. Sapiro, and A. Zisserman. Non-local sparse models for image restoration. In Proc. of ICCV, 2009.
- [76] T. Mei, B. Yang, S.Q. Yang, and X.S. Hua. Video collage: presenting a video sequence using a single image. The Visual Computer, 25(1):39-51, 2009.
- [77] K. Mikolajczyk and C. Schmid. A performance evaluation of local descriptors. IEEE Transactions on Pattern Analysis and Machine Intelligence, pages 1615-1630, 2005.
- [78] David M. Mount and Sunil Arya. ANN: A library for approximate nearest neighbor searching, October 28 1997.
- [79] M. Muja and D.G. Lowe. Fast approximate nearest neighbors with automatic algorithm configuration. VISAPP, 2009.
- [80] Walter Murch. In the Blink of an Eye: A Perspective on Film Editing. Silman-James Press, Los Angeles, 1995.
- [81] E. Nardelli. Distributed k-d trees. In Proceedings 16th Conference of Chilean Computer Science Society (SCCC96), pages 142-154. Citeseer, 1996.
- [82] D. Nister and H. Stewenius. Scalable recognition with a vocabulary tree. In Proc. CVPR, volume 5, 2006.
- [83] S. Niyogi and W.T. Freeman. Example-based head tracking. In Proc. of Conf. on Automatic Face and Gesture Recognition (FG'96), page 374, 1996.
- [84] A. Oliva and A. Torralba. Modeling the shape of the scene: A holistic representation of the spatial envelope. International Journal of Computer Vision, 42(3):145-175, 2001.
- [85] Pau Panareda Busto, Christian Eisenacher, Sylvain Lefebvre, and Marc Stamminger. Instant Texture Synthesis by Numbers. Eurographics Workshop on Vision, Modeling & Visualization 2010, pages 81-85, 2010.
- [86] M. Park, S. Leey, P.C. Cheny, S. Kashyap, A.A. Butty, and Y. Liuy. Performance evaluation of state-of-the-art discrete symmetry detection. CVPR, 2008.

- [87] Darko Pavic, Volker Schonefeld, and Leif Kobbelt. Interactive image completion with perspective correction. *The Visual Computer*, 22:671-681(11), September 2006.
- [88] J. Philbin and A. Zisserman. Object mining using a matching graph on very large image collections. In *Computer Vision, Graphics & Image Processing, 2008. ICVGIP'08. Sixth Indian Conference on*, pages 738-745. IEEE, 2009.
- [89] A.C. Popescu and H. Farid. Exposing digital forgeries by detecting duplicated image regions. Department of Computer Science, Dartmouth College, 2004.
- [90] E. Risser, C. Han, R. Dahyot, and E. Grinspun. Synthesizing structured image hybrids. *ACM Transactions on Graphics (Proc. SIGGRAPH)*, 29(4):1-6, 2010.
- [91] Guodong Rong and Tiow-Seng Tan. Jump flooding in GPU with applications to Voronoi diagram and distance transform. In *I3D Proceedings*, pages 109-116, 2006.
- [92] C. Rother, S. Kumar, V. Kolmogorov, and A. Blake. Digital tapestry. In *IEEE CVPR*, pages I: 589-596, 2005.
- [93] Carsten Rother, Lucas Bordeaux, Youssef Hamadi, and Andrew Blake. Autocollage. *ACM Transactions on Graphics (Proc. SIGGRAPH)*, 25(3):847-852, 2006.
- [94] Michael Rubinstein, Ariel Shamir, and Shai Avidan. Improved seam carving for video retargeting. *ACM Transactions on Graphics (Proc. SIGGRAPH)*, 27(3), 2008.
- [95] Vidya Setlur, Saeko Takagi, Ramesh Raskar, Michael Gleicher, and Bruce Gooch. Automatic image retargeting. In Mark Billinghurst, editor, *MUM*, volume 154 of *ACM International Conference Proc. Series*, pages 59-68. ACM, 2005.
- [96] E. Shechtman, A. Rav-Acha, M. Irani, and S. Seitz. Regenerative morphing. *IEEE Conference on Computer Vision and Pattern Recognition (CVPR)*, 2010.
- [97] Frank Shipman, Andreas Girgensohn, and Lynn Wilcox. Generation of interactive multi-level video summaries. In *ACM Multimedia*, pages 392-401, 2003.
- [98] Denis Simakov, Yaron Caspi, Eli Shechtman, and Michal Irani. Summarizing visual data using bidirectional similarity. In *IEEE Conference on Computer Vision and Pattern Recognition (CVPR)*, Anchorage, AK, USA, 2008.
- [99] I. Simon and S.M. Seitz. A probabilistic model for object recognition, segmentation, and non-rigid correspondence. In *Proc. CVPR*, pages 1-7, 2007.
- [100] J. Sivic, B. Kaneva, A. Torralba, S. Avidan, and W.T. Freeman. Creating and exploring a large photorealistic virtual space. In *IEEE CVPR Workshops, 2008.*, pages 1-8, 2008.
- [101] J. Sivic, B.C. Russell, A.A. Efros, A. Zisserman, and W.T. Freeman. Discovering object categories in image collections. *MIT-CSAIL-TR-2005-012*, 2005.
- [102] J. Sivic and A. Zisserman. Video Google: A text retrieval approach to object matching in videos. 2003.
- [103] M.A. Smith and T. Kanade. Video skimming for quick browsing based on audio and image characterization. Technical Report *CMU-CS-95-186*, School of Computer Science, Carnegie Mellon University, 1995.
- [104] MA Smith and T. Kanade. Video skimming and characterization through the combination of image and language understanding techniques. In *1997 IEEE CVPR*, pages 775-781, 1997.

- [105] N. Snavely, S.M. Seitz, and R. Szeliski. Photo tourism: exploring photo collections in 3D. In ACM SIGGRAPH 2006 Papers, pages 835-846. ACM, 2006.
- [106] Jian Sun, Lu Yuan, Jiaya Jia, and Heung-Yeung Shum. Image completion with structure propagation. In ACM Transactions on Graphics (Proc. SIGGRAPH), pages 861-868, 2005.
- [107] Richard Szeliski, Ramin Zabih, Daniel Scharstein, Olga Veksler, Vladimir Kolmogorov, Aseem Agarwala, Marshall Tappen, and Carsten Rother. A comparative study of energy minimization methods for markov random fields with smoothness-based priors. IEEE PAMI, 30(6):1068-1080, 2008.
- [108] Y. Taniguchi, A. Akutsu, and Y. Tonomura. PanoramaExcerpts: Extracting and packing panoramas for video browsing. In ACM Multimedia, pages 427-436, November 1997.
- [109] Xin Tong, Jingdan Zhang, Ligang Liu, Xi Wang, Baining Guo, and Heung-Yeung Shum. Synthesis of bidirectional texture functions on arbitrary surfaces. ACM Transactions on Graphics (Proc. SIGGRAPH), 21(3):665-672, July 2002.
- [110] A. Torralba, R. Fergus, and W.T. Freeman. 80 million tiny images: A large data set for nonparametric object and scene recognition. IEEE Transactions on Pattern Analysis and Machine Intelligence, pages 1958-1970, 2008.
- [111] Ba Tu Truong and Svetha Venkatesh. Video abstraction: A systematic review and classification. ACM Trans. Multimedia Comput. Commun. Appl., 3(1):3, 2007.
- [112] T. Tuytelaars and C. Schmid. Vector quantizing feature space with a regular lattice. IEEE International Conference on Computer Vision (ICCV), 2007.
- [113] Shingo Uchihashi, Jonathan Foote, Andreas Girgensohn, and John Boreczky. Video manga: generating semantically meaningful video summaries. In ACM Multimedia, pages 383-392. ACM, 1999.
- [114] P. Viola and M. Jones. Rapid object detection using a boosted cascade of simple features. In Proc. CVPR, 2001.
- [115] Tang Wang, Tao Mei, Xian-Sheng Hua, Xueliang Liu, and He-Qin Zhou. Video collage: A novel presentation of video sequence. In ICME, pages 1479-1482. IEEE, 2007.
- [116] Yu-Shuen Wang, Chiew-Lan Tai, Olga Sorkine, and Tong-Yee Lee. Optimized scale-and-stretch for image resizing. In ACM SIGGRAPH Asia, pages 1-8, New York, NY, USA, 2008. ACM.
- [117] L. Y. Wei and M. Levoy. Fast texture synthesis using tree-structured vector quantization. In ACM Transactions on Graphics (Proc. SIGGRAPH), pages 479-488, 2000.
- [118] Li-Yi Wei, Jianwei Han, Kun Zhou, Hujun Bao, Baining Guo, and Heung-Yeung Shum. Inverse texture synthesis. ACM Transactions on Graphics (Proc. SIGGRAPH), 27(3), 2008.
- [119] Yonatan Wexler, Eli Shechtman, and Michal Irani. Space-time completion of video. IEEE Transactions on Pattern Analysis and Machine Intelligence (PAMI), 29(3):463-476, March 2007.
- [120] Lior Wolf, Moshe Guttman, and Daniel Cohen-Or. Non-homogeneous content-driven videoretargeting. In IEEE International Conference on Computer Vision (ICCV), 2007.
- [121] Bo Yang, Tao Mei, Li-Feng Sun, Shi-Qiang Yang, and Xian-Sheng Hua. Free-shaped video collage. Multi-Media Modeling (MMM), pages 175-185, 2008.

واژه نامه

Image	تصویر
Matching	تطابق
Randomized	تصادفی
Correspondence	تناظر
Region	ناحیه
Thechnique	شیوه
Nearest neighbors	نزدیکترین همسایه
Magnitude	اندازه
Approximate	تقریبی
Convergence	همگرایی
Translate	انتقال
Rotate	چرخاندن
Scale	مقیاس کردن
Computer graphics	گرافیک کامپیوتری
Computer vision	بینایی کامپیوتری
Application	برنامه/کاربرد
Denoising	حذف نویز
Forgery	تقلب
Overlapping	اشتراک
Textural patterns	الگوهای بافتی
Method	روش
Photograph	عکس
Feature	ویژگی

Resolution	وضوح/تفکیک پذیری
Patch-based	بر پایه تکه
Computational photography	عکاسی محاسباتی
Implementation	پیاده سازی
Generalized	کلی
Scalability	مقیاس پذیری
Tapestries	پرده‌های فیلم
Cluster architectures	معماری خوشه‌ای
Edit	ویرایش
Applications	برنامه‌های کاربردی / کاربردها
Stretching	کشش
Distortions	اعوجاج
Portion	بخش
Multiscale	چند مقیاسی
Spatial domain	بعد مکانی
Border	مرز
Means	متوسط
Non-local	غیر محلی
Difference	تفاضل
Constraint	ثابت
Coherence	وابستگی
Same	یکسان
Propagation	انتشار
Correlation	همبستگی

Ground truth	محل‌های واقعی
Coordinate	مختصات
Wide	عریض
Dataset	مجموعه داده
Similar	مشابه
Dissimilar	غیر مشابه
Baseline	پایه
Suboptimal	حد مطلوب
Peak	اوج
Descriptor	توصیف‌گر
Reasonable	معقول
Common	متداول
Nonparametric	غیر پارامتری
Nearest-neighbor field	نزدیکترین همسایه درست
Brute force	جامع (فراگیر)
Dimensionality reduction	کاهش ابعاد
Dimension	بعد
Space	فضا
Incremental	افزایشی
Offset	انحراف
Sparse	خلوت
Transformation	تبدیل
Invariant	نامتغیر
Interest points	نقاط مورد علاقه
Texture	بافت

Recomposition	باز ترکیب
Precomputation	پیش محاسبه
Enhancing images	افزایش تصاویر
Morphing	شکل گیری
Motion estimation	تخمین حرکت
Sequence	توالی
Map	نگاشت
Halting	توقف
Reconstruct	بازسازی
Heap	پشته
Candidate	داوطلب
Eigenvectors	بردارهای ویژه
Inference	استنتاجی
Tile	تکه
Visual words	کلمات بصری
Image reshuffling	بُرنزی تصویر
Image completion	تکمیل تصویر
Image retargeting	بازسازی تصویر
Global	سراسری
Hole	حفره
Project	افکندن
Swap	تعویض
Clone	نسخه برداری
Discrete	مجزا
Image segmentation	تقسیم بندی تصویر